



# Física más allá del Modelo Estándar

Clara Murgui (UAB/IFAE/CERN)

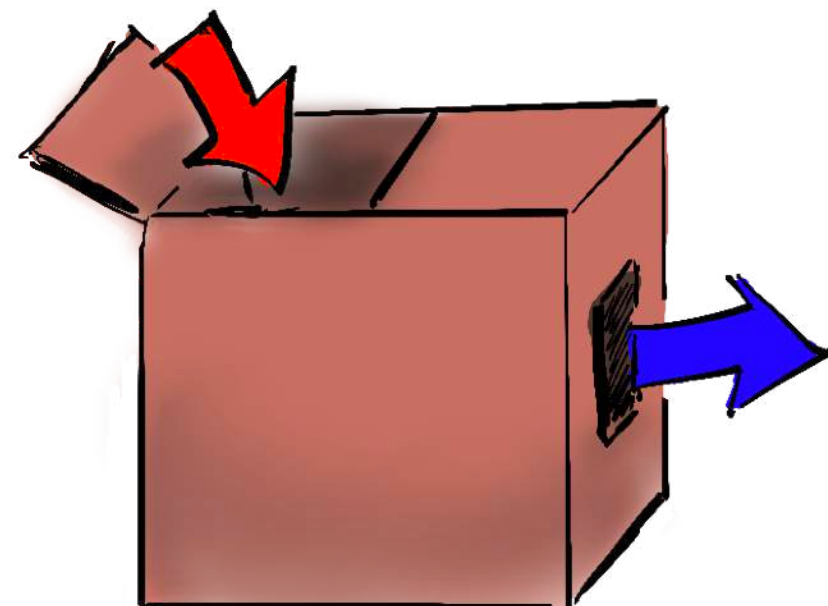
[cmurgui@ifae.es](mailto:cmurgui@ifae.es)

PROGRAMA ESPAÑOL PARA PROFESORES  
CERN  
24 Julio 2024



# El Modelo Estándar (recap)

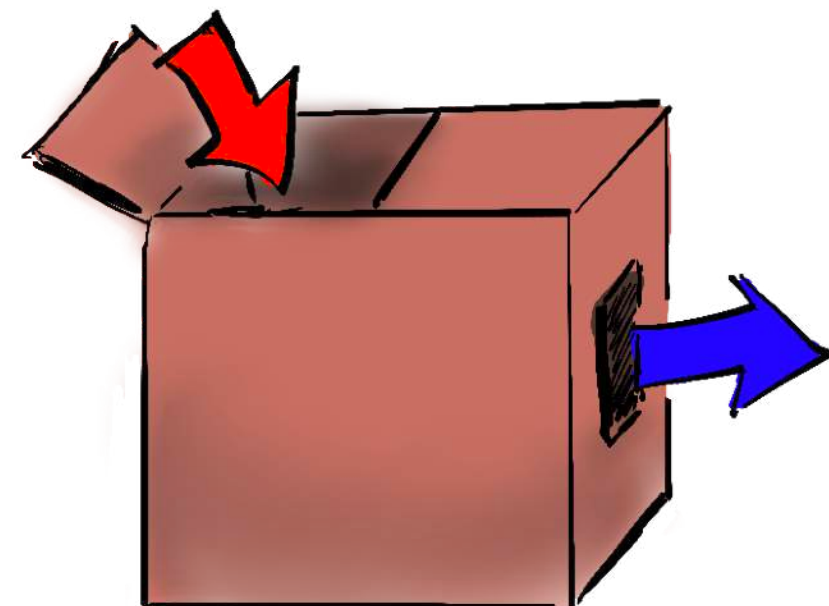
(experimento) INPUTS



OUTPUTS  
(también experimento)

# El Modelo Estándar (recap)

(experimento) INPUTS

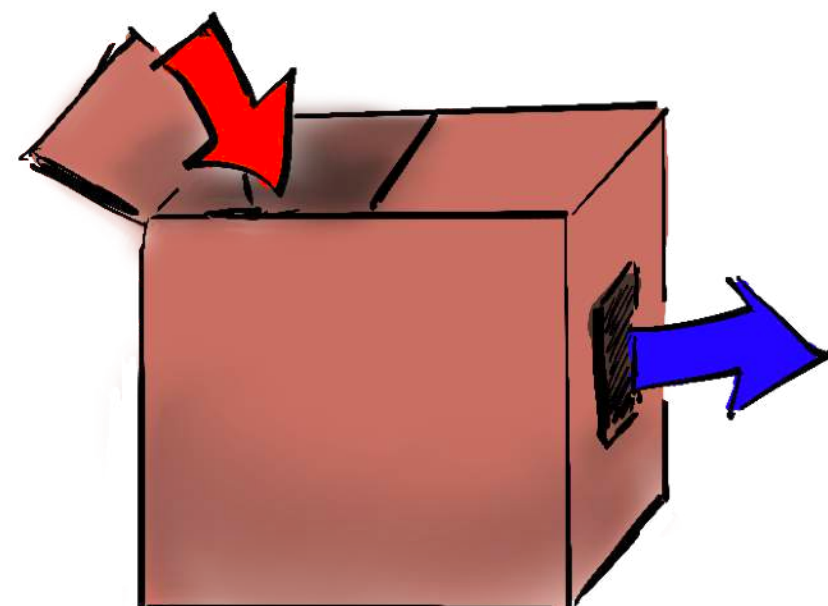


OUTPUTS  
(también experimento)

(teoricos) “BONITA” , “SIMPLE”...

# El Modelo Estándar (recap)

(experimento) INPUTS



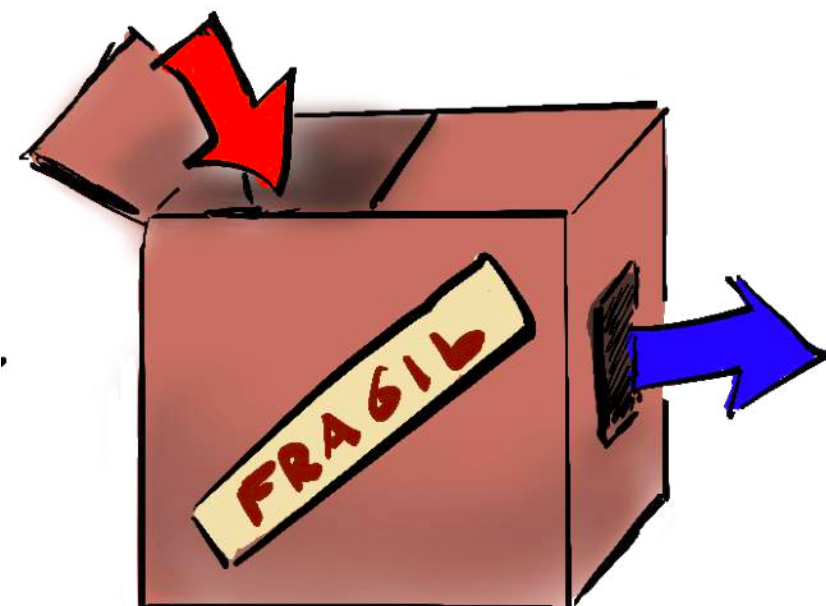
OUTPUTS  
(también experimento)

(teoricos) “BONITA” , “SIMPLE”... ≡ POTENTE

$$\frac{\text{INPUTS}}{\text{OUTPUTS}} \ll 1$$

# El Modelo Estándar (recap)

(experimento) INPUTS



OUTPUTS  
(también experimento)



(teoricos) “BONITA” , “SIMPLE”... ≡ POTENTE

$$\frac{\text{INPUTS}}{\text{OUTPUTS}} \ll 1$$

# El Modelo Estándar (recap)

09:30

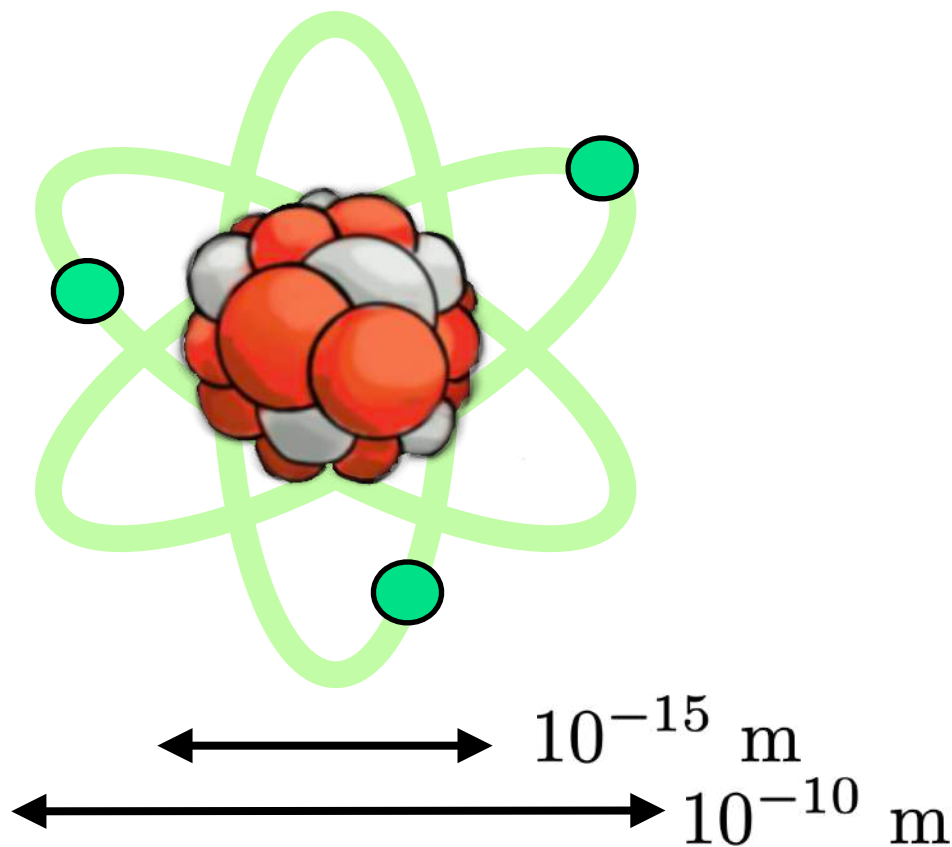
El Modelo estándar y la física fundamental (I)

Speaker: Miguel Escudero Abenza (CERN)

11:30

Física experimental de partículas

Speaker: Sergi Rodriguez (CERN)



protones

neutrones

electrones

# El Modelo Estándar (recap)

09:30

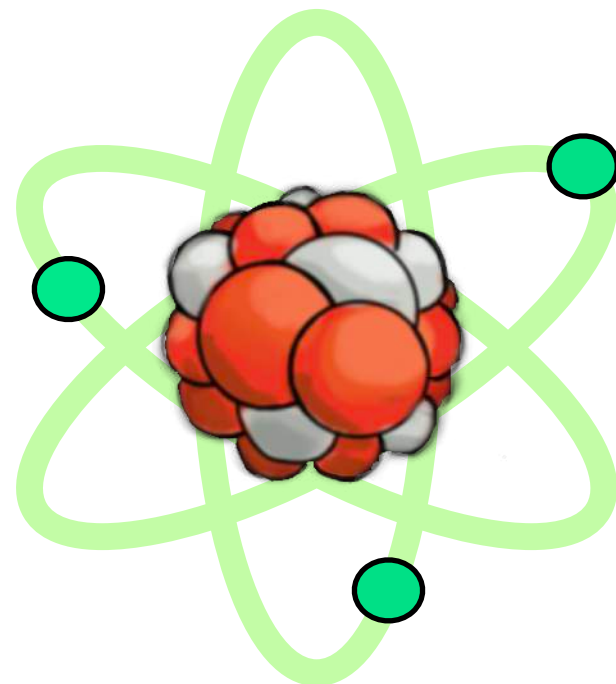
El Modelo estándar y la física fundamental (I)

Speaker: Miguel Escudero Abenza (CERN)

11:30

Física experimental de partículas

Speaker: Sergi Rodriguez (CERN)



Niels Bohr  
1913

↔  $10^{-15}$  m ↔  $10^{-10}$  m



● protones

○ neutrones

● electrones

# El Modelo Estándar (recap)

09:30

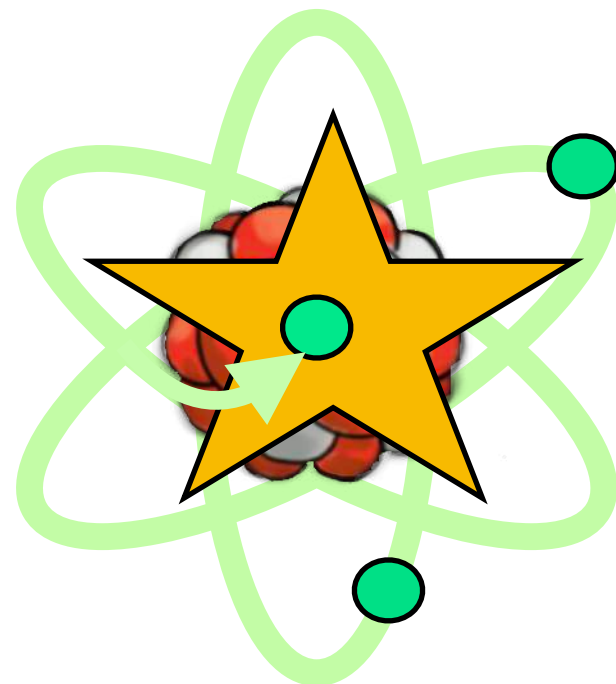
El Modelo estándar y la física fundamental (I)

Speaker: Miguel Escudero Abenza (CERN)

11:30

Física experimental de partículas

Speaker: Sergi Rodriguez (CERN)



Niels Bohr  
1913

↔  $10^{-15}$  m ↔  $10^{-10}$  m



● protones

○ neutrones

● electrones

# El Modelo Estándar (recap)

09:30

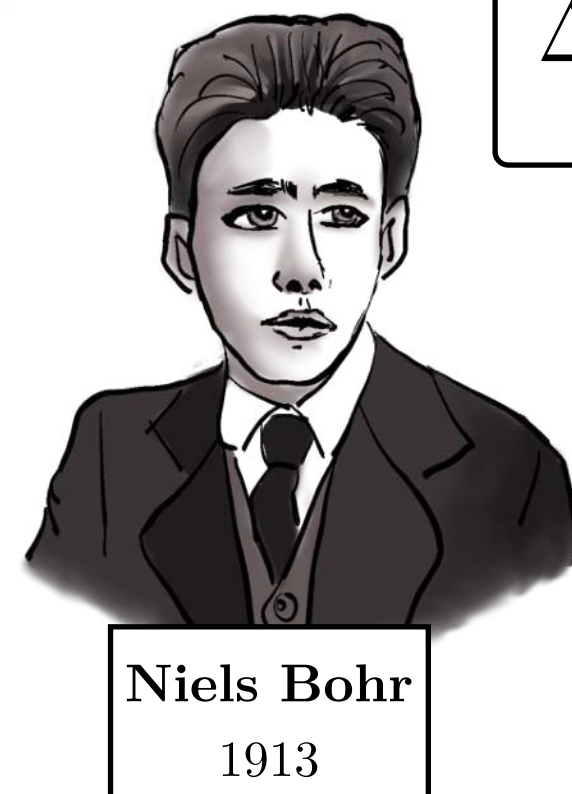
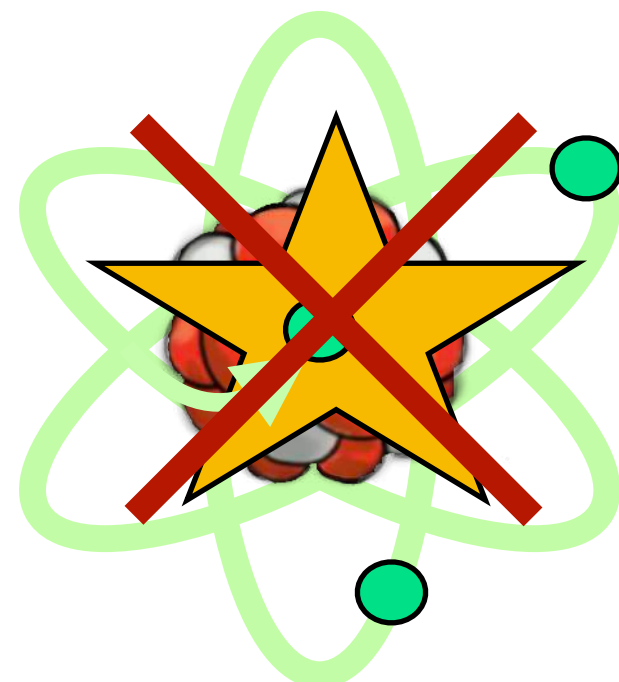
El Modelo estándar y la física fundamental (I)

Speaker: Miguel Escudero Abenza (CERN)

11:30

Física experimental de partículas

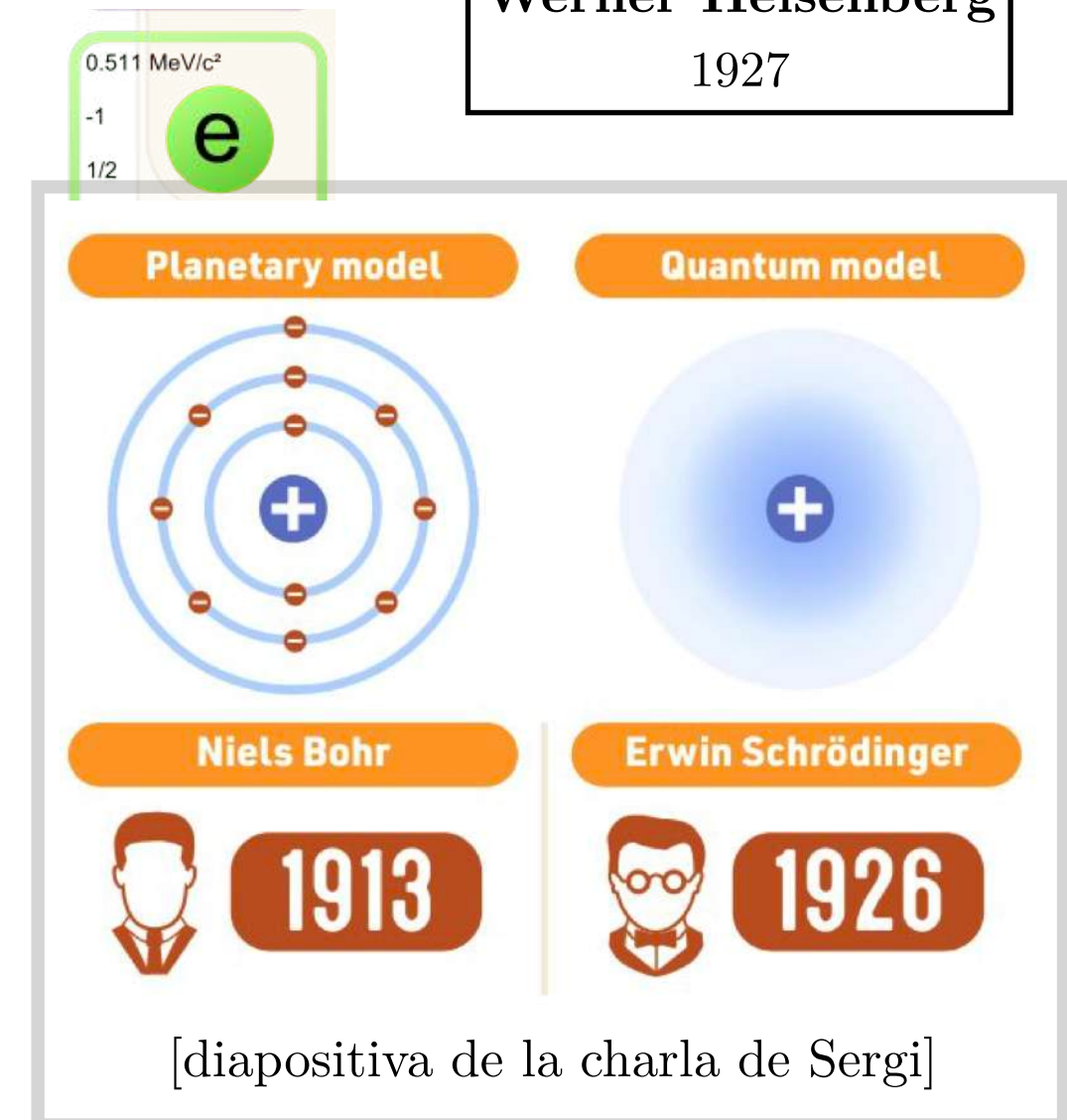
Speaker: Sergi Rodriguez (CERN)



↔  $10^{-15}$  m ↔  $10^{-10}$  m

- protones
- neutrones
- electrones

$$\Delta x \Delta v \geq \frac{\hbar}{2m}$$



# El Modelo Estándar (recap)

09:30

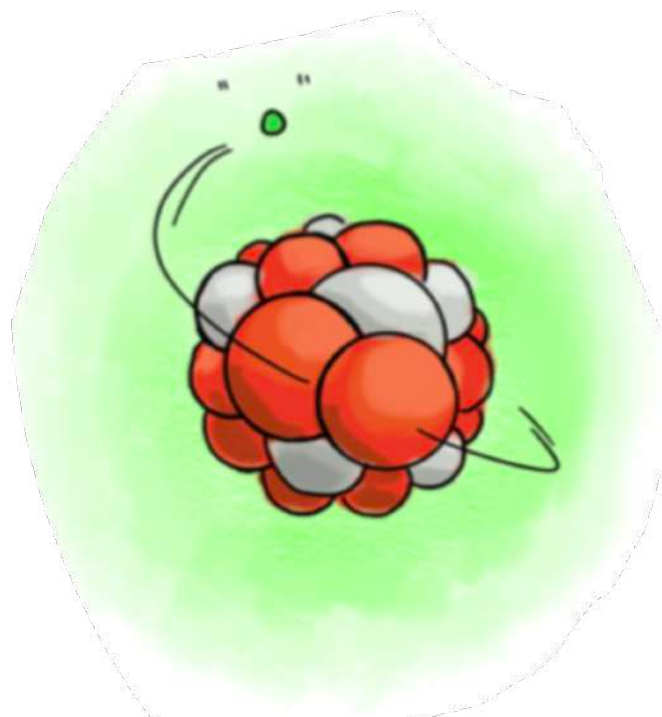
El Modelo estándar y la física fundamental (I)

Speaker: Miguel Escudero Abenza (CERN)

11:30

Física experimental de partículas

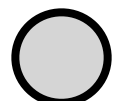
Speaker: Sergi Rodriguez (CERN)



↔  $10^{-15}$  m ↔  $10^{-10}$  m



protones



neutrones



electrones

# El Modelo Estándar (recap)

09:30

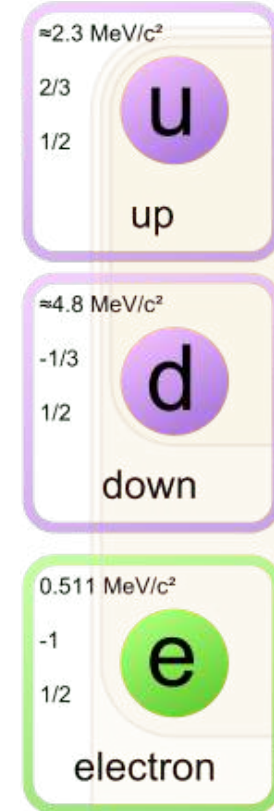
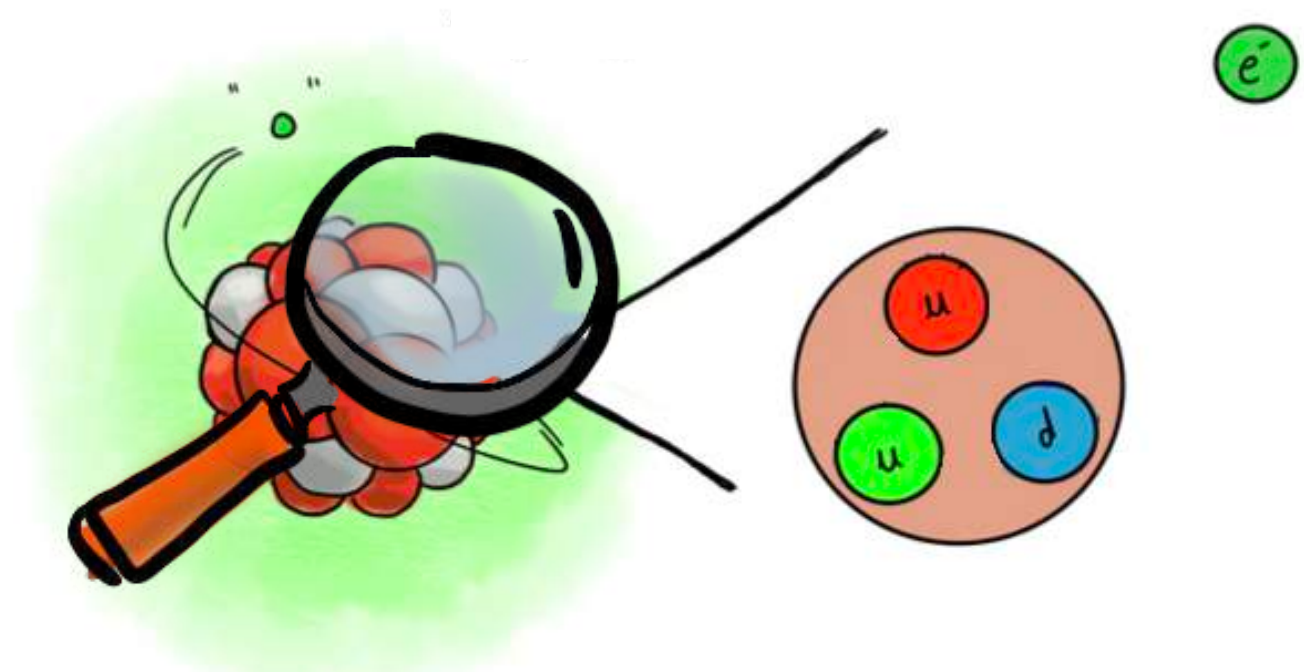
El Modelo estándar y la física fundamental (I)

Speaker: Miguel Escudero Abenza (CERN)

11:30

Física experimental de partículas

Speaker: Sergi Rodriguez (CERN)



$$\begin{array}{c} \longleftrightarrow 10^{-15} \text{ m} \\ \longleftrightarrow 10^{-10} \text{ m} \end{array}$$

protones

neutrones

electrones

# El Modelo Estándar (recap)

09:30

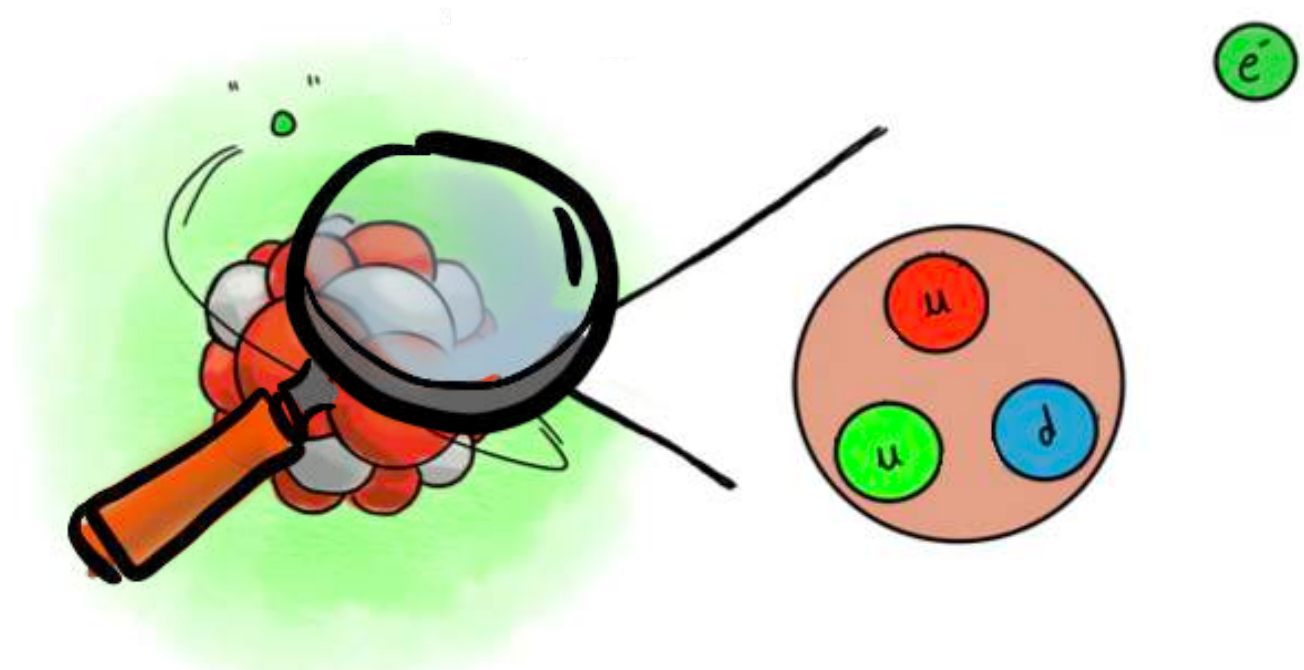
## El Modelo estándar y la física fundamental (I)

Speaker: Miguel Escudero Abenza (CERN)

11:30

## Física experimental de partículas

Speaker: Sergi Rodriguez (CERN)



$\approx 2.3 \text{ MeV}/c^2$
2/3
1/2
u
up

$\approx 4.8 \text{ MeV}/c^2$
-1/3
1/2
d
down

$0.511 \text{ MeV}/c^2$
-1
1/2
e
electron

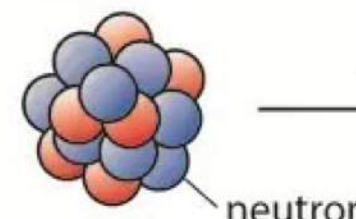
$10^{-15} \text{ m}$   
 $10^{-10} \text{ m}$

● protones

○ neutrones

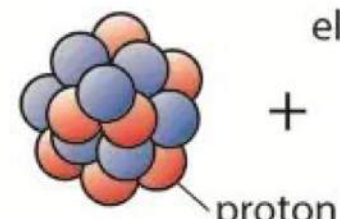
● electrones

carbon-14  
nucleus



$\beta$ -decay

nitrogen-14  
nucleus



electron  
+  
proton

# El Modelo Estándar (recap)

09:30

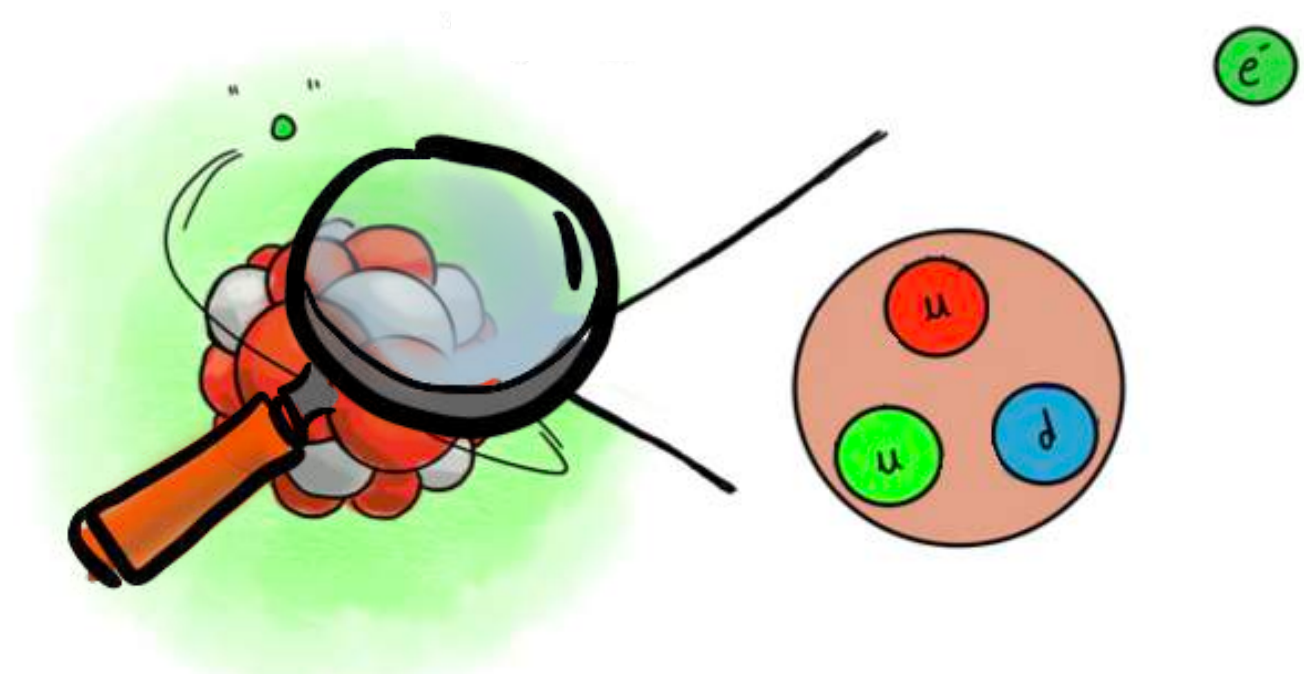
El Modelo estándar y la física fundamental (I)

Speaker: Miguel Escudero Abenza (CERN)

11:30

Física experimental de partículas

Speaker: Sergi Rodriguez (CERN)



$\approx 2.3 \text{ MeV}/c^2$
2/3
1/2
u
up
$\approx 4.8 \text{ MeV}/c^2$
-1/3
1/2
d
down
$0.511 \text{ MeV}/c^2$
-1
1/2
e
electron

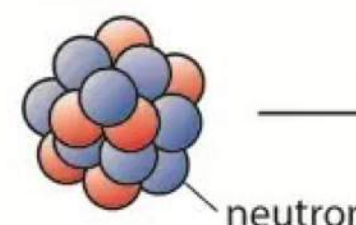
$$\begin{array}{c} \longleftrightarrow \\ \text{---} \end{array} 10^{-15} \text{ m} \quad \begin{array}{c} \text{---} \\ \longleftrightarrow \end{array} 10^{-10} \text{ m}$$

● protones

○ neutrones

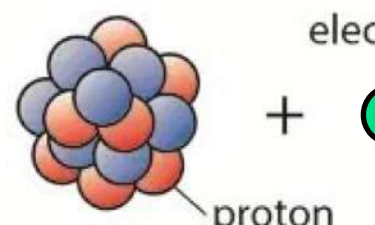
● electrones

carbon-14  
nucleus



$\beta$ -decay

nitrogen-14  
nucleus



Esperado

# El Modelo Estándar (recap)

09:30

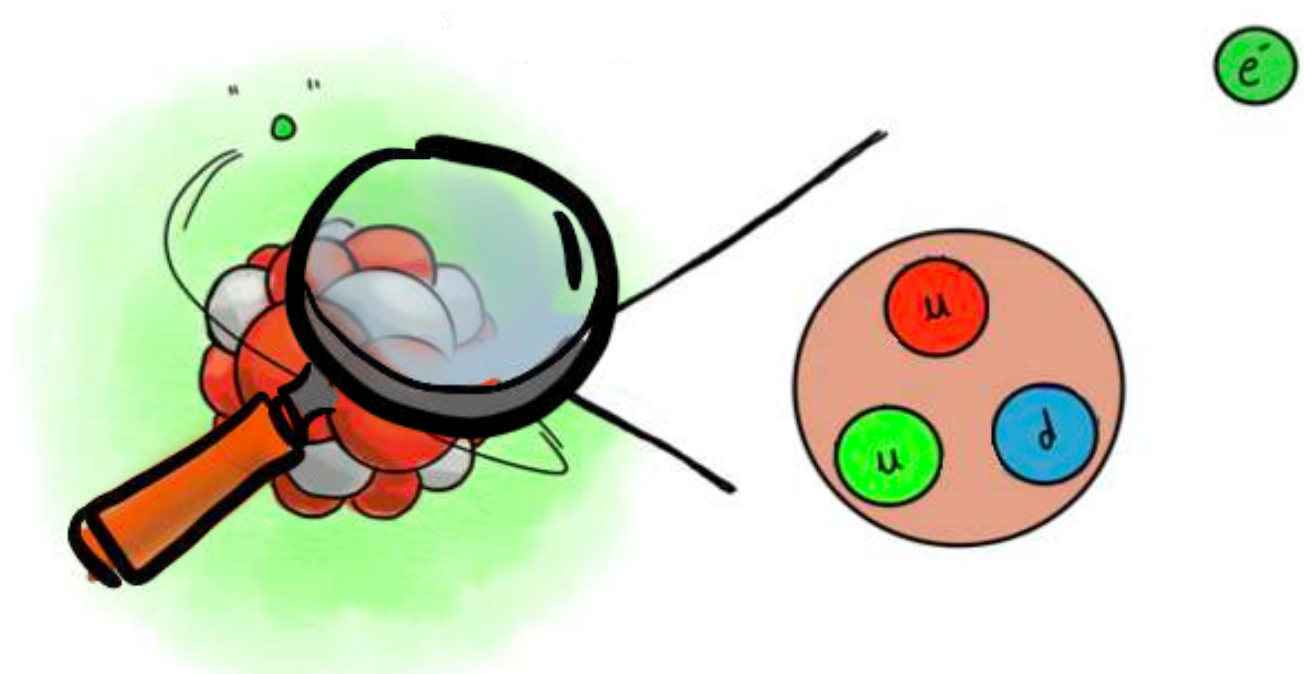
## El Modelo estándar y la física fundamental (I)

Speaker: Miguel Escudero Abenza (CERN)

11:30

## Física experimental de partículas

Speaker: Sergi Rodriguez (CERN)



$\approx 2.3 \text{ MeV}/c^2$
2/3
1/2
u
up

$\approx 4.8 \text{ MeV}/c^2$
-1/3
1/2
d
down

$0.511 \text{ MeV}/c^2$
-1
1/2
e
electron

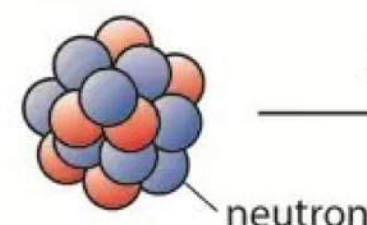
$10^{-15} \text{ m}$   
 $10^{-10} \text{ m}$

● protones

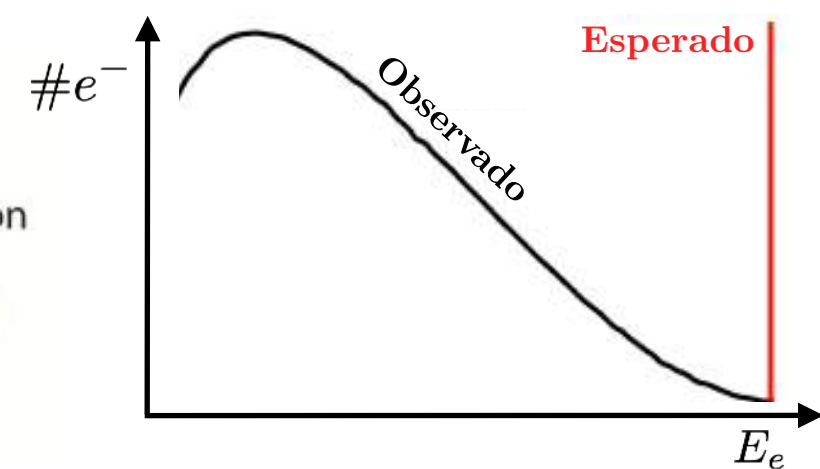
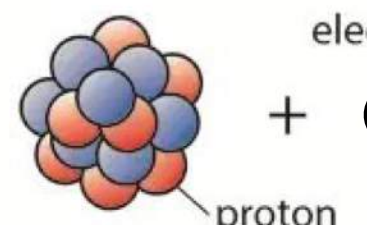
○ neutrones

● electrones

carbon-14  
nucleus



nitrogen-14  
nucleus



# El Modelo Estándar (recap)

09:30

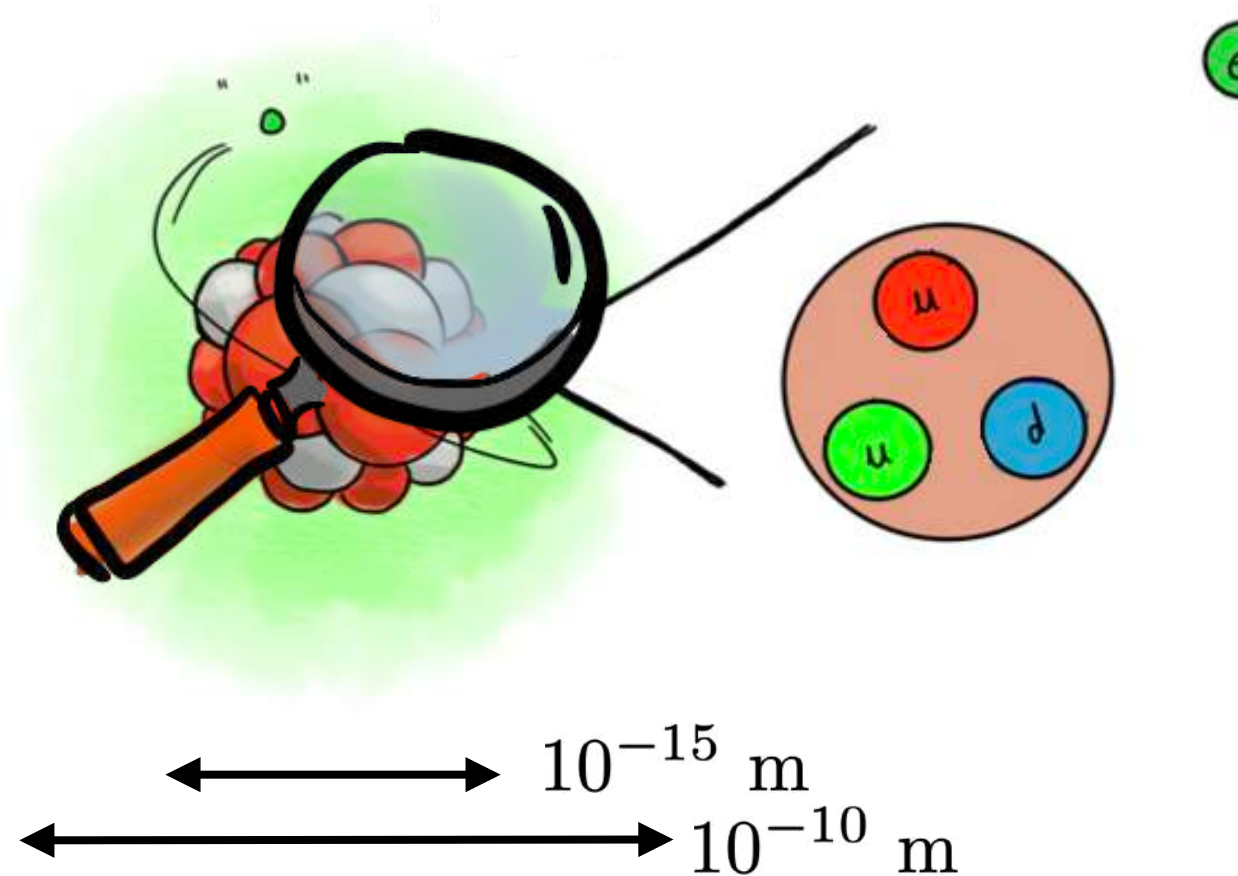
## El Modelo estándar y la física fundamental (I)

Speaker: Miguel Escudero Abenza (CERN)

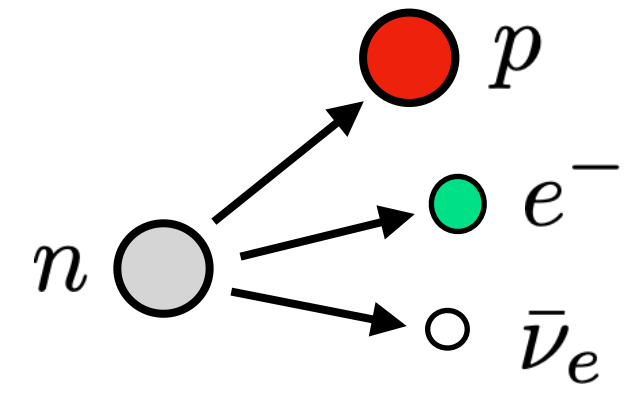
11:30

## Física experimental de partículas

Speaker: Sergi Rodriguez (CERN)



$\approx 2.3 \text{ MeV}/c^2$
2/3
1/2
u
up
$\approx 4.8 \text{ MeV}/c^2$
-1/3
1/2
d
down
$0.511 \text{ MeV}/c^2$
-1
1/2
e
electron
$<2.2 \text{ eV}/c^2$
0
1/2
$\nu_e$
electron neutrino

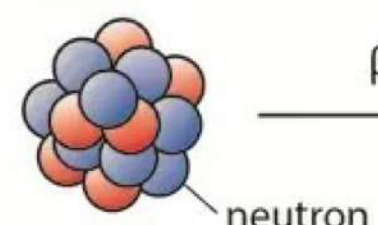


● protones

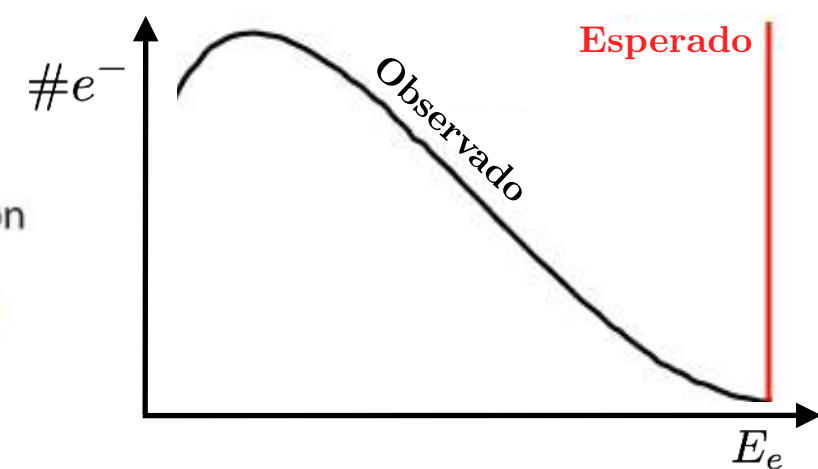
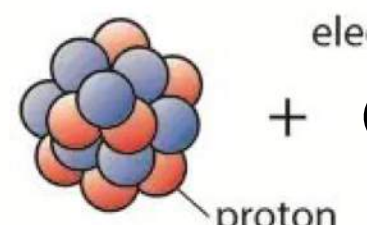
○ neutrones

● electrones

carbon-14  
nucleus



nitrogen-14  
nucleus



# El Modelo Estándar (recap)

09:30

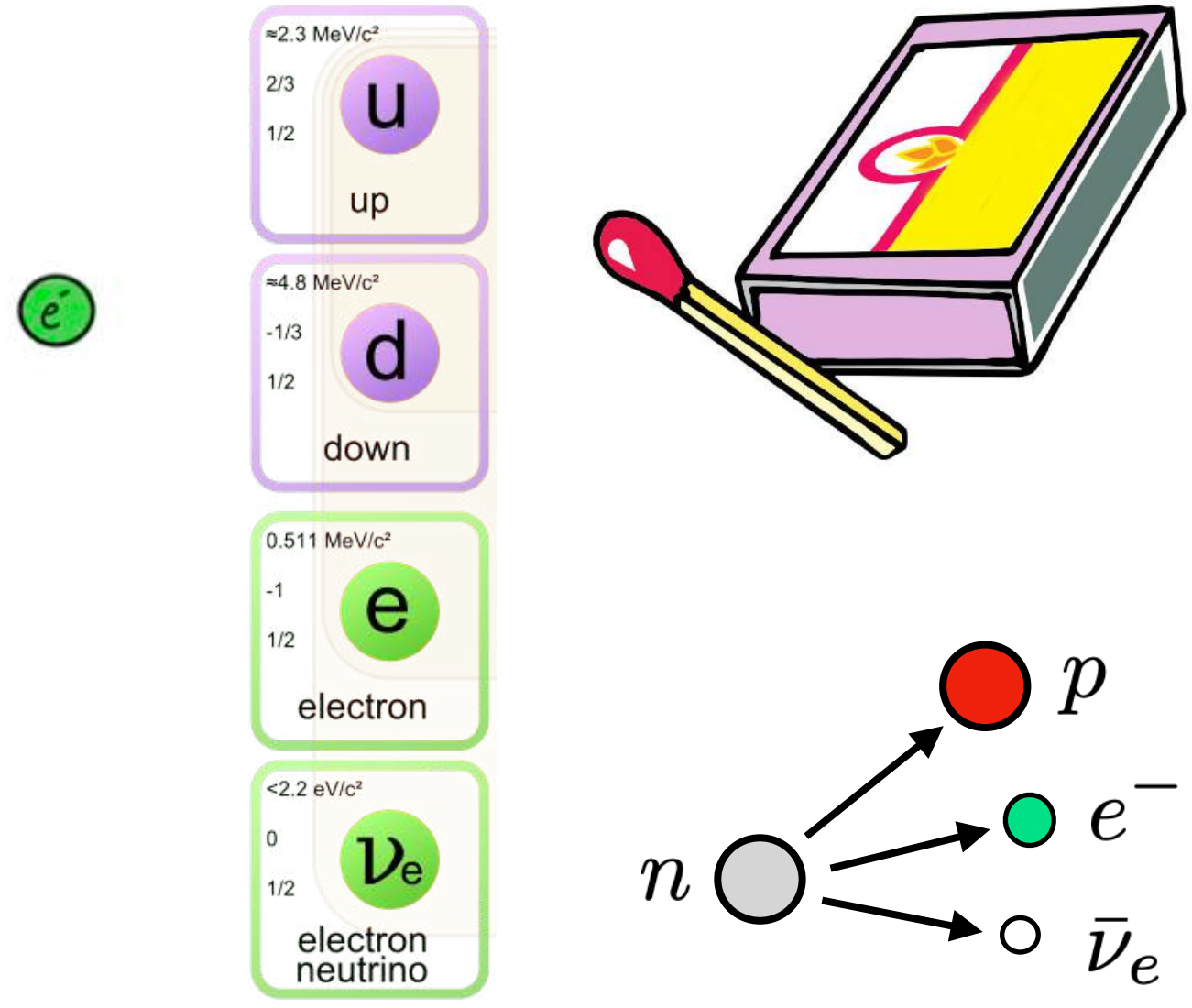
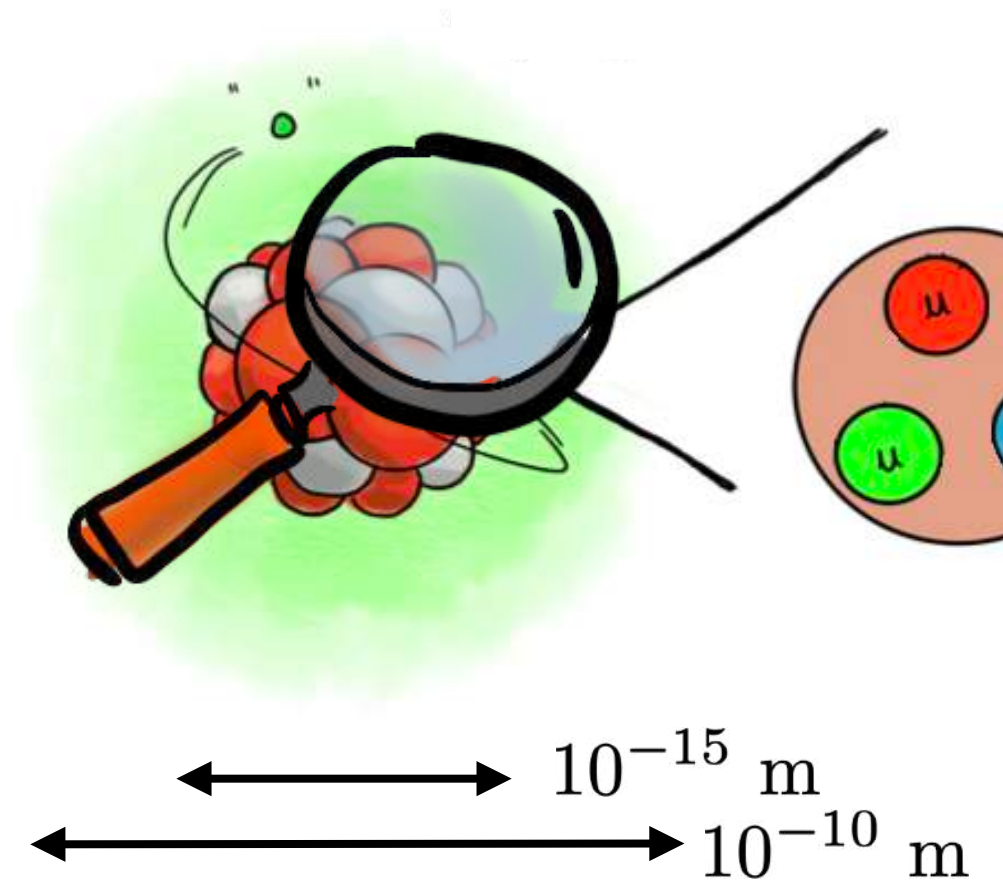
## El Modelo est\'andar y la f\'isica fundamental (I)

Speaker: Miguel Escudero Abenza (CERN)

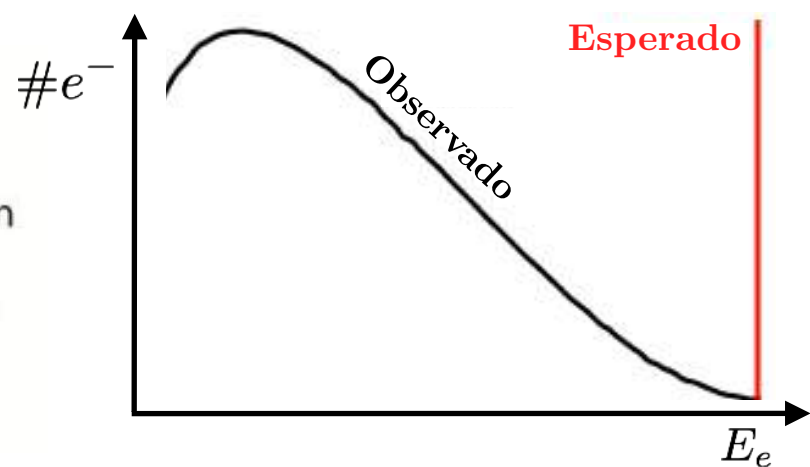
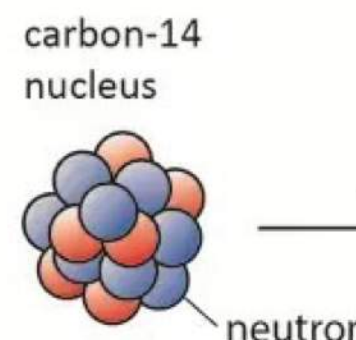
11:30

## F\'isica experimental de part\'iculas

Speaker: Sergi Rodriguez (CERN)



- protones
- neutrones
- electrones



# El Modelo Estándar (recap)

09:30

El Modelo estándar y la física fundamental

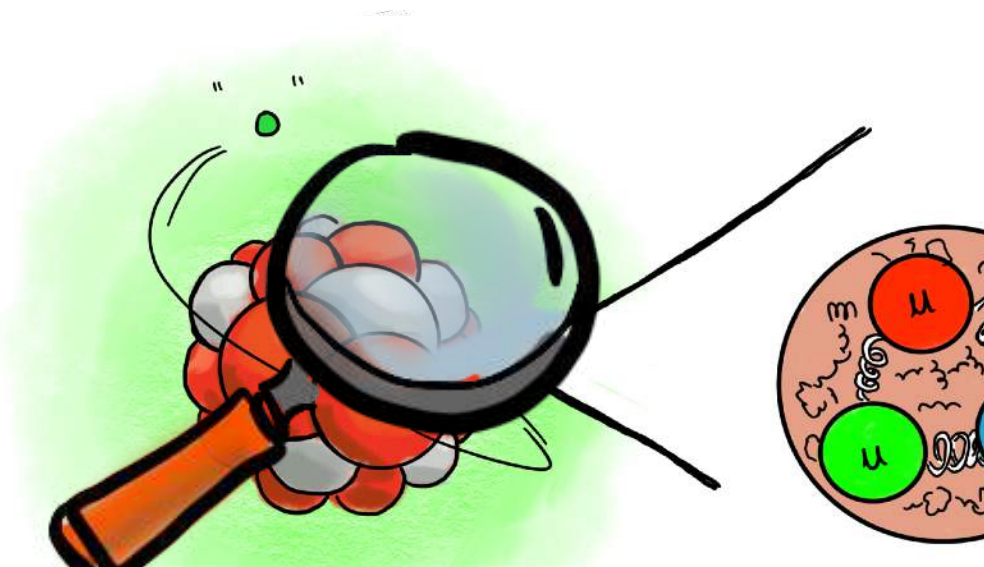
$$SU(3) \otimes SU(2) \otimes U(1)_Y$$

Speaker: Miguel Escudero Abenza (CERN)

11:30

Física experimental de partículas

Speaker: Sergi Rodriguez (CERN)



$10^{-15} \text{ m}$

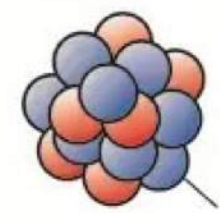
$10^{-10} \text{ m}$

● protones

○ neutrones

● electrones

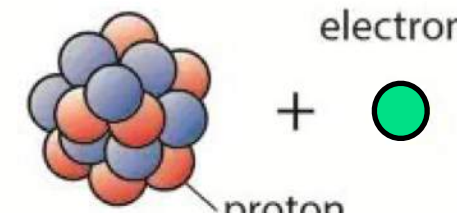
carbon-14  
nucleus



$\beta$ -decay

neutron

nitrogen-14  
nucleus



electron  
+  
neutron

$\approx 2.3 \text{ MeV}/c^2$   
2/3  
1/2  
U  
up

$\approx 4.8 \text{ MeV}/c^2$   
-1/3  
1/2  
d  
down

$0.511 \text{ MeV}/c^2$   
-1  
1/2  
e  
electron

$<2.2 \text{ eV}/c^2$   
0  
1/2  
 $\nu_e$   
electron neutrino

0  
0  
1  
g  
gluon

0  
0  
1  
 $\gamma$   
photon

$91.2 \text{ GeV}/c^2$   
0  
1  
Z  
Z boson

$80.4 \text{ GeV}/c^2$   
 $\pm 1$   
1  
W  
W boson

# El Modelo Estándar (recap)

09:30

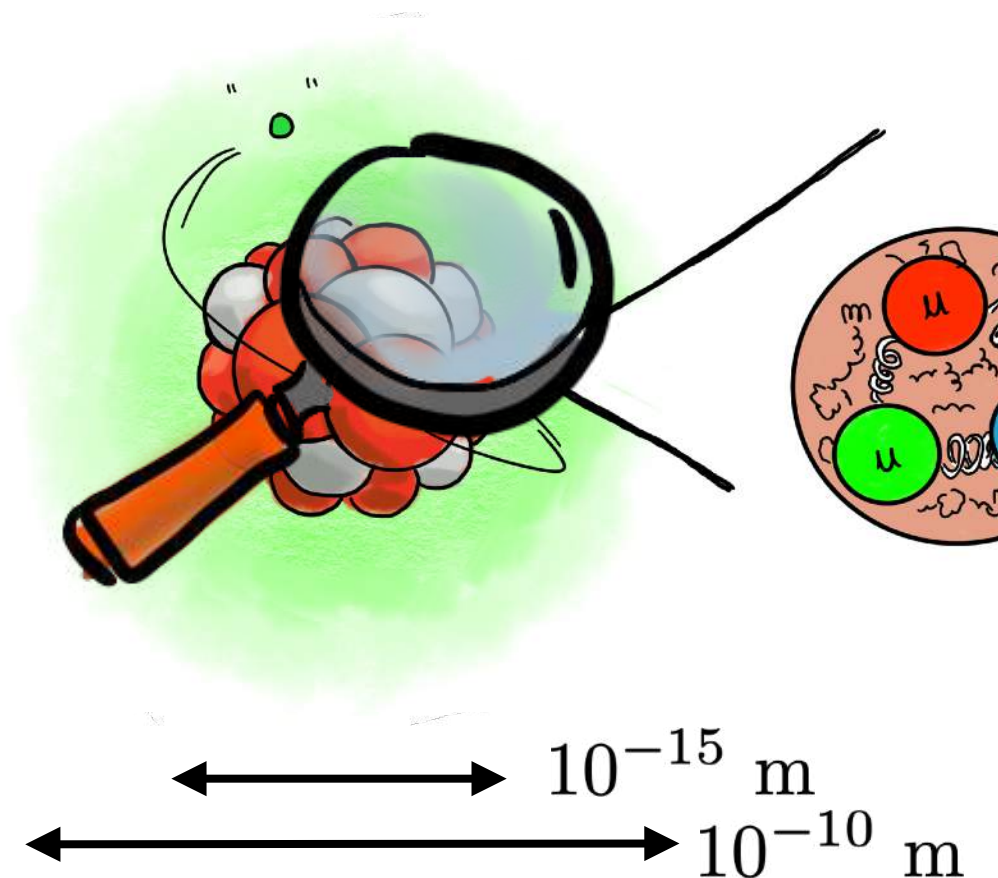
El Modelo estándar y la física fundamental

Speaker: Miguel Escudero Abenza (CERN)

11:30

Física experimental de partículas

Speaker: Sergi Rodriguez (CERN)



$$SU(3) \otimes SU(2) \otimes U(1)_Y$$

$\approx 2.3 \text{ MeV}/c^2$   
2/3  
1/2  
u  
up

$\approx 4.8 \text{ MeV}/c^2$   
-1/3  
1/2  
d  
down

$0.511 \text{ MeV}/c^2$   
-1  
1/2  
e  
electron

$<2.2 \text{ eV}/c^2$   
0  
1/2  
 $\bar{\nu}_e$   
electron neutrino

0  
0  
1  
g  
gluon

0  
0  
1  
 $\gamma$   
photon

$91.2 \text{ GeV}/c^2$   
0  
1  
Z  
Z boson

$80.4 \text{ GeV}/c^2$   
 $\pm 1$   
1  
W  
W boson

● protones

○ neutrones

● electrones

$$\mathcal{L} = -\frac{1}{4} F_{\mu\nu} F^{\mu\nu} + i \bar{\psi} \not{D} \psi$$

# El Modelo Estándar (recap)

09:30

El Modelo estándar y la física fundamental

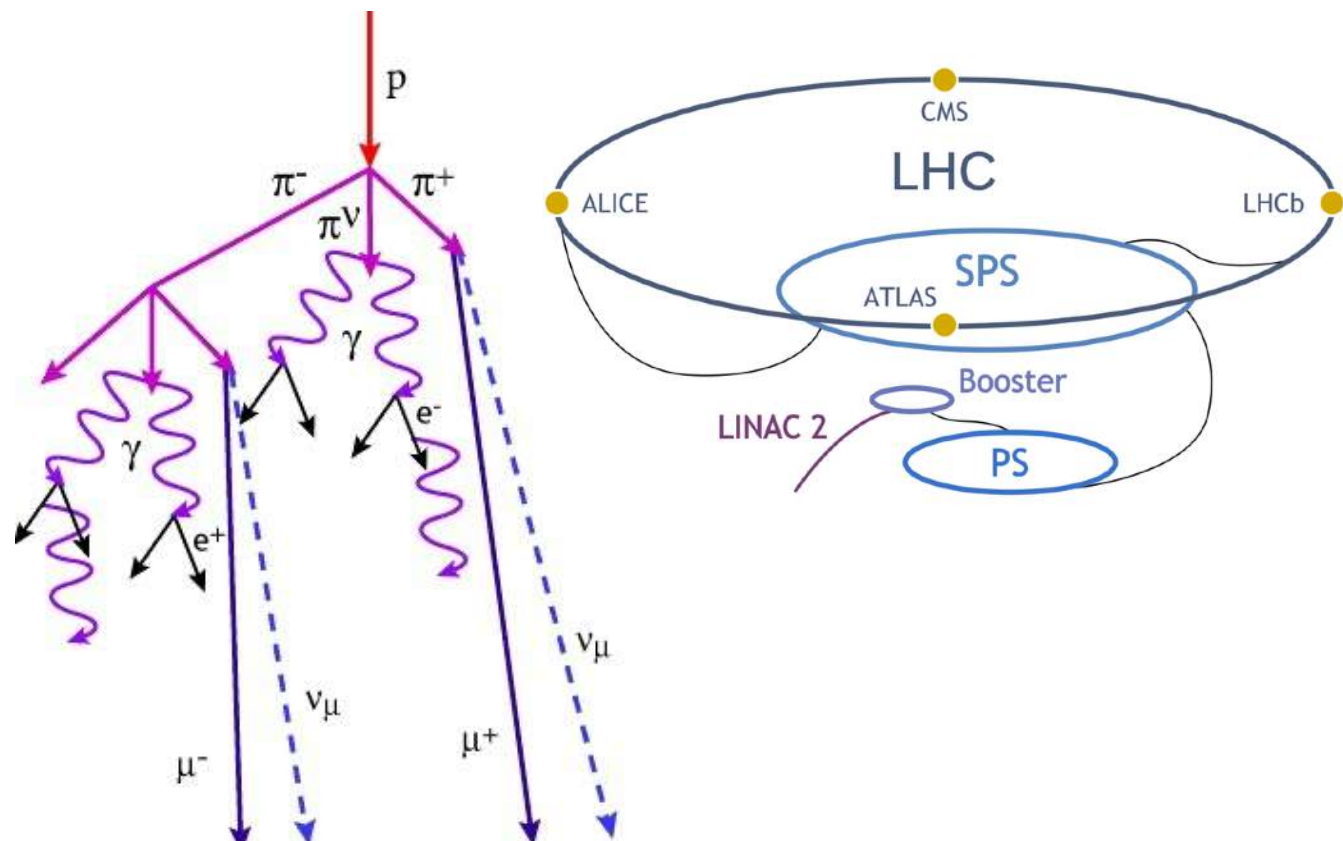
Speaker: Miguel Escudero Abenza (CERN)

11:30

Física experimental de partículas

Speaker: Sergi Rodriguez (CERN)

$$SU(3) \otimes SU(2) \otimes U(1)_Y$$



$\approx 2.3 \text{ MeV}/c^2$ 2/3 1/2 up <b>u</b>	$\approx 1.275 \text{ GeV}/c^2$ 2/3 1/2 charm <b>c</b>	$\approx 173.07 \text{ GeV}/c^2$ 2/3 1/2 top <b>t</b>	$0$ 0 1 gluon <b>g</b>
$\approx 4.8 \text{ MeV}/c^2$ -1/3 1/2 down <b>d</b>	$\approx 95 \text{ MeV}/c^2$ -1/3 1/2 strange <b>s</b>	$\approx 4.18 \text{ GeV}/c^2$ -1/3 1/2 bottom <b>b</b>	$0$ 0 1 photon <b>gamma</b>
$0.511 \text{ MeV}/c^2$ -1 1/2 electron <b>e</b>	$105.7 \text{ MeV}/c^2$ -1 1/2 muon <b>mu</b>	$1.777 \text{ GeV}/c^2$ -1 1/2 tau <b>tau</b>	$91.2 \text{ GeV}/c^2$ 0 1 Z boson <b>Z</b>
$<2.2 \text{ eV}/c^2$ 0 1/2 electron neutrino <b>nu_e</b>	$<0.17 \text{ MeV}/c^2$ 0 1/2 muon neutrino <b>nu_mu</b>	$<15.5 \text{ MeV}/c^2$ 0 1/2 tau neutrino <b>nu_tau</b>	$80.4 \text{ GeV}/c^2$ ±1 1 W boson <b>W</b>

masa →

$$\mathcal{L} = -\frac{1}{4} F_{\mu\nu} F^{\mu\nu} + i \bar{\psi} \not{D} \psi$$

# El Modelo Estándar (recap)

$$SU(3) \otimes SU(2) \otimes U(1)_Y$$

10:50

## El descubrimiento del bosón de Higgs

Speaker: Luis Roberto Flores Castillo (The Chinese University of Hong Kong (HK))

$\approx 2.3 \text{ MeV}/c^2$ 2/3 1/2 up <b>u</b>	$\approx 1.275 \text{ GeV}/c^2$ 2/3 1/2 charm <b>c</b>	$\approx 173.07 \text{ GeV}/c^2$ 2/3 1/2 top <b>t</b>	0 0 1 <b>g</b> gluon
$\approx 4.8 \text{ MeV}/c^2$ -1/3 1/2 down <b>d</b>	$\approx 95 \text{ MeV}/c^2$ -1/3 1/2 strange <b>s</b>	$\approx 4.18 \text{ GeV}/c^2$ -1/3 1/2 bottom <b>b</b>	0 0 1 <b><math>\gamma</math></b> photon
0.511 $\text{MeV}/c^2$ -1 1/2 electron <b>e</b>	105.7 $\text{MeV}/c^2$ -1 1/2 muon <b><math>\mu</math></b>	1.777 $\text{GeV}/c^2$ -1 1/2 tau <b><math>\tau</math></b>	91.2 $\text{GeV}/c^2$ 0 1 <b>Z</b> Z boson
<2.2 eV/c <sup>2</sup> 0 1/2 electron neutrino <b><math>\nu_e</math></b>	<0.17 MeV/c <sup>2</sup> 0 1/2 muon neutrino <b><math>\nu_\mu</math></b>	<15.5 MeV/c <sup>2</sup> 0 1/2 tau neutrino <b><math>\nu_\tau</math></b>	80.4 $\text{GeV}/c^2$ ±1 1 <b>W</b> W boson
masa			$\approx 126 \text{ GeV}/c^2$ 0 0 <b>H</b> Higgs boson

$$\mathcal{L} = -\frac{1}{4} F_{\mu\nu} F^{\mu\nu} + i \bar{\psi} \not{D} \psi$$

$$+ \bar{\psi}_i y_{ij} \psi_j \phi + h.c.$$

# El Modelo Estándar (recap)

$$SU(3) \otimes SU(2) \otimes U(1)_Y$$

10:50

## El descubrimiento del bosón de Higgs

Speaker: Luis Roberto Flores Castillo (The Chinese University of Hong Kong (HK))

e.g.  $\underbrace{(\bar{\nu}_L^i \quad \bar{e}_L^i)}_{\bar{L}_L^i} y_{ij} \begin{pmatrix} 0 \\ H_0 \end{pmatrix} e_R^j + \text{h.c.}$

$\approx 2.3 \text{ MeV}/c^2$ 2/3 1/2 up <b>u</b>	$\approx 1.275 \text{ GeV}/c^2$ 2/3 1/2 charm <b>c</b>	$\approx 173.07 \text{ GeV}/c^2$ 2/3 1/2 top <b>t</b>	0 0 1 <b>g</b> gluon
$\approx 4.8 \text{ MeV}/c^2$ -1/3 1/2 down <b>d</b>	$\approx 95 \text{ MeV}/c^2$ -1/3 1/2 strange <b>s</b>	$\approx 4.18 \text{ GeV}/c^2$ -1/3 1/2 bottom <b>b</b>	0 0 1 <b>γ</b> photon
0.511 $\text{MeV}/c^2$ -1 1/2 electron <b>e</b>	105.7 $\text{MeV}/c^2$ -1 1/2 muon <b>μ</b>	1.777 $\text{GeV}/c^2$ -1 1/2 tau <b>τ</b>	91.2 $\text{GeV}/c^2$ 0 1 <b>Z</b> Z boson
<2.2 $\text{eV}/c^2$ 0 1/2 electron neutrino <b>ν_e</b>	<0.17 $\text{MeV}/c^2$ 0 1/2 muon neutrino <b>ν_μ</b>	<15.5 $\text{MeV}/c^2$ 0 1/2 tau neutrino <b>ν_τ</b>	80.4 $\text{GeV}/c^2$ ±1 1 <b>W</b> W boson
→			masa
<b>H</b> Higgs boson			

$$\mathcal{L} = -\frac{1}{4} F_{\mu\nu} F^{\mu\nu} + i \bar{\psi} \gamma^\mu \psi$$

$$+ \bar{\psi}_i y_{ij} \psi_j \phi + \text{h. c.}$$

# El Modelo Estándar (recap)

$$SU(3) \otimes SU(2) \otimes U(1)_Y$$

10:50

## El descubrimiento del bosón de Higgs

Speaker: Luis Roberto Flores Castillo (The Chinese University of Hong Kong (HK))

$$\text{e.g. } \underbrace{\left(\bar{\nu}_L^i \quad \bar{e}_L^i\right)}_{\bar{L}_L^i} y_{ij} \begin{pmatrix} 0 \\ H_0 \end{pmatrix} e_R^j + \text{h.c.}$$

$$= \bar{e}_L^i y_{ij} H_0 e_R^j + \text{h.c.}$$

$\approx 2.3 \text{ MeV}/c^2$ 2/3 1/2 U up	$\approx 1.275 \text{ GeV}/c^2$ 2/3 1/2 C charm	$\approx 173.07 \text{ GeV}/c^2$ 2/3 1/2 t top	0 0 g gluon
$\approx 4.8 \text{ MeV}/c^2$ -1/3 1/2 d down	$\approx 95 \text{ MeV}/c^2$ -1/3 1/2 s strange	$\approx 4.18 \text{ GeV}/c^2$ -1/3 1/2 b bottom	0 0 1 1 $\gamma$ photon
$0.511 \text{ MeV}/c^2$ -1 1/2 e electron	$105.7 \text{ MeV}/c^2$ -1 1/2 $\mu$ muon	$1.777 \text{ GeV}/c^2$ -1 1/2 $\tau$ tau	$91.2 \text{ GeV}/c^2$ 0 1 Z Z boson
$<2.2 \text{ eV}/c^2$ 0 1/2 $\nu_e$ electron neutrino	$<0.17 \text{ MeV}/c^2$ 0 1/2 $\nu_\mu$ muon neutrino	$<15.5 \text{ MeV}/c^2$ 0 1/2 $\nu_\tau$ tau neutrino	$80.4 \text{ GeV}/c^2$ $\pm 1$ 1 W W boson
$\longrightarrow$ masa			

$$\mathcal{L} = -\frac{1}{4} F_{\mu\nu} F^{\mu\nu} + i \bar{\psi} \not{D} \psi$$

$$+ \bar{\psi}_i y_{ij} \psi_j \phi + \text{h. c.}$$

# El Modelo Estándar (recap)

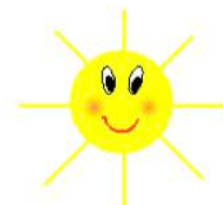
$$SU(3) \otimes SU(2) \otimes U(1)_Y$$

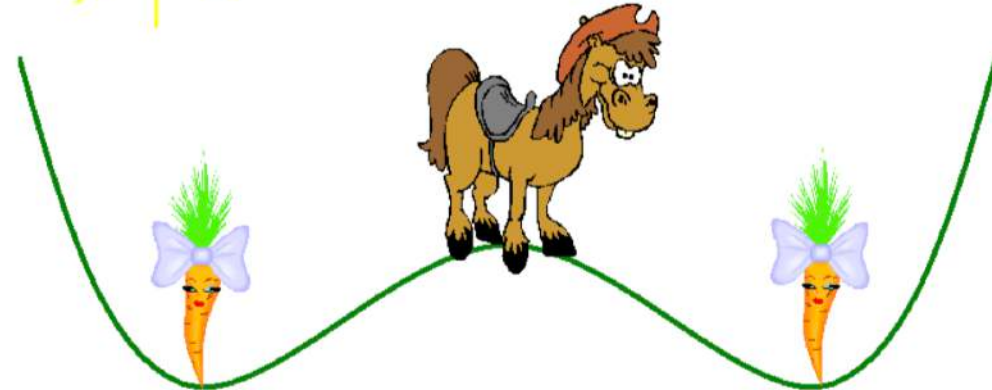
10:50

## El descubrimiento del bosón de Higgs

Speaker: Luis Roberto Flores Castillo (The Chinese University of Hong Kong (HK))

e.g.  $\underbrace{(\bar{\nu}_L^i \quad \bar{e}_L^i)}_{\bar{L}_L^i} y_{ij} \begin{pmatrix} 0 \\ H_0 \end{pmatrix} e_R^j + \text{h.c.}$

  $= \bar{e}_L^i y_{ij} (h_0 + 0) e_R^j + \text{h.c.}$



@Toni Pich  
“Nicolás”

$$\mathcal{L} = -\frac{1}{4} F_{\mu\nu} F^{\mu\nu} + i \bar{\psi} \gamma^\mu \psi$$

$$+ \bar{\psi}_i y_{ij} \psi_j \phi + \text{h.c.} + \frac{1}{2} D_\mu \phi D^\mu \phi - V(\phi)$$

$\approx 2.3 \text{ MeV}/c^2$ 2/3 1/2 up <b>u</b>	$\approx 1.275 \text{ GeV}/c^2$ 2/3 1/2 charm <b>c</b>	$\approx 173.07 \text{ GeV}/c^2$ 2/3 1/2 top <b>t</b>	$0$ 0 1 gluon <b>g</b>
$\approx 4.8 \text{ MeV}/c^2$ -1/3 1/2 down <b>d</b>	$\approx 95 \text{ MeV}/c^2$ -1/3 1/2 strange <b>s</b>	$\approx 4.18 \text{ GeV}/c^2$ -1/3 1/2 bottom <b>b</b>	$0$ 0 1 photon <b>\gamma</b>
$0.511 \text{ MeV}/c^2$ -1 1/2 electron <b>e</b>	$105.7 \text{ MeV}/c^2$ -1 1/2 muon <b>\mu</b>	$1.777 \text{ GeV}/c^2$ -1 1/2 tau <b>\tau</b>	$91.2 \text{ GeV}/c^2$ 0 1 Z boson <b>Z</b>
$<2.2 \text{ eV}/c^2$ 0 1/2 electron neutrino <b>\nu_e</b>	$<0.17 \text{ MeV}/c^2$ 0 1/2 muon neutrino <b>\nu_\mu</b>	$<15.5 \text{ MeV}/c^2$ 0 1/2 tau neutrino <b>\nu_\tau</b>	$80.4 \text{ GeV}/c^2$ ±1 1 W boson <b>W</b>
<b>masa</b>			
<b>Higgs boson H</b>			

# El Modelo Estándar (recap)

$$SU(3) \otimes SU(2) \otimes U(1)_Y$$

10:50

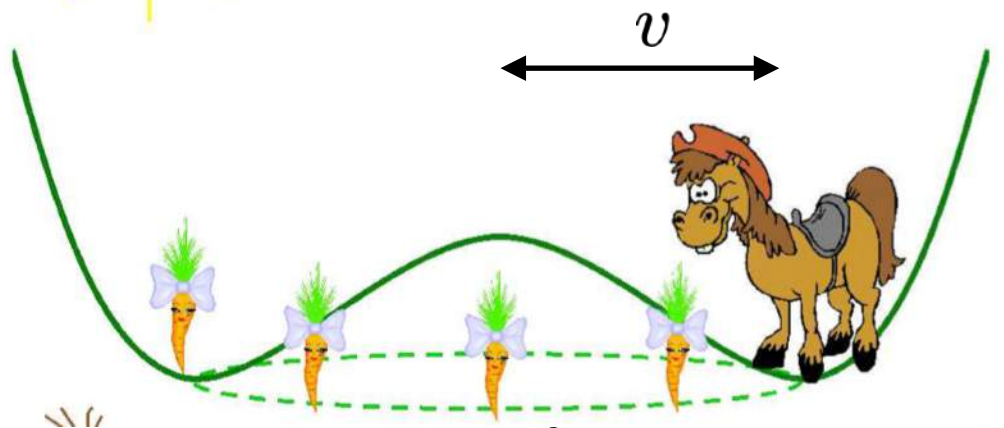
## El descubrimiento del bosón de Higgs

Speaker: Luis Roberto Flores Castillo (The Chinese University of Hong Kong (HK))

e.g.  $\underbrace{(\bar{\nu}_L^i \quad \bar{e}_L^i)}_{\bar{L}_L^i} y_{ij} \begin{pmatrix} 0 \\ H_0 \end{pmatrix} e_R^j + \text{h.c.}$



$$= \bar{e}_L^i y_{ij} (h_0 + v) e_R^j + \text{h.c.}$$



@Toni Pich  
“Nicolás”

$$\mathcal{L} = -\frac{1}{4} F_{\mu\nu} F^{\mu\nu} + i \bar{\psi} \not{D} \psi$$

$$+ \bar{\psi}_i y_{ij} \psi_j \phi + \text{h.c.} + \frac{1}{2} D_\mu \phi l^2 - V(\phi)$$

$\approx 2.3 \text{ MeV}/c^2$ 2/3 1/2 up <b>u</b>	$\approx 1.275 \text{ GeV}/c^2$ 2/3 1/2 charm <b>c</b>	$\approx 173.07 \text{ GeV}/c^2$ 2/3 1/2 top <b>t</b>	0 0 1 <b>g</b> gluon
$\approx 4.8 \text{ MeV}/c^2$ -1/3 1/2 down <b>d</b>	$\approx 95 \text{ MeV}/c^2$ -1/3 1/2 strange <b>s</b>	$\approx 4.18 \text{ GeV}/c^2$ -1/3 1/2 bottom <b>b</b>	0 0 1 <b>\gamma</b> photon
$0.511 \text{ MeV}/c^2$ -1 1/2 electron <b>e</b>	$105.7 \text{ MeV}/c^2$ -1 1/2 muon <b>\mu</b>	$1.777 \text{ GeV}/c^2$ -1 1/2 tau <b>\tau</b>	$91.2 \text{ GeV}/c^2$ 0 1 <b>Z</b> Z boson
$<2.2 \text{ eV}/c^2$ 0 1/2 electron neutrino <b>\nu_e</b>	$<0.17 \text{ MeV}/c^2$ 0 1/2 muon neutrino <b>\nu_\mu</b>	$<15.5 \text{ MeV}/c^2$ 0 1/2 tau neutrino <b>\nu_\tau</b>	$80.4 \text{ GeV}/c^2$ ±1 1 <b>W</b> W boson
$\approx 126 \text{ GeV}/c^2$ 0 0 <b>H</b> Higgs boson			

masa

# El Modelo Estándar (recap)

$$\text{SU}(3) \otimes \text{SU}(2) \otimes \text{U}(1)_Y$$

10:50

## El descubrimiento del bosón de Higgs

Speaker: Luis Roberto Flores Castillo (The Chinese University of Hong Kong (HK))



Prof. David J. Miller



Prof. David J. Miller

[diapositiva de la charla de Luis Roberto]

# El Modelo Estándar (recap)

$$SU(3) \otimes SU(2) \otimes U(1)_Y$$

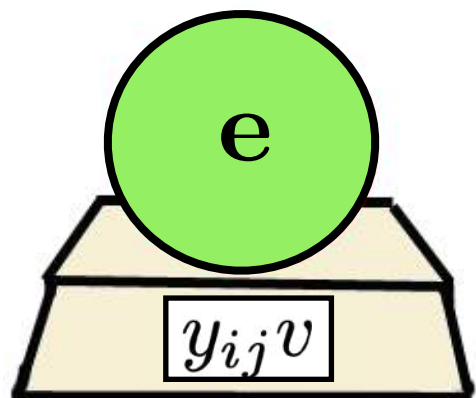
10:50

## El descubrimiento del bosón de Higgs

Speaker: Luis Roberto Flores Castillo (The Chinese University of Hong Kong (HK))

$$\text{e.g. } \underbrace{\left(\bar{\nu}_L^i \quad \bar{e}_L^i\right)}_{\bar{L}_L^i} y_{ij} \begin{pmatrix} 0 \\ H_0 \end{pmatrix} e_R^j + \text{h.c.}$$

$$= \bar{e}_L^i y_{ij} (h_0 + v) e_R^j + \text{h.c.}$$



$\approx 2.3 \text{ MeV}/c^2$ 2/3 1/2 up <b>u</b>	$\approx 1.275 \text{ GeV}/c^2$ 2/3 1/2 charm <b>c</b>	$\approx 173.07 \text{ GeV}/c^2$ 2/3 1/2 top <b>t</b>	$0$ 0 1 gluon <b>g</b>
$\approx 4.8 \text{ MeV}/c^2$ -1/3 1/2 down <b>d</b>	$\approx 95 \text{ MeV}/c^2$ -1/3 1/2 strange <b>s</b>	$\approx 4.18 \text{ GeV}/c^2$ -1/3 1/2 bottom <b>b</b>	$0$ 0 1 photon <b>\gamma</b>
$0.511 \text{ MeV}/c^2$ -1 1/2 electron <b>e</b>	$105.7 \text{ MeV}/c^2$ -1 1/2 muon <b>\mu</b>	$1.777 \text{ GeV}/c^2$ -1 1/2 tau <b>\tau</b>	$91.2 \text{ GeV}/c^2$ 0 1 Z boson <b>Z</b>
$<2.2 \text{ eV}/c^2$ 0 1/2 electron neutrino <b>\nu_e</b>	$<0.17 \text{ MeV}/c^2$ 0 1/2 muon neutrino <b>\nu_\mu</b>	$<15.5 \text{ MeV}/c^2$ 0 1/2 tau neutrino <b>\nu_\tau</b>	$80.4 \text{ GeV}/c^2$ ±1 1 W boson <b>W</b>
masa			
<b>Higgs boson H</b>			

$$\mathcal{L} = -\frac{1}{4} F_{\mu\nu} F^{\mu\nu} + i \bar{\psi} \not{D} \psi$$

$$+ \bar{\psi}_i y_{ij} \psi_j \phi + \text{h. c.} + \not{D}_\mu \phi l^2 - V(\phi)$$

# El Modelo Estándar (recap)

$$\text{SU}(3) \otimes \text{SU}(2) \otimes \text{U}(1)_Y$$

2013



Descubrimiento del bosón de Higgs - 4 Julio 2012

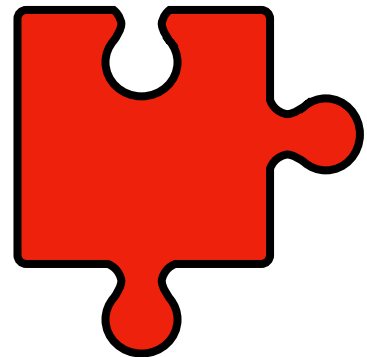
# El Modelo Estándar (recap)

$$\text{SU}(3) \otimes \text{SU}(2) \otimes \text{U}(1)_Y$$

La última pieza del puzzle deja muchos otros puzzles por resolver...

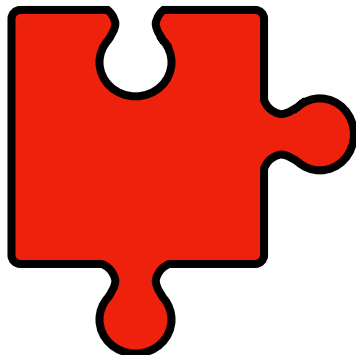


# El puzzle de los neutrinos solares



# El puzzle de los neutrinos solares

$$SU(3) \otimes SU(2) \otimes U(1)_Y$$



e.g.  $\underbrace{(\bar{\nu}_L^i \quad \bar{e}_L^i)}_{\bar{L}_L^i} y_{ij} \begin{pmatrix} 0 \\ H_0 \end{pmatrix} e_R^j + \text{h.c.}$

$$= \bar{e}_L^i y_{ij} (h_0 + v) e_R^j + \text{h.c.}$$

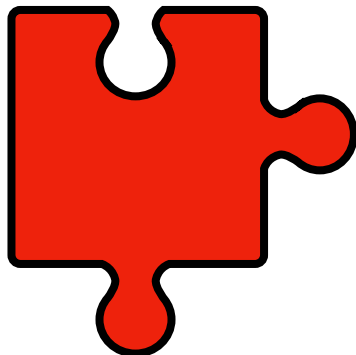
$\approx 2.3 \text{ MeV}/c^2$ 2/3 1/2 up <b>u</b>	$\approx 1.275 \text{ GeV}/c^2$ 2/3 1/2 charm <b>c</b>	$\approx 173.07 \text{ GeV}/c^2$ 2/3 1/2 top <b>t</b>	$0$ 0 1 gluon <b>g</b>
$\approx 4.8 \text{ MeV}/c^2$ -1/3 1/2 down <b>d</b>	$\approx 95 \text{ MeV}/c^2$ -1/3 1/2 strange <b>s</b>	$\approx 4.18 \text{ GeV}/c^2$ -1/3 1/2 bottom <b>b</b>	$0$ 0 1 photon <b>\gamma</b>
$0.511 \text{ MeV}/c^2$ -1 1/2 electron <b>e</b>	$105.7 \text{ MeV}/c^2$ -1 1/2 muon <b>\mu</b>	$1.777 \text{ GeV}/c^2$ -1 1/2 tau <b>\tau</b>	$91.2 \text{ GeV}/c^2$ 0 1 Z boson <b>Z</b>
$<2.2 \text{ eV}/c^2$ 0 1/2 electron neutrino <b>\nu_e</b>	$<0.17 \text{ MeV}/c^2$ 0 1/2 muon neutrino <b>\nu_\mu</b>	$<15.5 \text{ MeV}/c^2$ 0 1/2 tau neutrino <b>\nu_\tau</b>	$80.4 \text{ GeV}/c^2$ ±1 1 W boson <b>W</b>
$\longrightarrow$			masa
<b>Higgs boson</b> <b>H</b>			

$$\mathcal{L} = -\frac{1}{4} F_{\mu\nu} F^{\mu\nu} + i \bar{\psi} \not{D} \psi$$

$$+ \bar{\psi}_i y_{ij} \psi_j \phi + \text{h.c.} + D_\mu \phi l^2 - V(\phi)$$

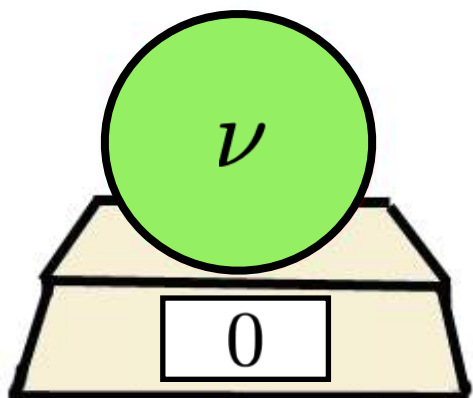
# El puzzle de los neutrinos solares

$$SU(3) \otimes SU(2) \otimes U(1)_Y$$



e.g.  $\underbrace{(\bar{\nu}_L^i \quad \bar{e}_L^i)}_{\bar{L}_L^i} y_{ij} \begin{pmatrix} 0 \\ H_0 \end{pmatrix} e_R^j + \text{h.c.}$

$$= \bar{e}_L^i y_{ij} (h_0 + v) e_R^j + \text{h.c.}$$

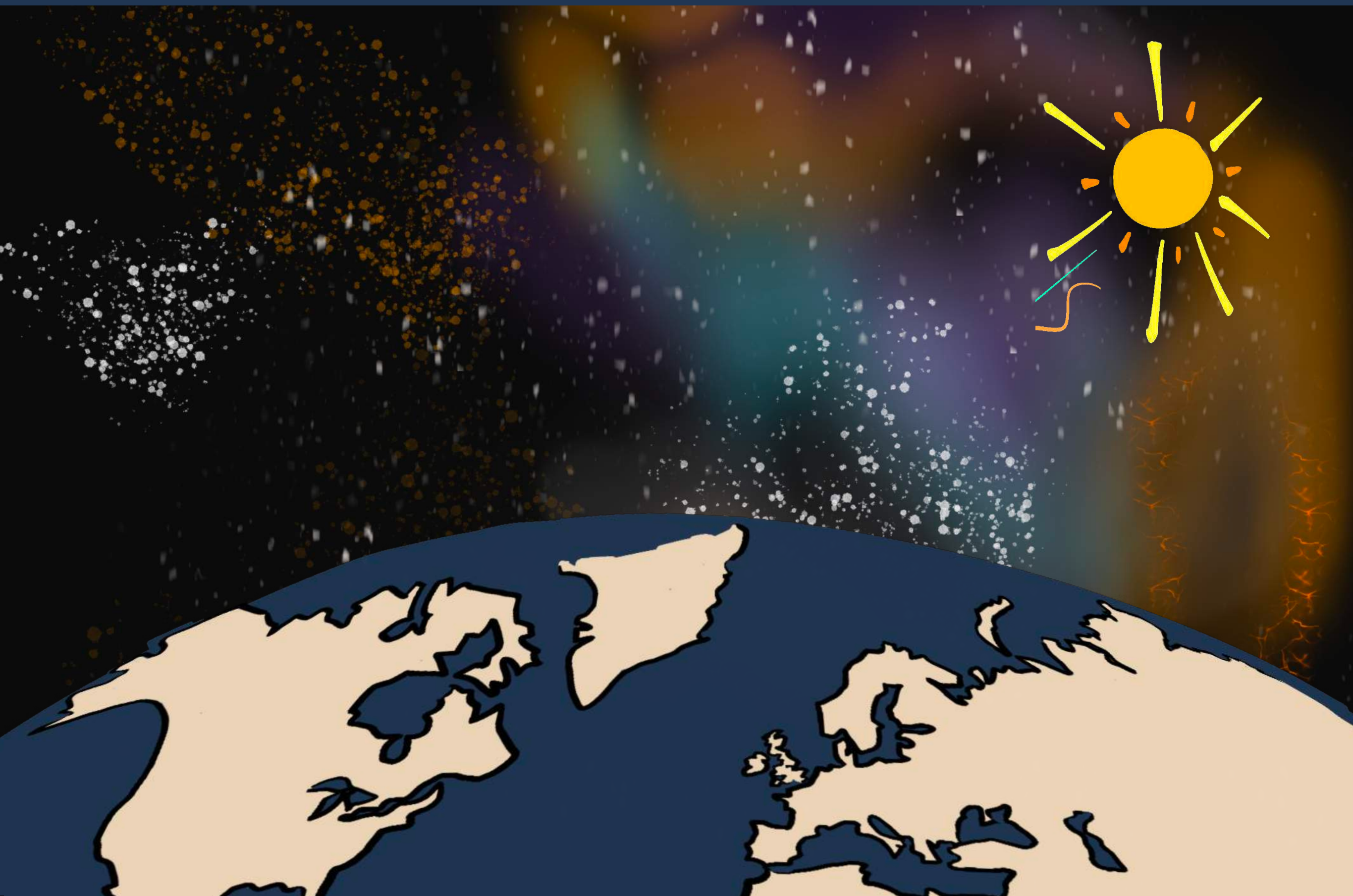


$\approx 2.3 \text{ MeV}/c^2$ 2/3 1/2 up	$\approx 1.275 \text{ GeV}/c^2$ 2/3 1/2 charm	$\approx 173.07 \text{ GeV}/c^2$ 2/3 1/2 top	0 0 1 gluon
$\approx 4.8 \text{ MeV}/c^2$ -1/3 1/2 down	$\approx 95 \text{ MeV}/c^2$ -1/3 1/2 strange	$\approx 4.18 \text{ GeV}/c^2$ -1/3 1/2 bottom	0 0 1 photon
0.511 $\text{MeV}/c^2$ -1 1/2 electron	105.7 $\text{MeV}/c^2$ -1 1/2 muon	1.777 $\text{GeV}/c^2$ -1 1/2 tau	91.2 $\text{GeV}/c^2$ 0 1 Z boson
<2.2 $\text{eV}/c^2$ 0 1/2 $\nu_e$ electron neutrino	<0.17 $\text{MeV}/c^2$ 0 1/2 $\nu_\mu$ muon neutrino	<15.5 $\text{MeV}/c^2$ 0 1/2 $\nu_\tau$ tau neutrino	80.4 $\text{GeV}/c^2$ ±1 1 W boson
$\rightarrow$	masa		$\approx 126 \text{ GeV}/c^2$ 0 0 Higgs boson

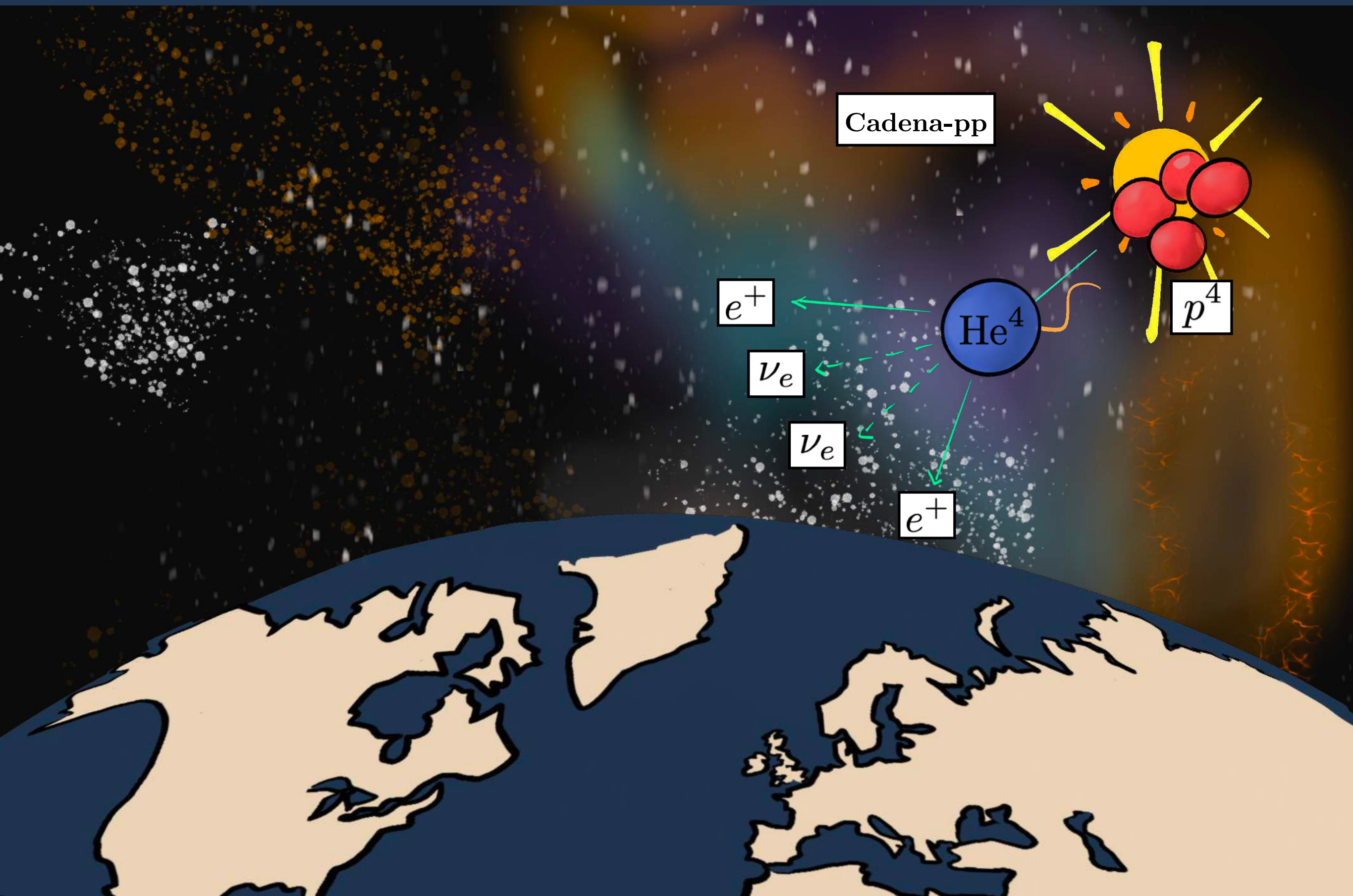
$$\mathcal{L} = -\frac{1}{4} F_{\mu\nu} F^{\mu\nu} + i \bar{\psi} \not{D} \psi$$

$$+ \bar{\psi}_i y_{ij} \psi_j \phi + \text{h. c.} + D_\mu \phi l^2 - V(\phi)$$

# El puzzle de los neutrinos solares



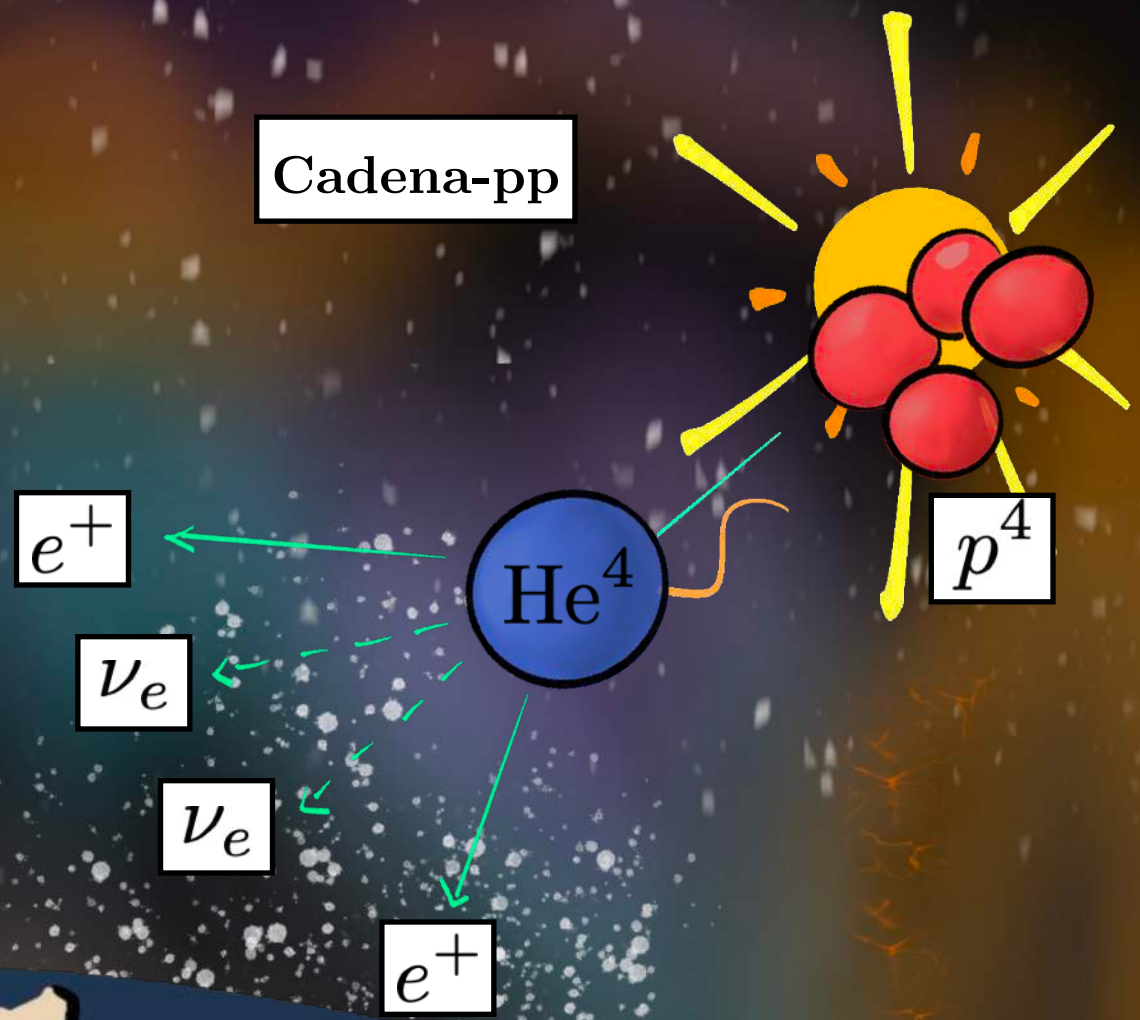
# El puzzle de los neutrinos solares



# El puzzle de los neutrinos solares



Davis & Bahcall  
[Homestake, 1960]



# El puzzle de los neutrinos solares



2002 - Davis & Koshiba



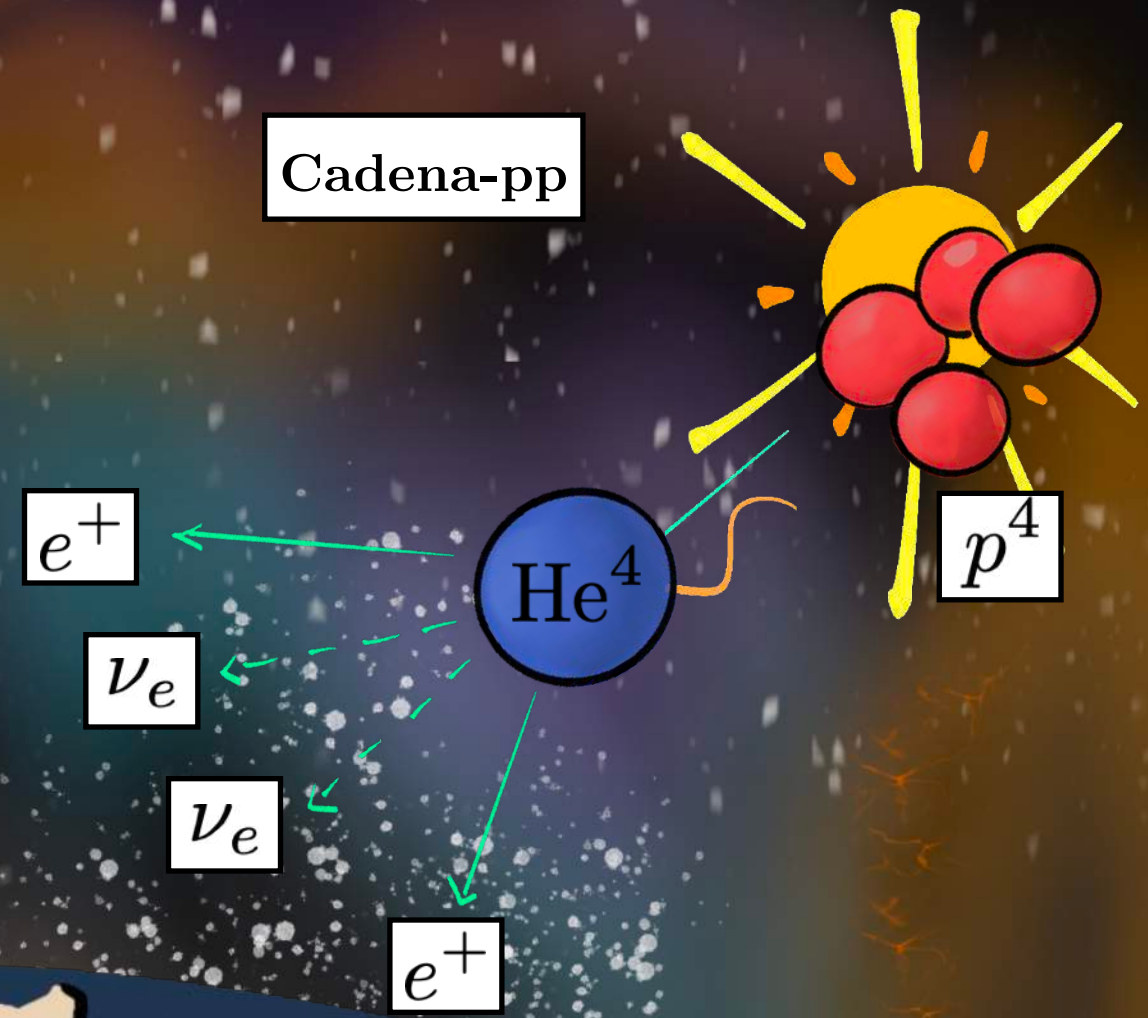
1/3

1/3

Davis & Bahcall  
[Homestake, 1960]



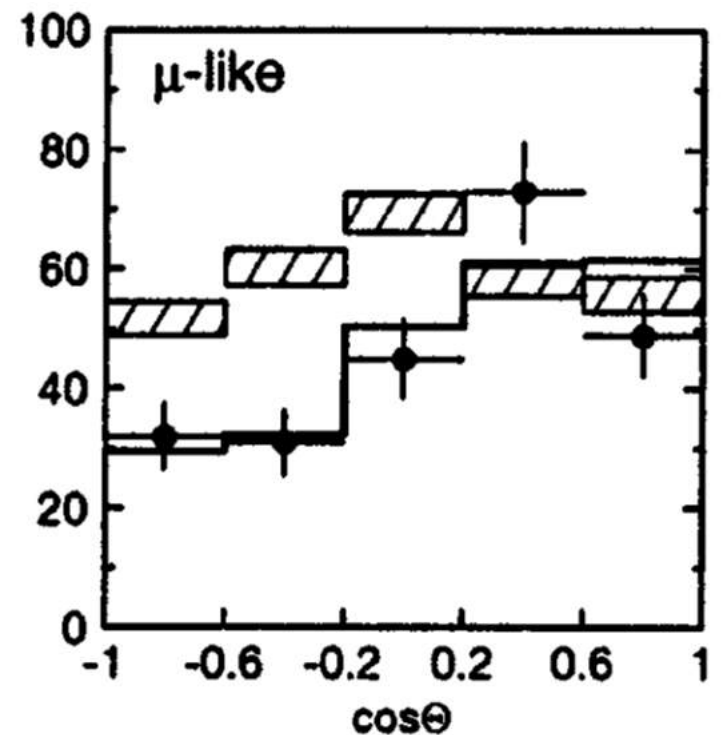
Cadena-pp



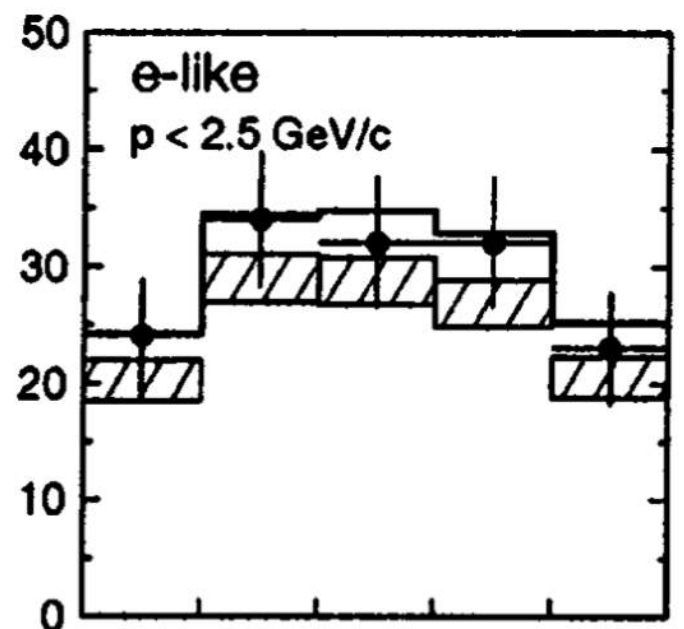
# La masa de los neutrinos



2002 - Davis & Koshiba



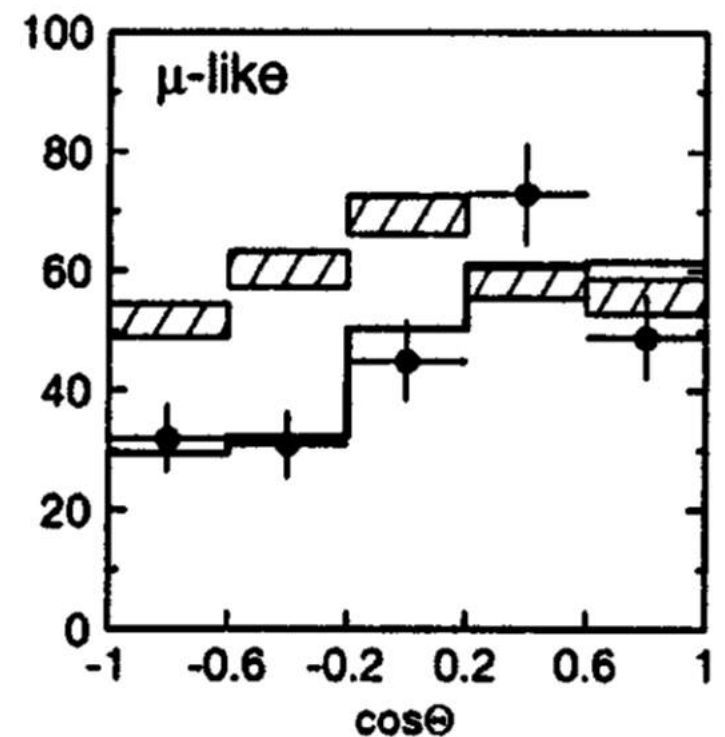
2015 - Kajita & McDonald



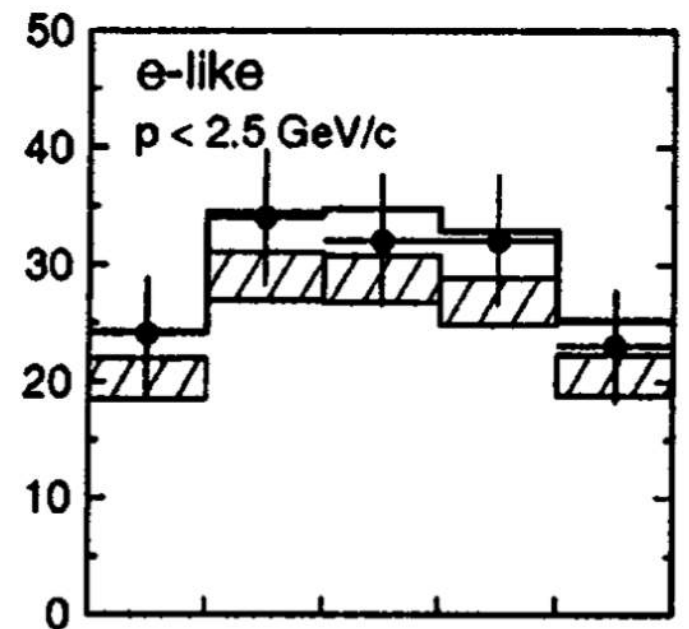
# La masa de los neutrinos



2002 - Davis & Koshiba



2015 - Kajita & McDonald



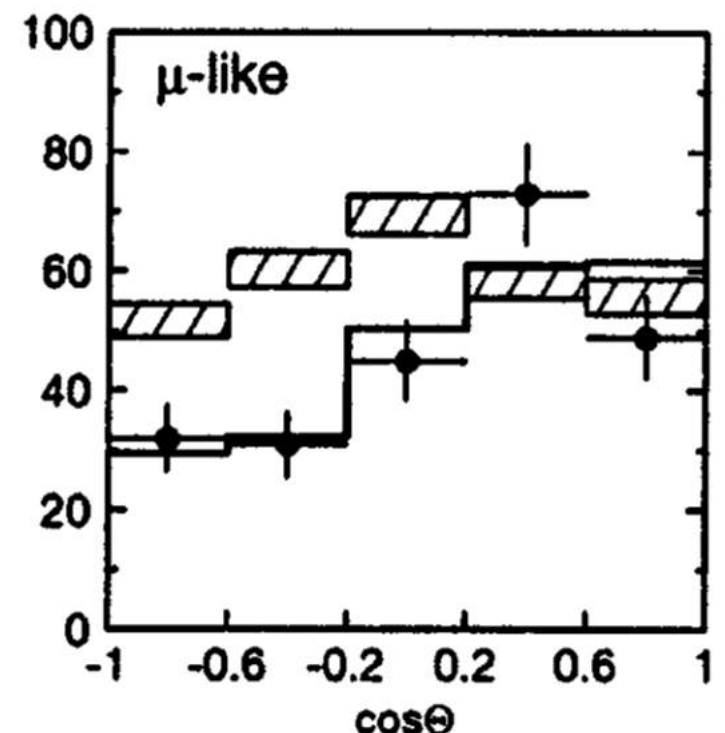
# La masa de los neutrinos



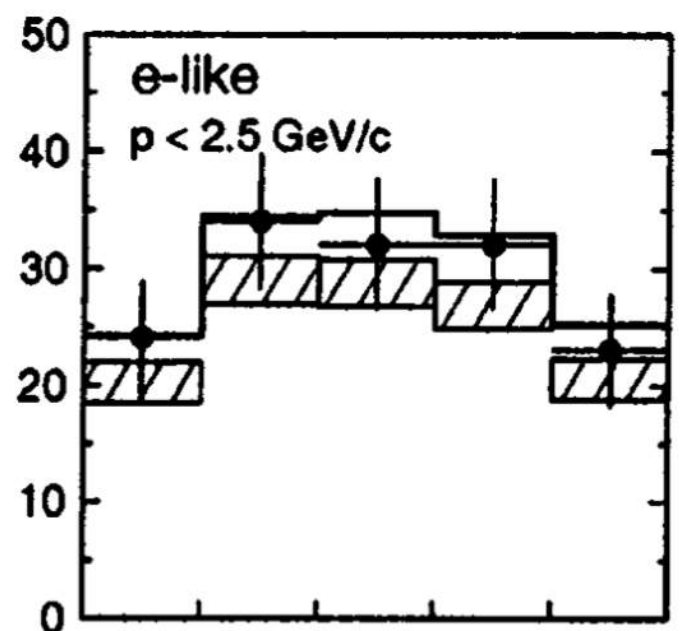
2002 - Davis & Koshiba

$$P_{\alpha \rightarrow \beta} = |\langle \nu_\beta | \nu_\alpha(L) \rangle|^2 = \left| \sum_j U_{\alpha j}^* U_{\beta j} \right|^2 = \delta_{\alpha \beta}$$

ME



2015 - Kajita & McDonald

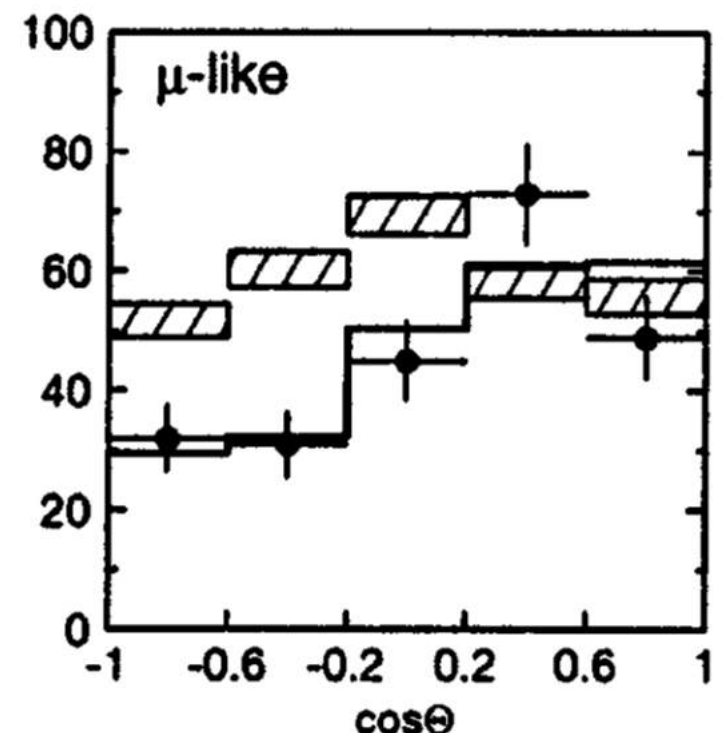


# La masa de los neutrinos

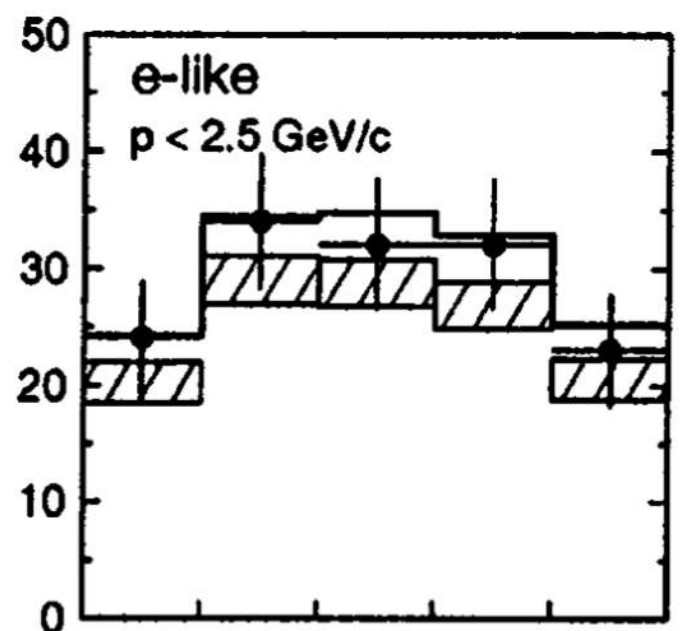


2002 - Davis & Koshiba

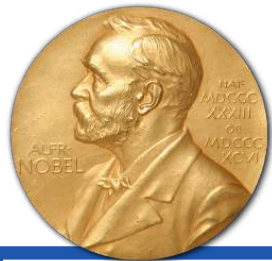
$$P_{\alpha \rightarrow \beta} = |\langle \nu_\beta | \nu_\alpha(L) \rangle|^2 = \left| \sum_j U_{\alpha j}^* U_{\beta j} e^{-im_j^2 L/(2E)} \right|^2$$



2015 - Kajita & McDonald

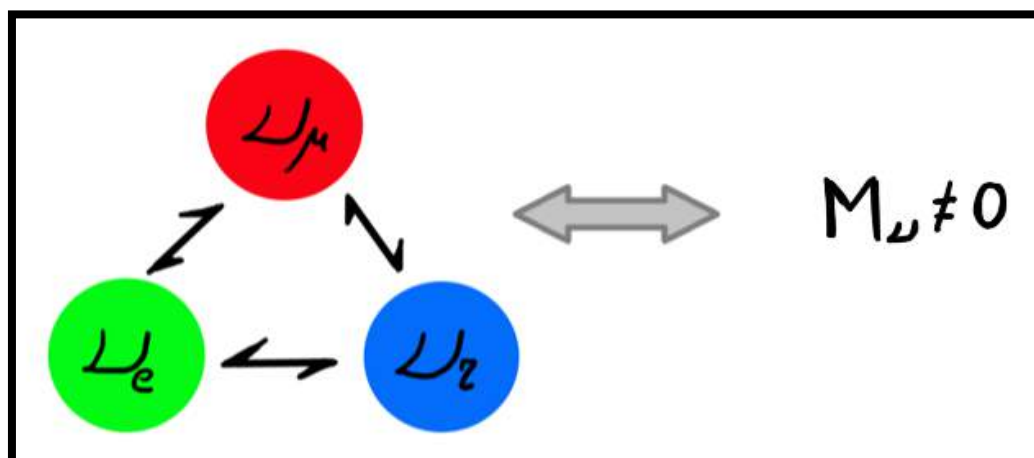


# La masa de los neutrinos

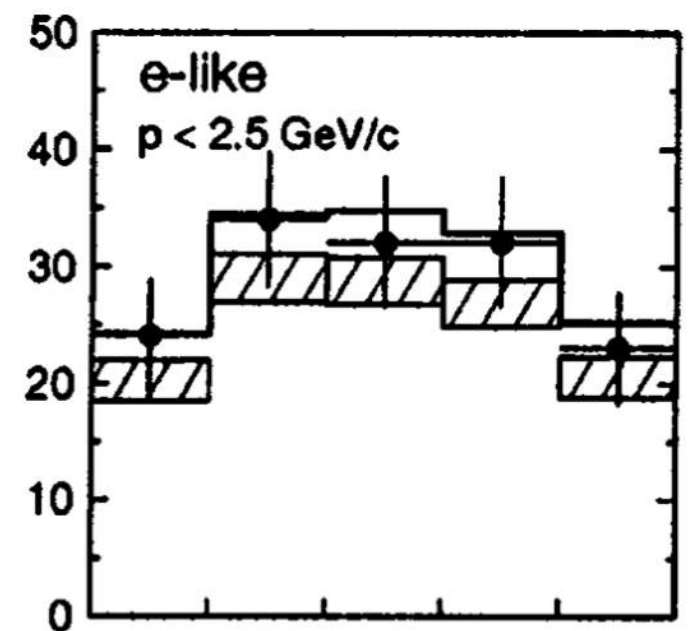
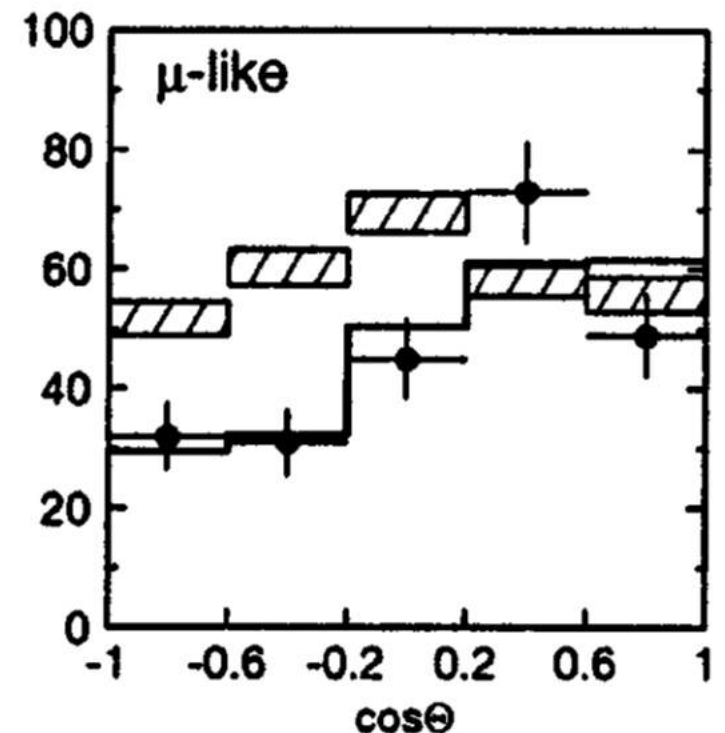


2002 - Davis & Koshiba

$$P_{\alpha \rightarrow \beta} = |\langle \nu_\beta | \nu_\alpha(L) \rangle|^2 = \left| \sum_j U_{\alpha j}^* U_{\beta j} e^{-im_j^2 L/(2E)} \right|^2$$



2015 - Kajita & McDonald

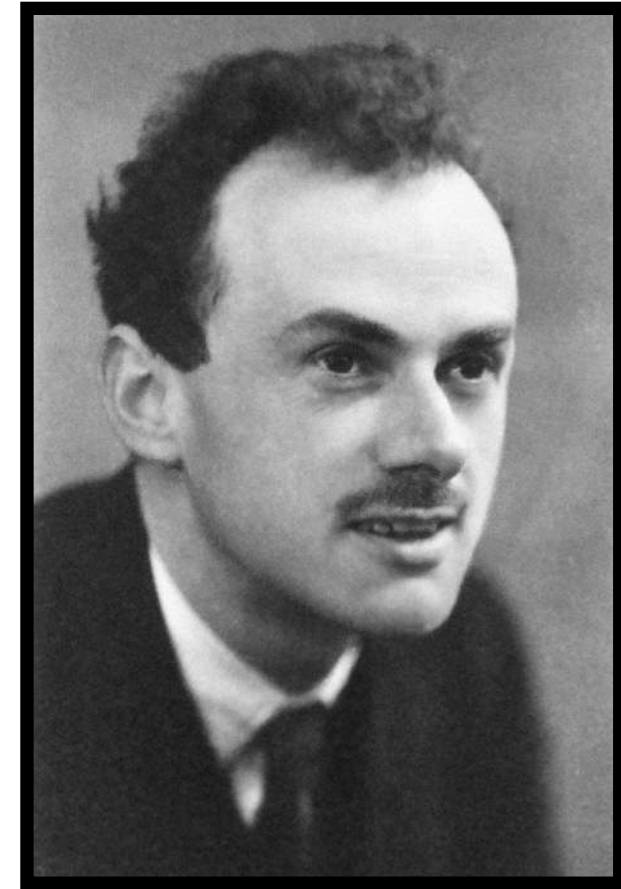


# Majorana o Dirac?

$SU(3) \otimes SU(2) \otimes U(1)_Y$



V/S



$$\nu = \bar{\nu}$$

$$M_M \nu^T C \nu$$

$$\nu \neq \bar{\nu}$$

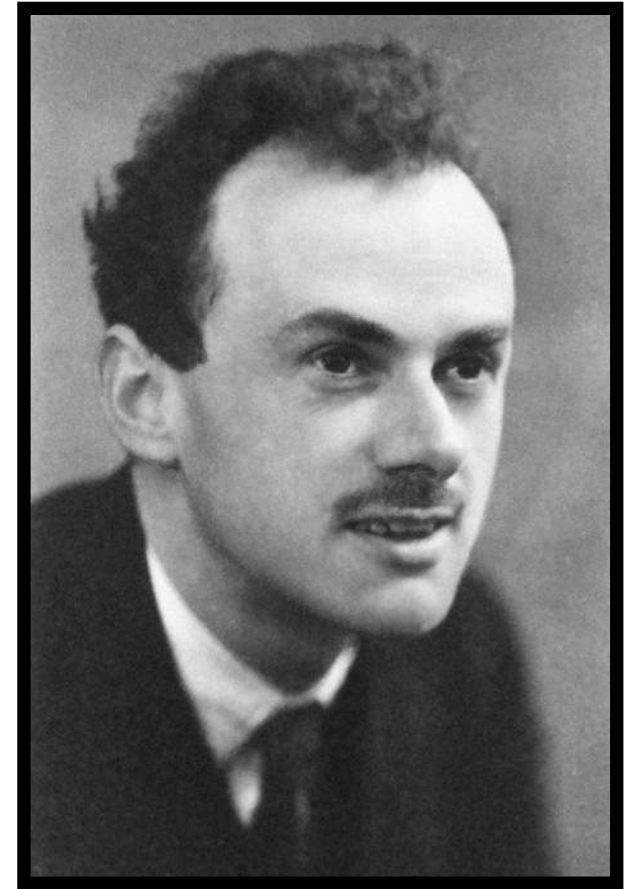
$$m_D \bar{\nu} \nu$$

# Majorana o Dirac?

$$\mathrm{SU}(3) \otimes \mathrm{SU}(2) \otimes \mathrm{U}(1)_Y$$



V/S



$$\nu = \bar{\nu}$$

$$\nu \neq \bar{\nu}$$

$$M_M \nu^T C \nu$$

$$m_D \bar{\nu} \nu$$

$$\Delta L = 2$$

$$\nu \rightarrow e^{i\theta} \nu$$

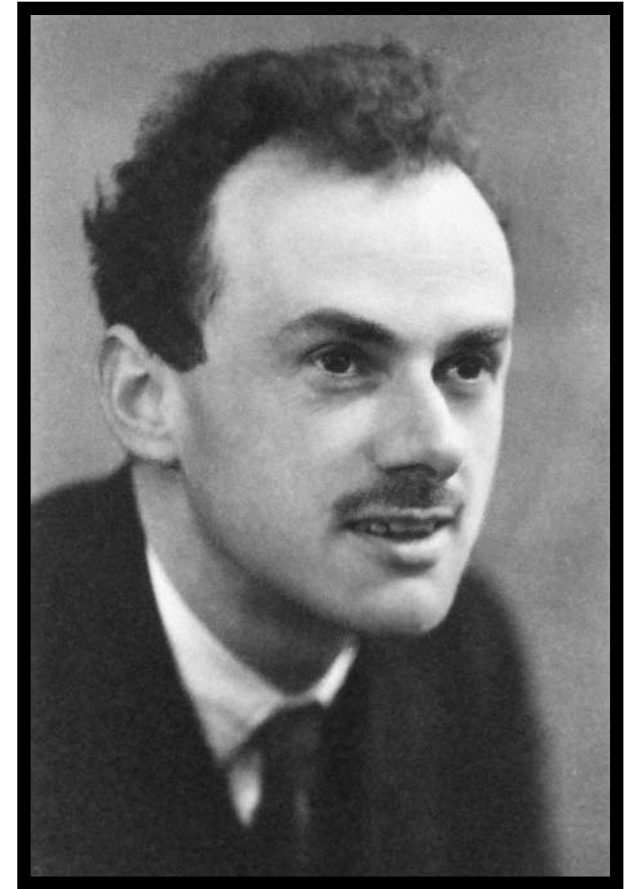
$$\Delta L = 0$$

# Majorana o Dirac?

$$\mathrm{SU}(3) \otimes \mathrm{SU}(2) \otimes \mathrm{U}(1)_Y$$



V/S



$$\begin{aligned} \nu &= \bar{\nu} \\ M_M \nu^T C \nu \end{aligned}$$

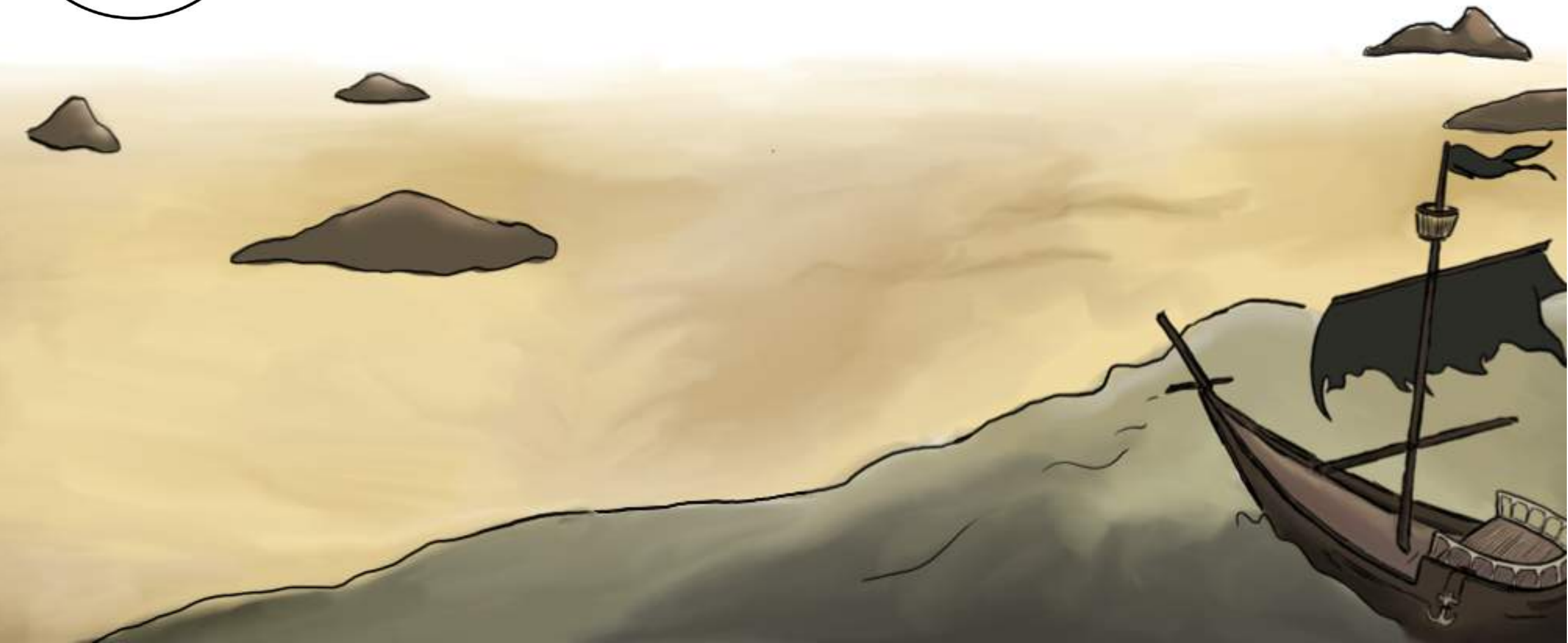
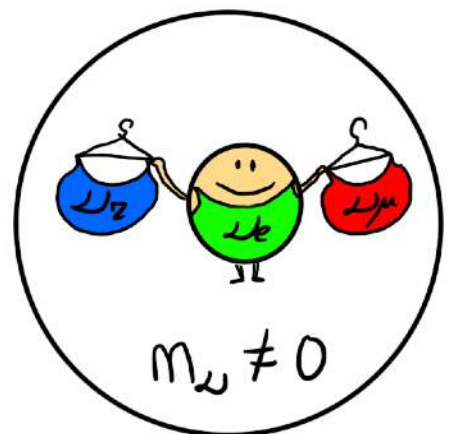
$$\Delta L = 2$$

Se necesita contenido extra!

$$\begin{aligned} \nu &\neq \bar{\nu} \\ m_D \bar{\nu} \nu \end{aligned}$$

$$\Delta L = 0$$

# Más allá del modelo estandar

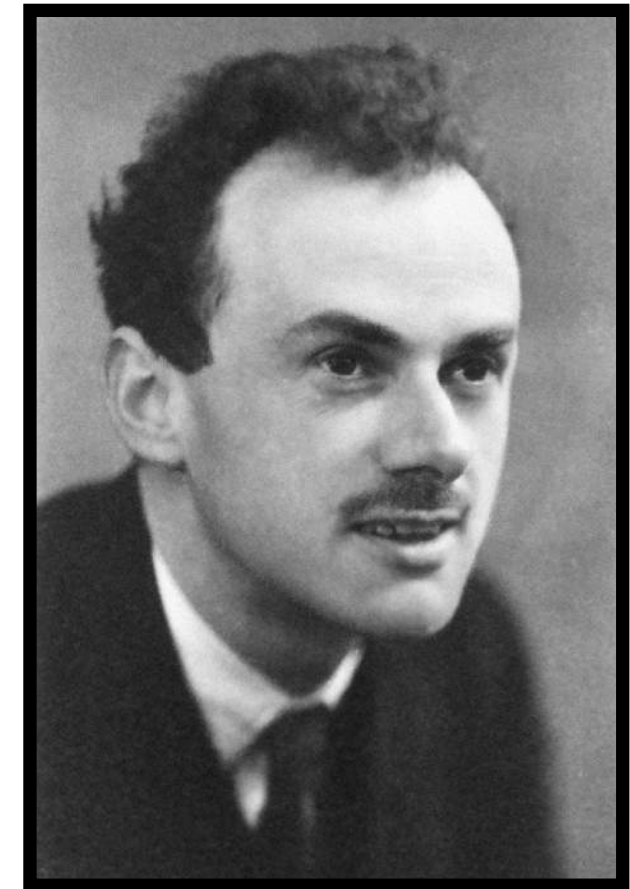
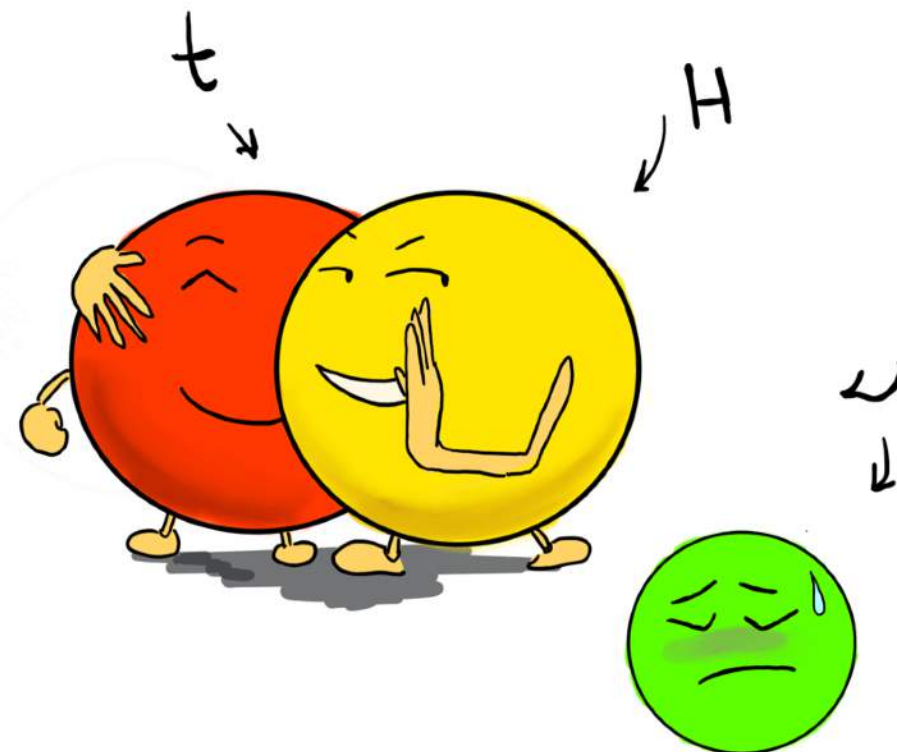


# Mecanismos para generar la masa

Añadimos un singlete  $\nu_R$

Si son Dirac...

$$m_\nu < 10^{-10} \text{ GeV} \Rightarrow Y_\nu \sim 10^{-12}$$



$$\nu \neq \bar{\nu}$$

$$\mathcal{L} \supset Y_\nu \bar{L}_L(i\sigma_2) H^* \nu_R$$

# Mecanismos para generar la masa

Añadimos un singlete  $\nu_R$



Si en vez son Majorana...

$$M_\nu = \begin{pmatrix} 0 & y_\nu v \\ y_\nu v & M_R \end{pmatrix}$$

$$\nu = \bar{\nu}$$

$$M_R \nu_R^T C \nu_R$$

# Mecanismos para generar la masa

Añadimos un singlete  $\nu_R$

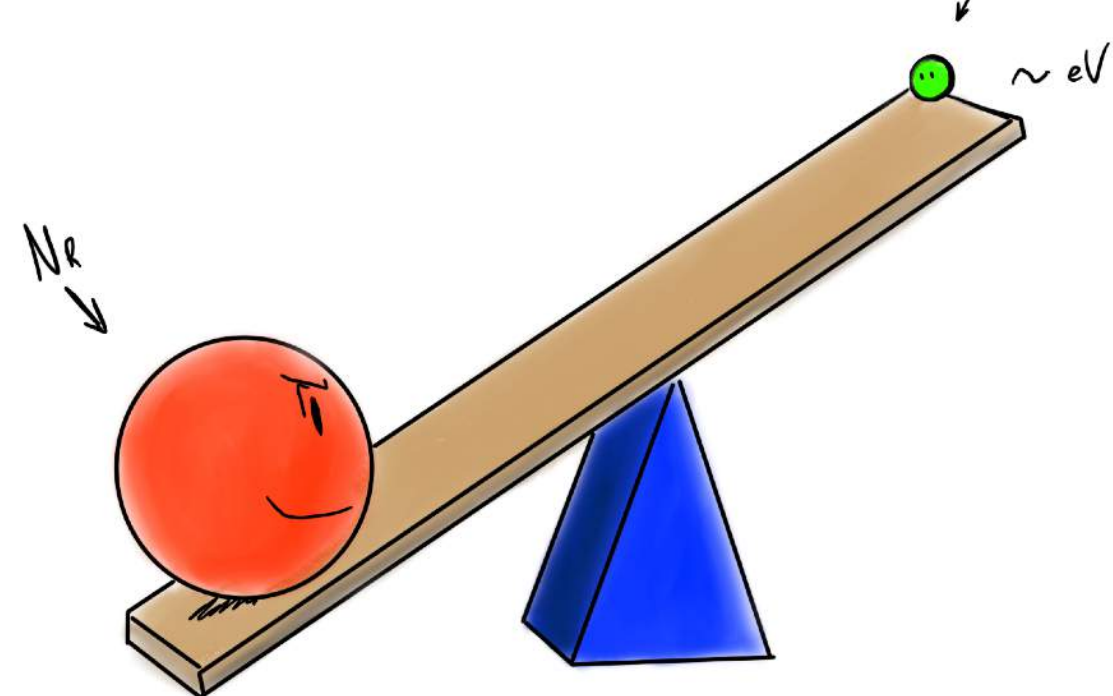


Si en vez son Majorana...

El mecanismo del “balancín”

$$M_\nu = \begin{pmatrix} 0 & y_\nu v \\ y_\nu v & M_R \end{pmatrix}$$

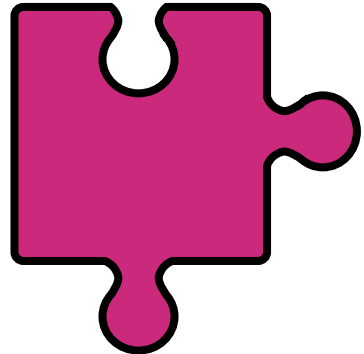
$$m_\nu \sim \frac{(y_\nu v)^2}{M_R}$$



$$\nu = \bar{\nu}$$

$$M_R \nu_R^T C \nu_R$$

# Y la antimateria?



# Y la antimateria?

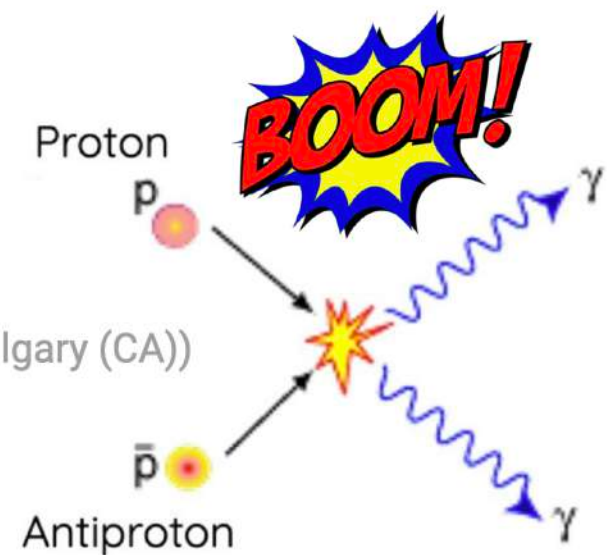
$\frac{2}{3}$ $\frac{1}{2}$ U up	$\frac{1}{3}$ $\frac{1}{2}$ C charm	$\frac{2}{3}$ $\frac{1}{2}$ t top	$\frac{-2}{3}$ $\frac{1}{2}$ ū antiup	$\frac{-2}{3}$ $\frac{1}{2}$ C̄ anticharm	$\frac{-2}{3}$ $\frac{1}{2}$ t̄ antitop	0 0 g gluon	$\frac{0}{0}$ $\frac{0}{0}$ H higgs
$\frac{4}{3}$ $\frac{1}{2}$ d down	$\frac{-1}{3}$ $\frac{1}{2}$ s strange	$\frac{-1}{3}$ $\frac{1}{2}$ b bottom	$\frac{4}{3}$ $\frac{1}{2}$ d̄ antidown	$\frac{96}{3}$ $\frac{1}{2}$ s̄ antistrange	$\frac{4.18}{3}$ $\frac{1}{2}$ b̄ antibottom	0 0 γ photon	
$\frac{0.511}{-1}$ $\frac{1}{2}$ e electron	$\frac{105.66}{-1}$ $\frac{1}{2}$ μ muon	$\frac{1.7768}{-1}$ $\frac{1}{2}$ τ tau	$\frac{0.511}{1}$ $\frac{1}{2}$ e <sup>+</sup> positron	$\frac{105.66}{1}$ $\frac{1}{2}$ μ̄ antimuon	$\frac{1.7768}{1}$ $\frac{1}{2}$ τ̄ antitau	$\frac{91.19}{0}$ $\frac{1}{2}$ Z Z <sup>0</sup> boson	
$<2.2$ $\frac{0}{1}$ ν <sub>e</sub> electron neutrino	$<0.17$ $\frac{0}{1}$ ν <sub>μ</sub> muon neutrino	$<18.2$ $\frac{0}{1}$ ν <sub>τ</sub> tau neutrino	$<2.2$ $\frac{0}{1}$ ν̄ <sub>e</sub> electron antineutrino	$<0.17$ $\frac{0}{1}$ ν̄ <sub>μ</sub> muon antineutrino	$<18.2$ $\frac{0}{1}$ ν̄ <sub>τ</sub> tau antineutrino	$\frac{80.360}{1}$ $\frac{1}{1}$ W <sup>+</sup> W <sup>+</sup> boson	$\frac{80.360}{-1}$ $\frac{1}{1}$ W <sup>-</sup> W <sup>-</sup> boson

[diapositiva de la charla de Alberto Jesús]

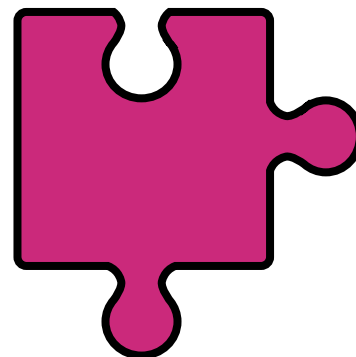
08:30

Physics Snacks: Antimateria en el CERN

Speaker: Alberto Jesus Uribe Jimenez (Dep. of Phys. and Astronomy University of Calgary (CA))



# Y la antimateria?



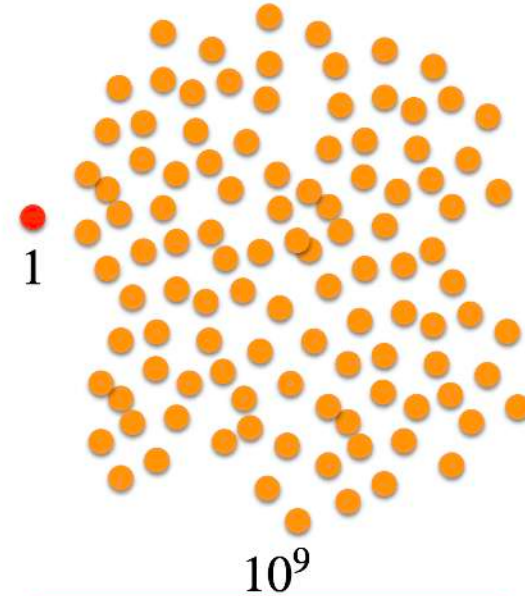
10:50

El Modelo estándar y la física fundamental (II)

Speaker: Miguel Escudero Abenza (CERN)

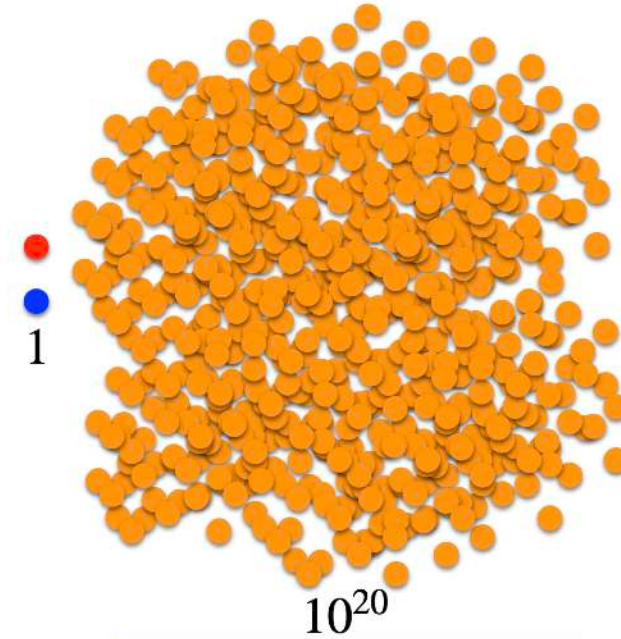
## El problema

**Universo observado**  
● foton ● proton ● antiproton

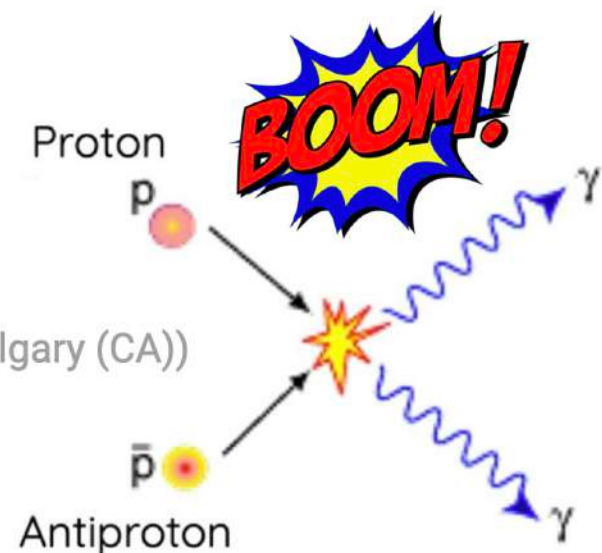


Hay  $10^9$  fotones por cada núcleo atómico!

**Universo esperado según el modelo estándar**



Misma cantidad de materia y antimateria



08:30

Physics Snacks: Antimateria en el CERN

Speaker: Alberto Jesus Uribe Jimenez (Dep. of Phys. and Astronomy University of Calgary (CA))

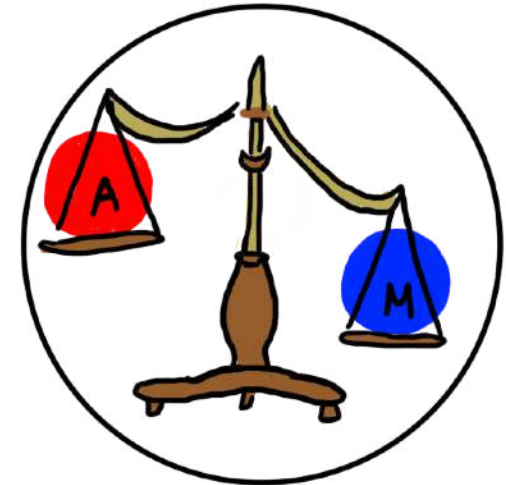
# Y la antimateria?

## Condiciones de Sakharov

**Uno:** Violación de Carga conjugada - Paridad (CP)

**Dos:** Violación del número bariónico

**Tres:** Salida del equilibrio térmico



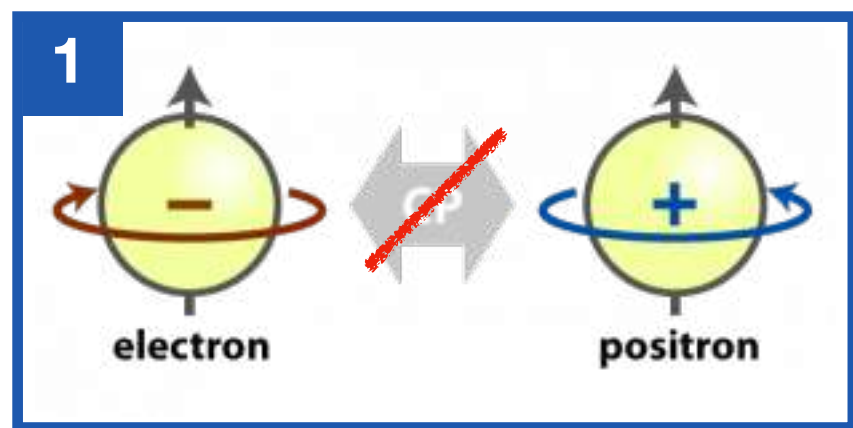
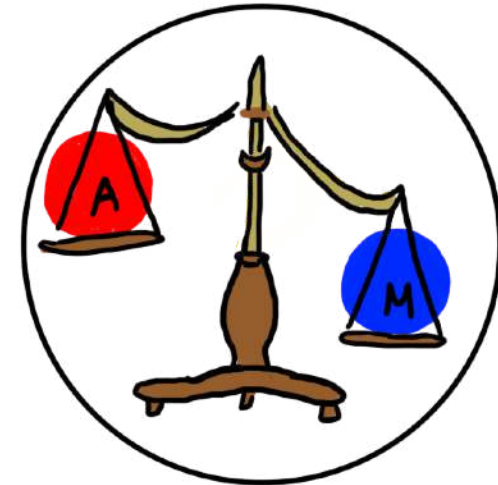
# Y la antimateria?

## Condiciones de Sakharov

**Uno:** Violación de Carga conjugada - Paridad (CP)

**Dos:** Violación del número bariónico

**Tres:** Salida del equilibrio térmico



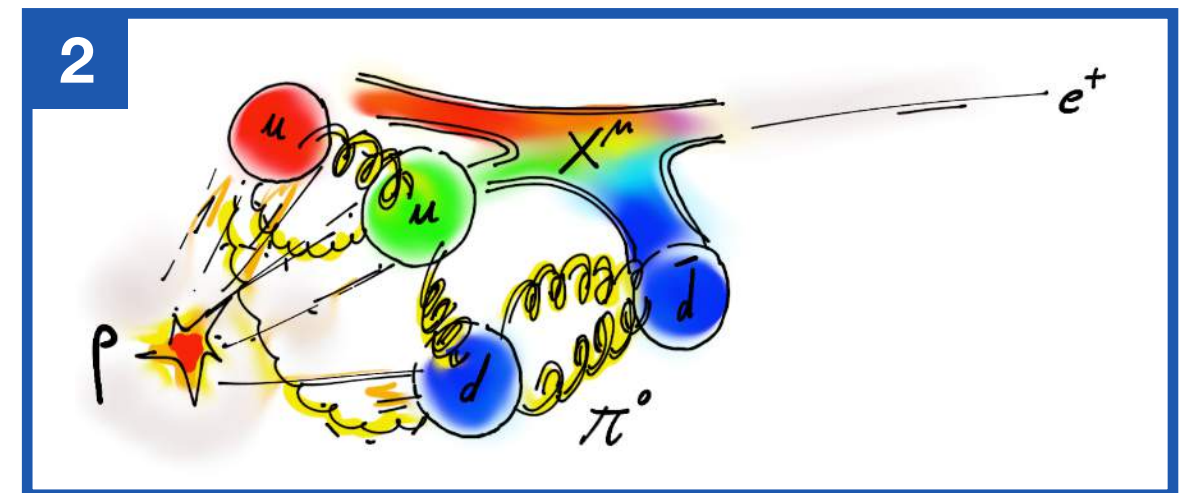
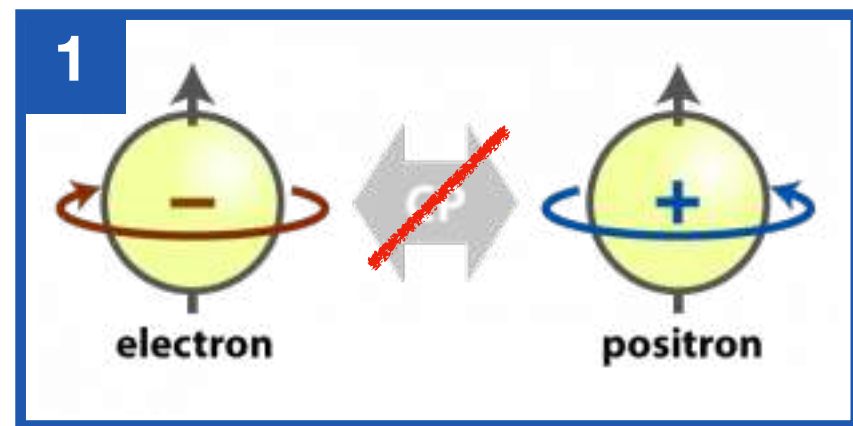
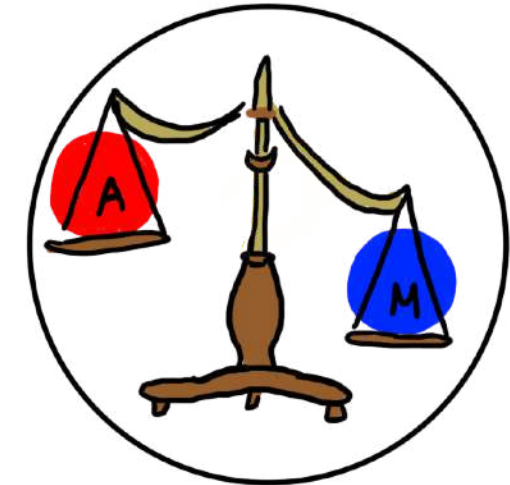
# Y la antimateria?

## Condiciones de Sakharov

Uno: Violación de Carga conjugada - Paridad (CP)

Dos: Violación del número bariónico

Tres: Salida del equilibrio térmico



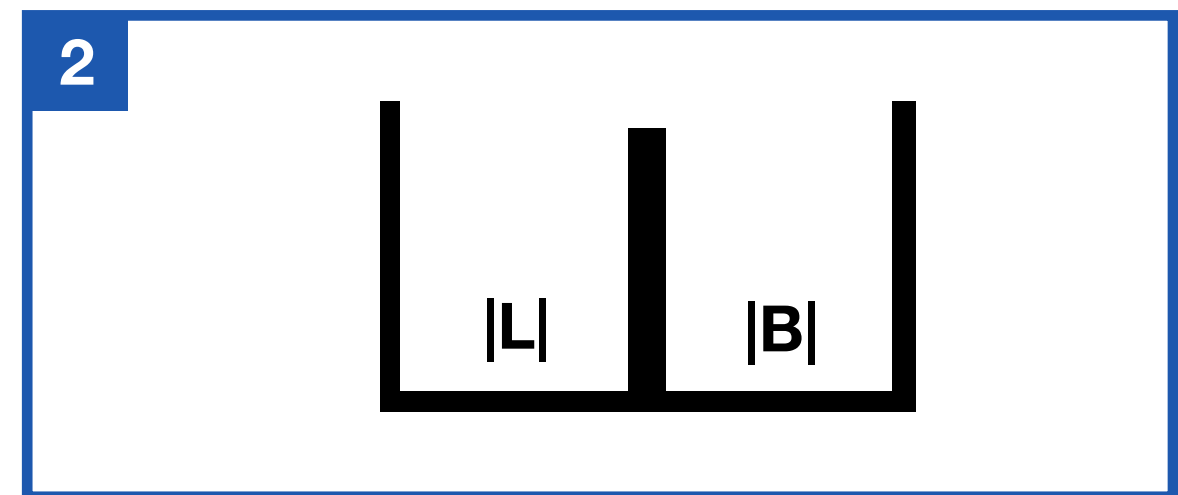
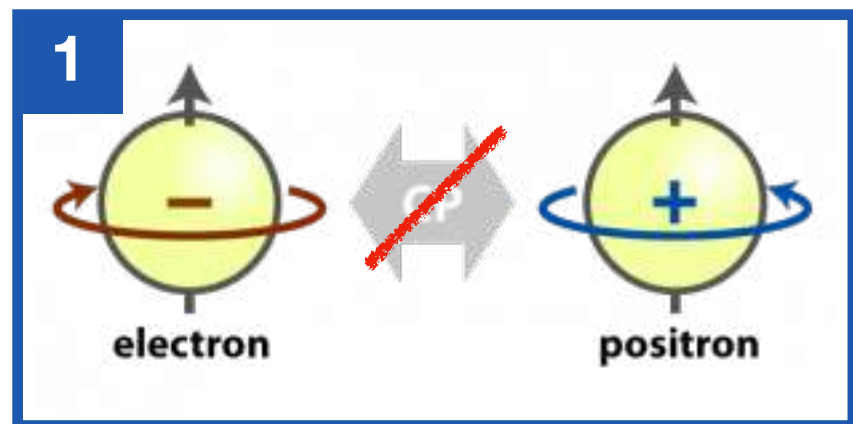
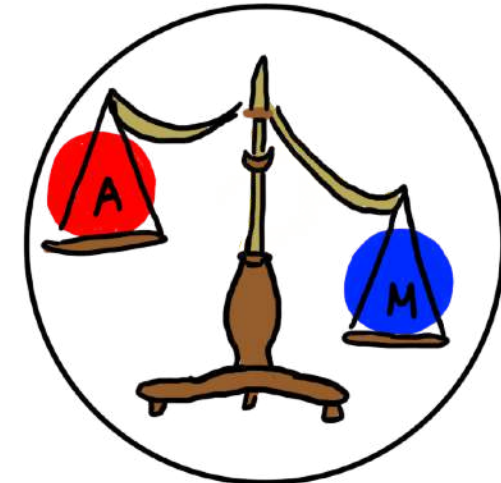
# Y la antimateria?

## Condiciones de Sakharov

**Uno:** Violación de Carga conjugada - Paridad (CP)

**Dos:** Violación del número bariónico

**Tres:** Salida del equilibrio térmico



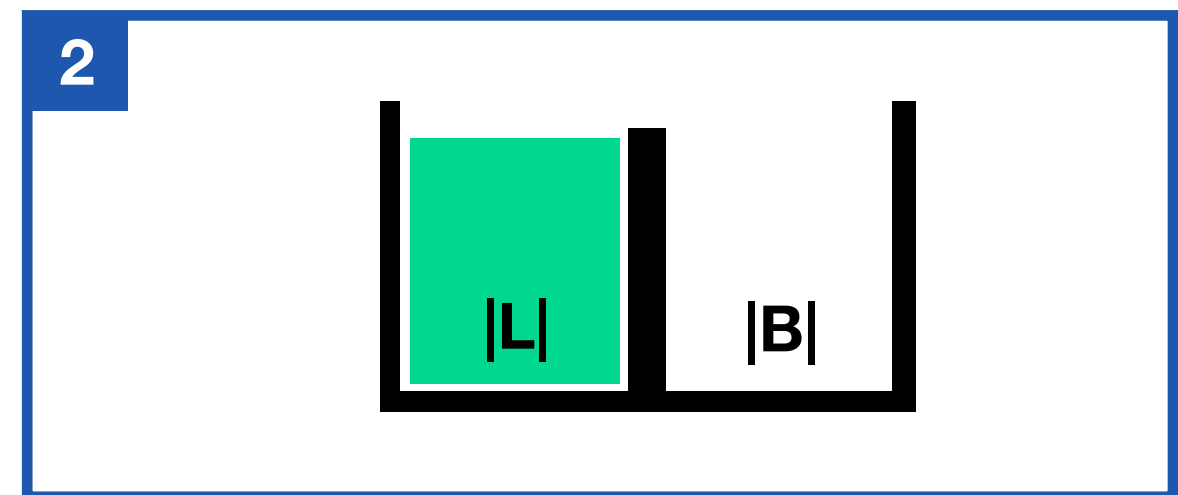
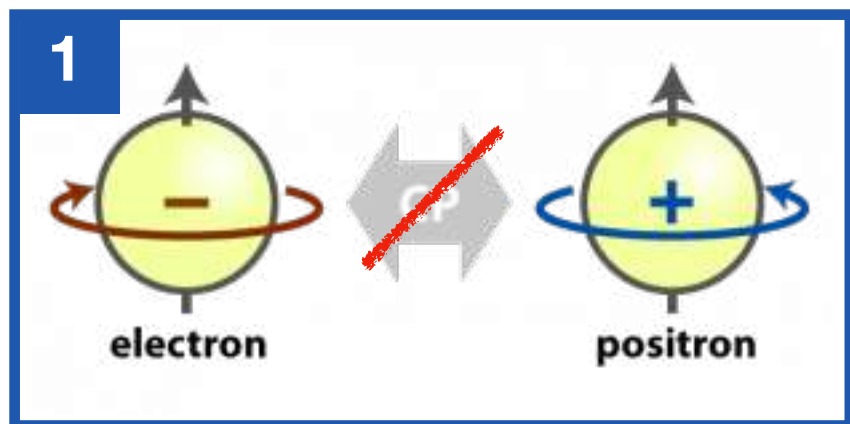
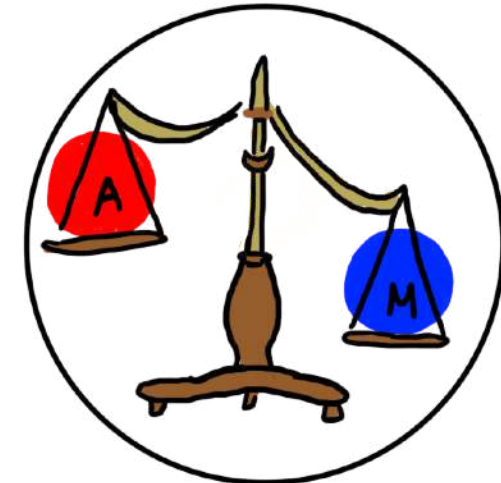
# Y la antimateria?

## Condiciones de Sakharov

Uno: Violación de Carga conjugada - Paridad (CP)

Dos: Violación del número bariónico

Tres: Salida del equilibrio térmico



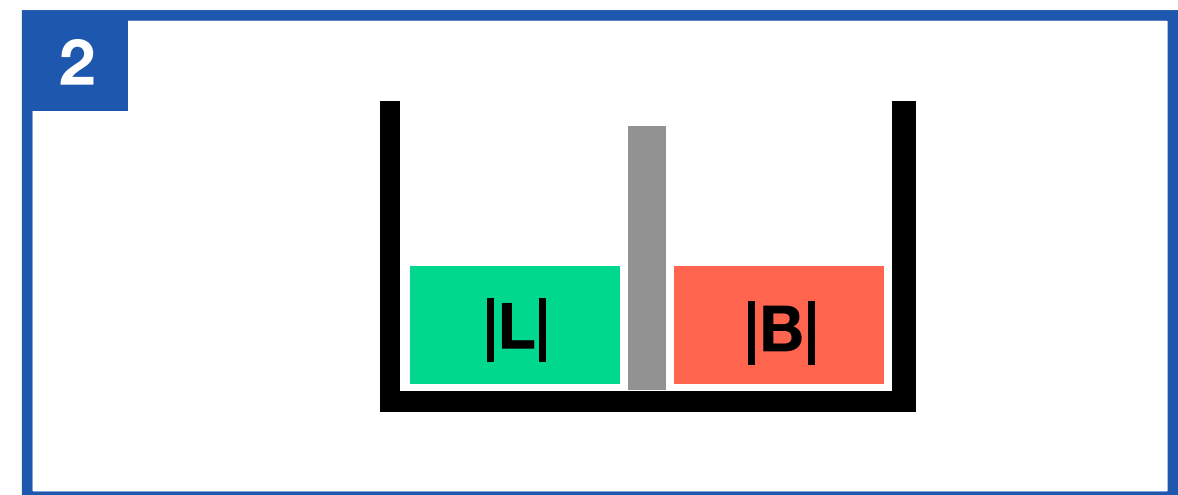
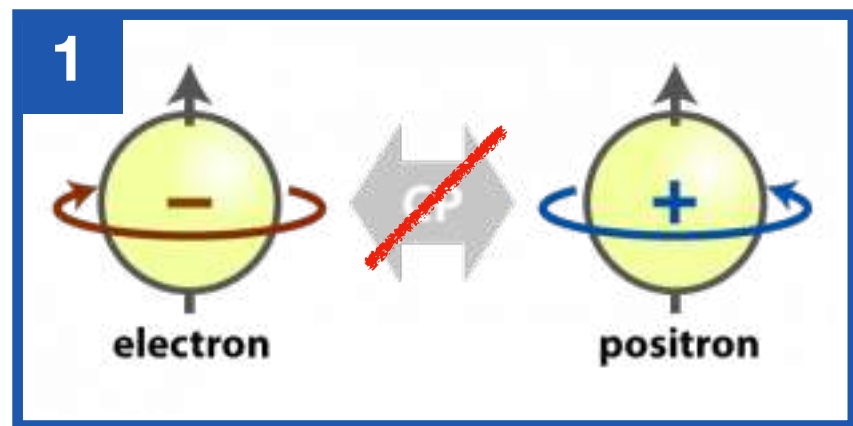
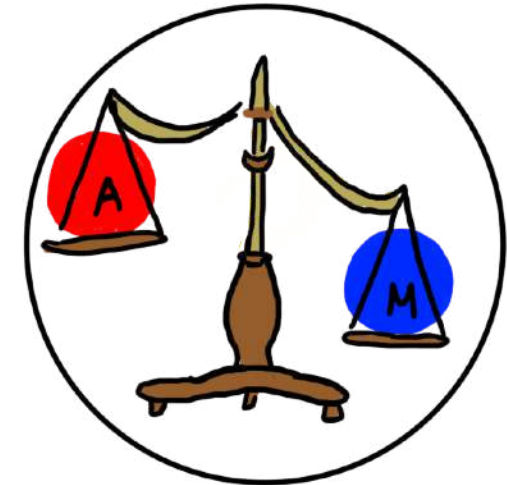
# Y la antimateria?

## Condiciones de Sakharov

**Uno:** Violación de Carga conjugada - Paridad (CP)

**Dos:** Violación del número bariónico

**Tres:** Salida del equilibrio térmico



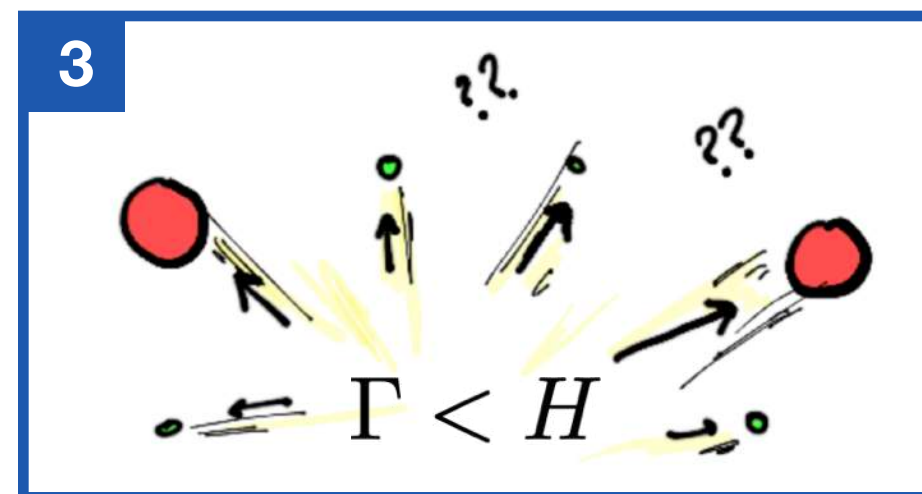
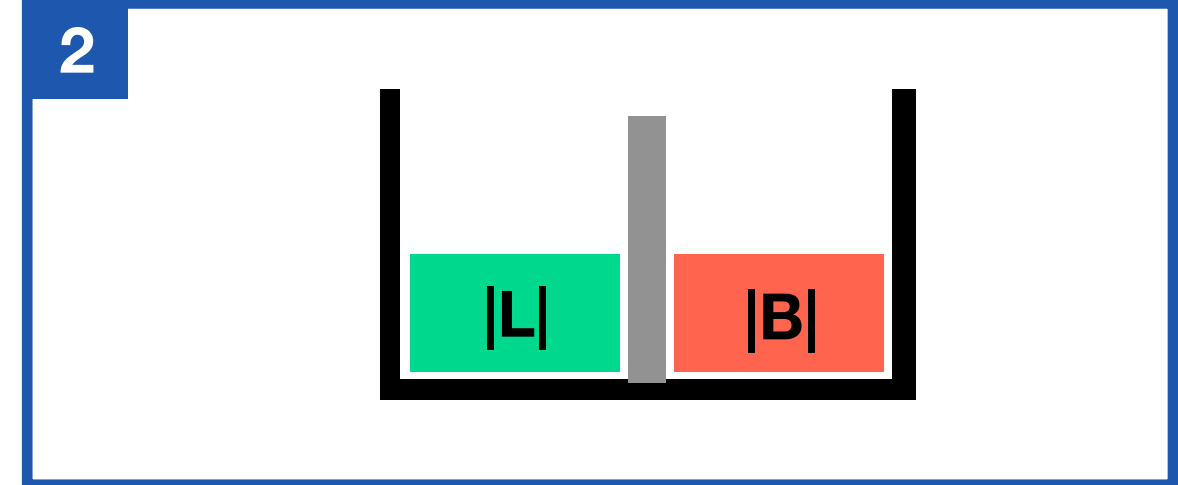
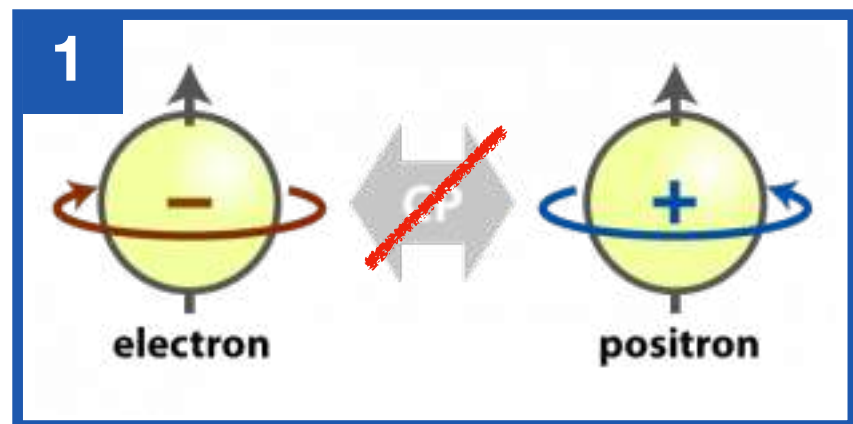
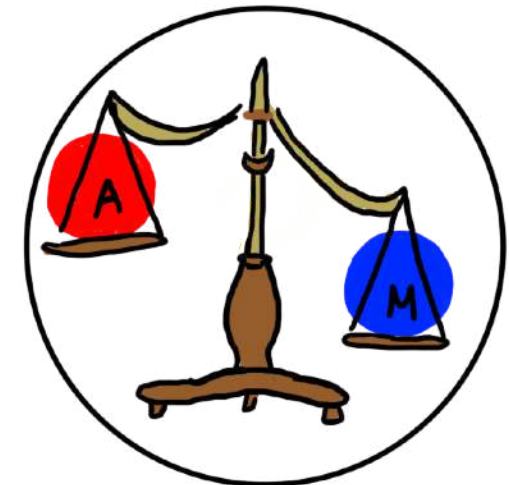
# Y la antimateria?

## Condiciones de Sakharov

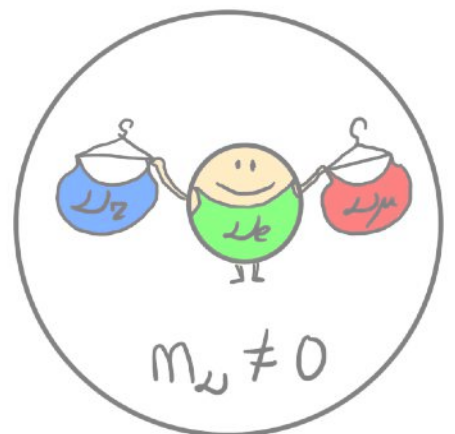
Uno: Violación de Carga conjugada - Paridad (CP)

Dos: Violación del número bariónico

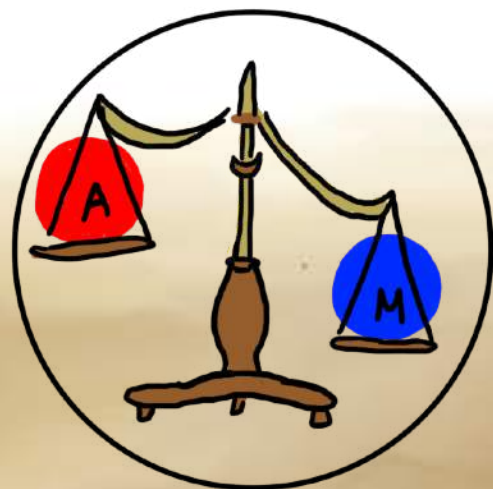
Tres: Salida del equilibrio térmico



# Bariogénesis



$$m_\omega \neq 0$$



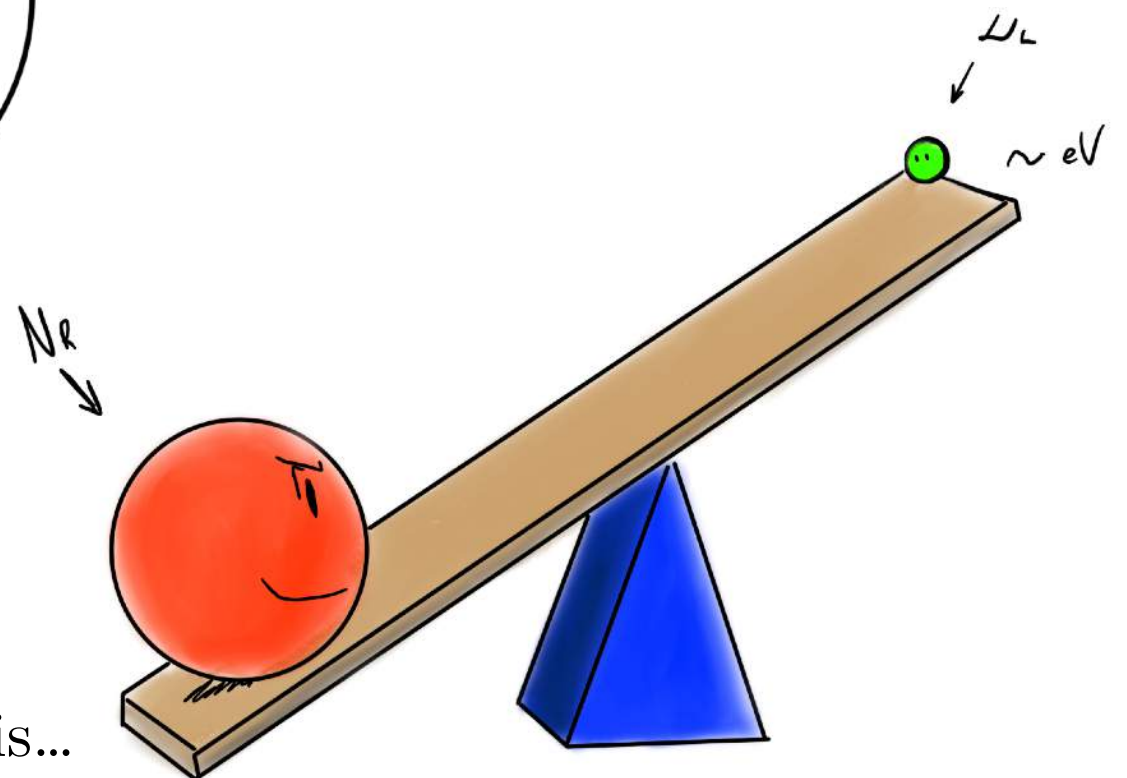
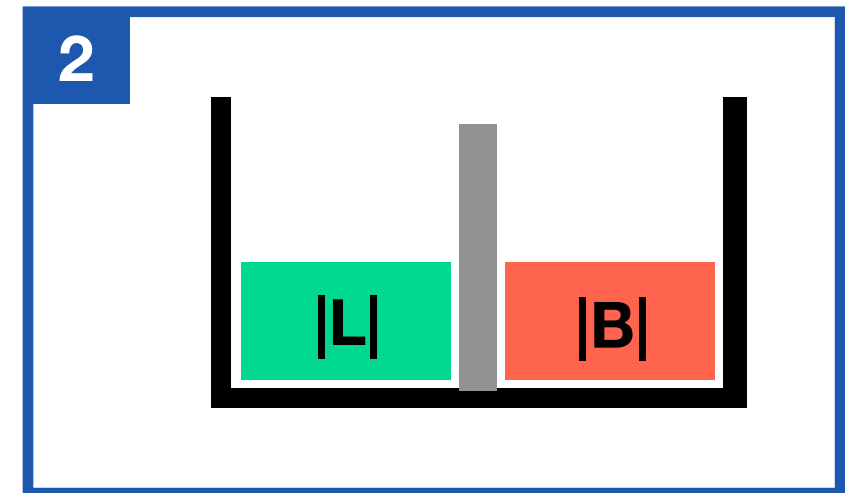
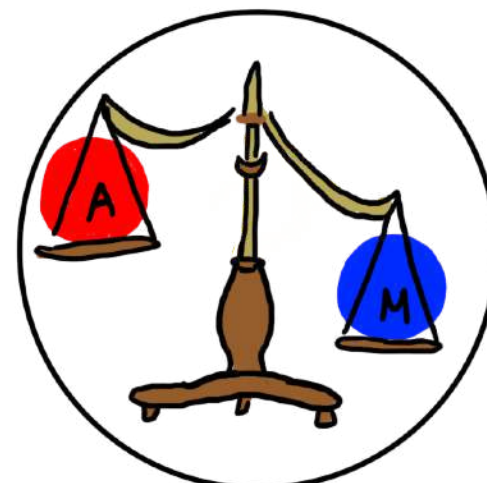
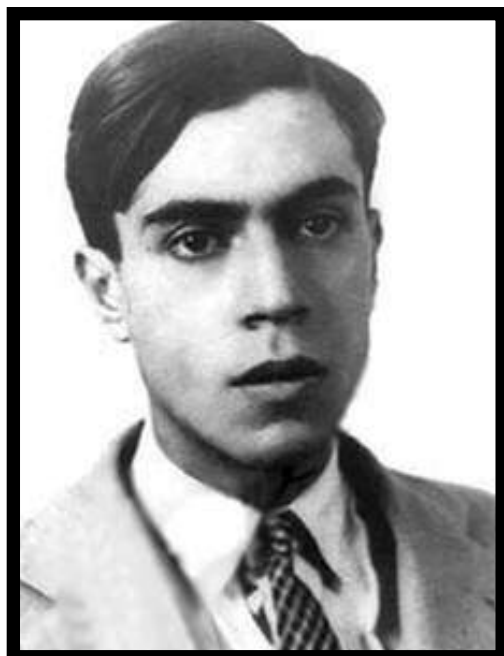
# Bariogénesis via Leptogenesis

## Condiciones de Sakharov

**Uno:** Violación de Carga conjugada - Paridad (CP)

**Dos:** Violación del número bariónico

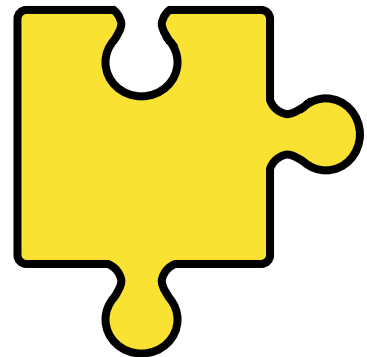
**Tres:** Salida del equilibrio



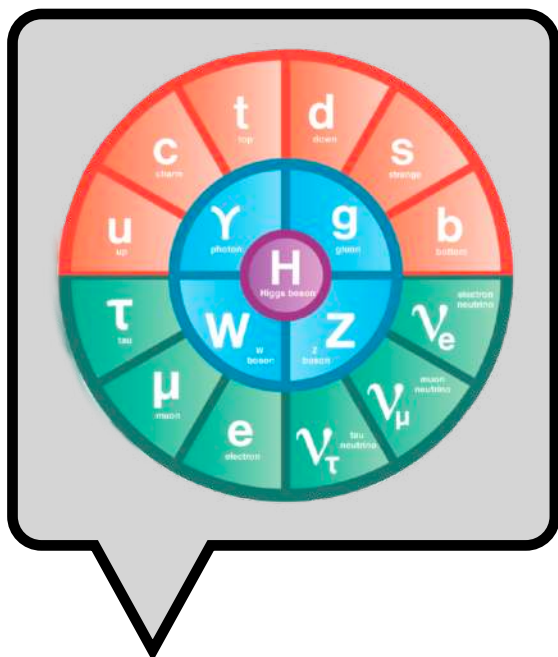
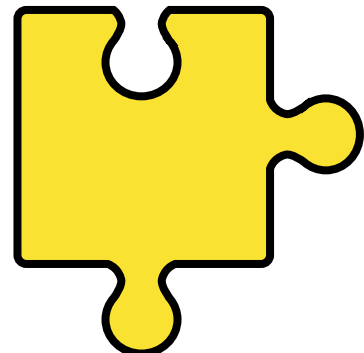
$$\nu = \bar{\nu} \quad \Delta L = 2$$

e.g. EW baryogenesis, Affleck-Dine, B-mesogenesis...

# Más “materia” de la que vemos!



# Más “materia” de la que vemos!



09:30

## El Modelo estándar y la física fundamental (I)

Speaker: Miguel Escudero Abenza (CERN)

11:30

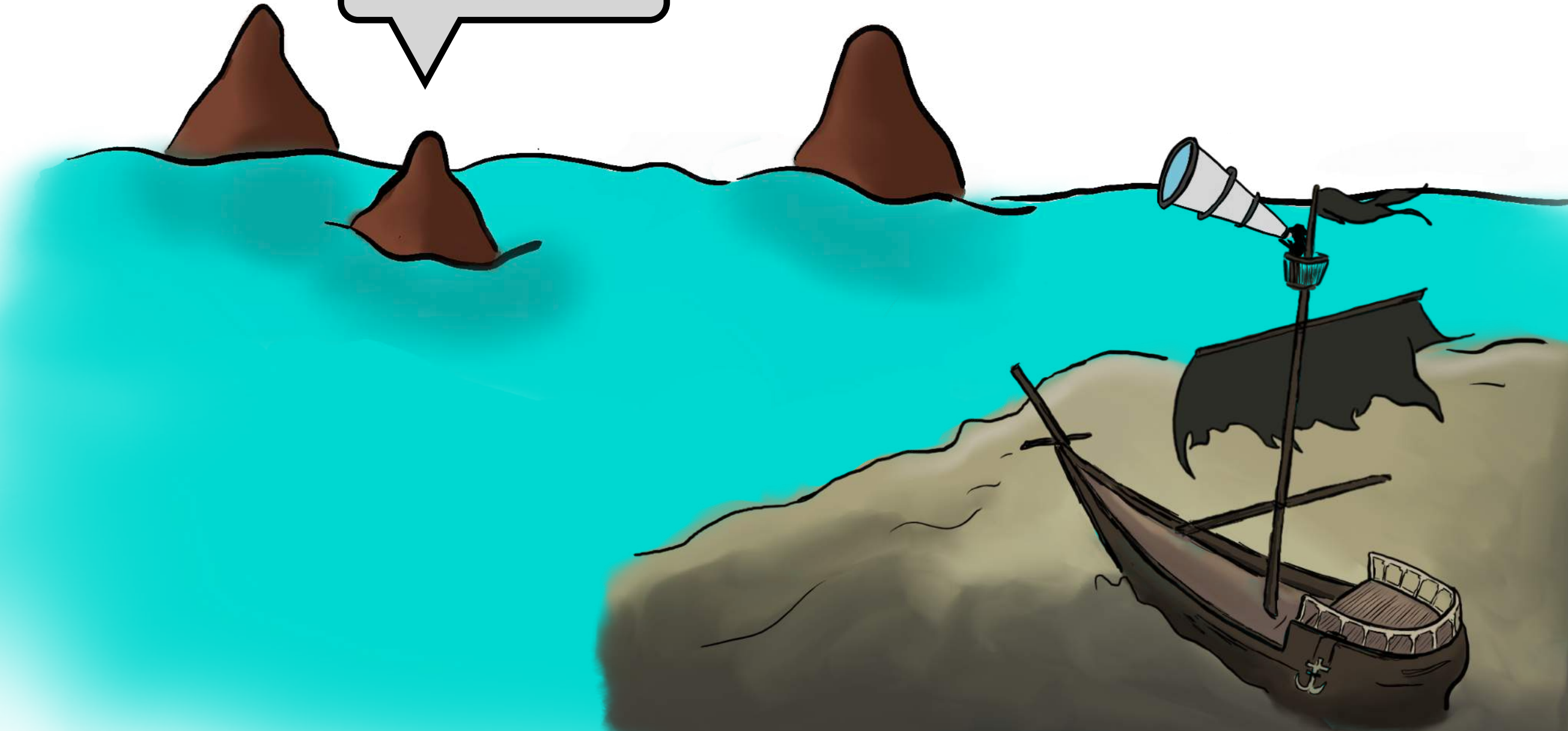
## Física experimental de partículas

Speaker: Sergi Rodriguez (CERN)

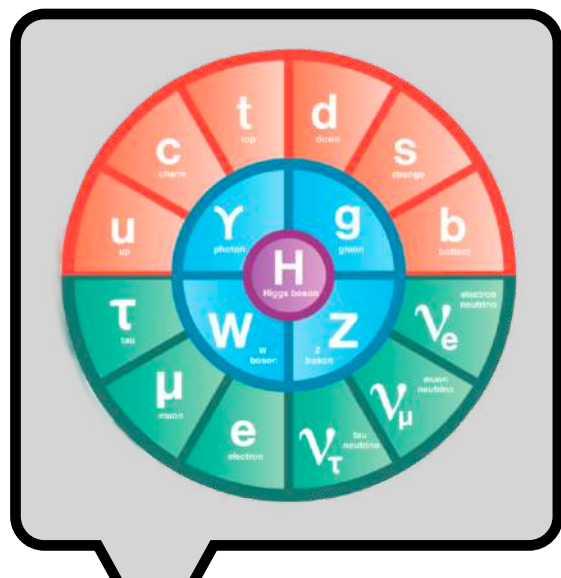
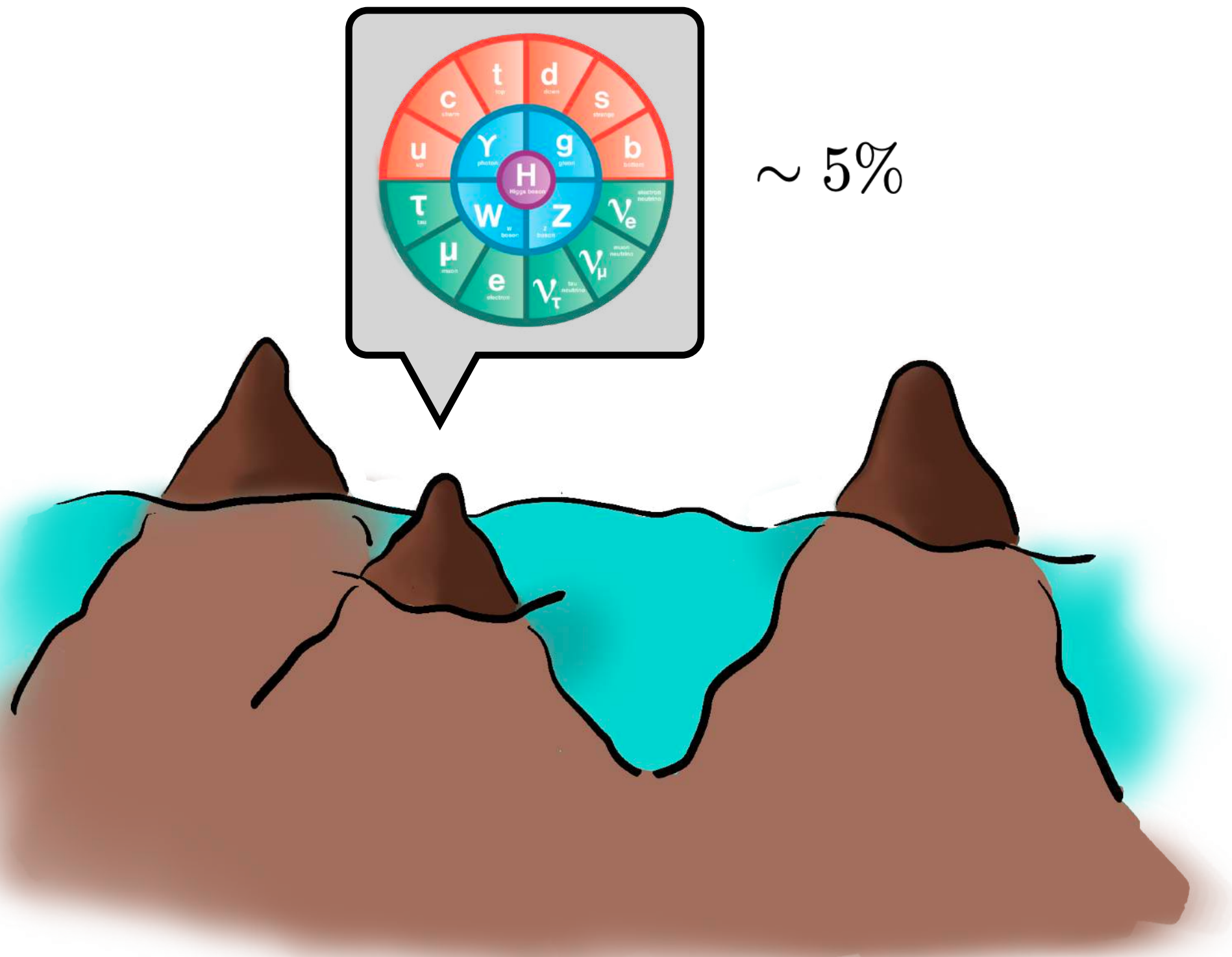
10:50

## El descubrimiento del bosón de Higgs

Speaker: Luis Roberto Flores Castillo (The Chinese University of Hong Kong (HK))



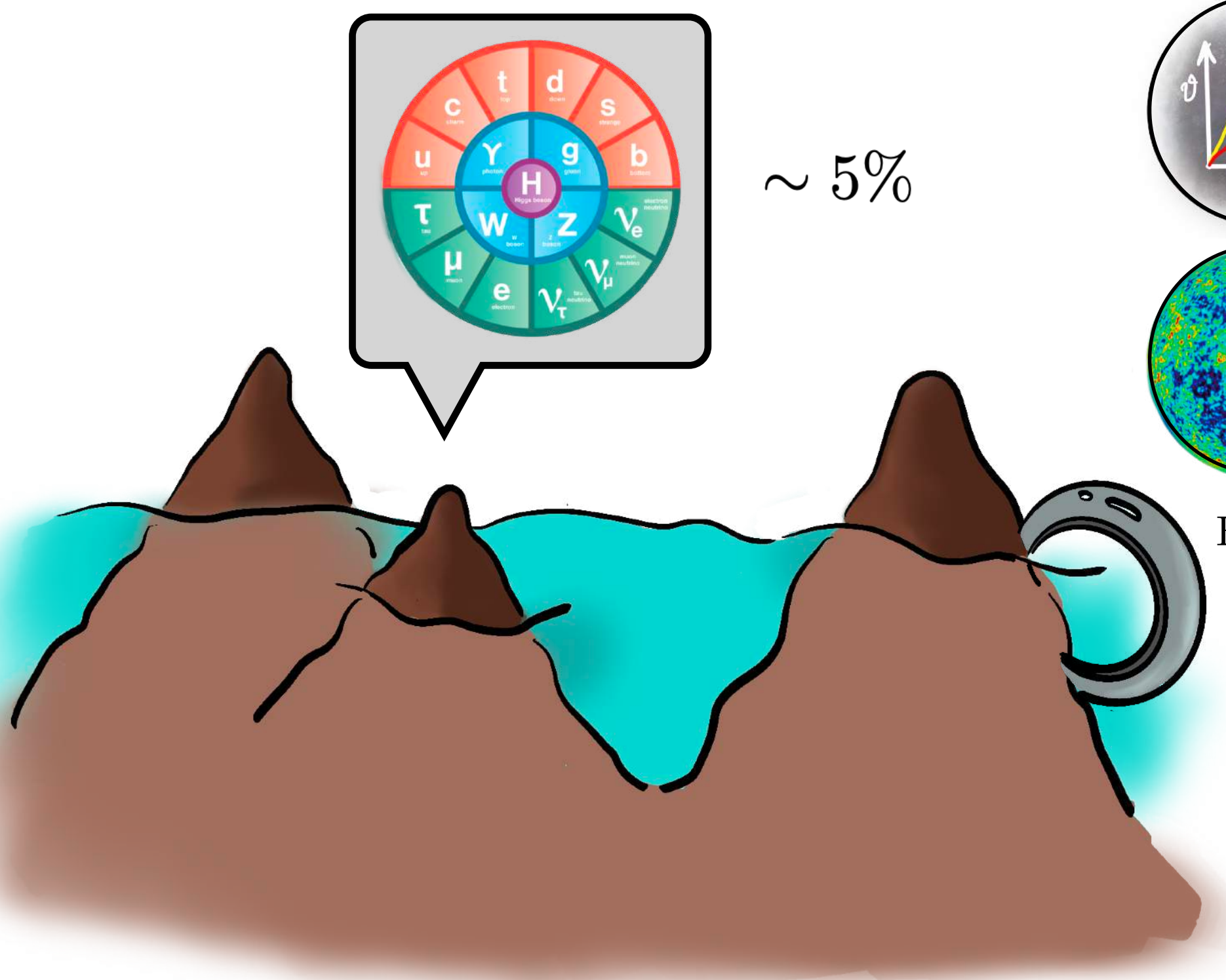
# Más “materia” de la que vemos!



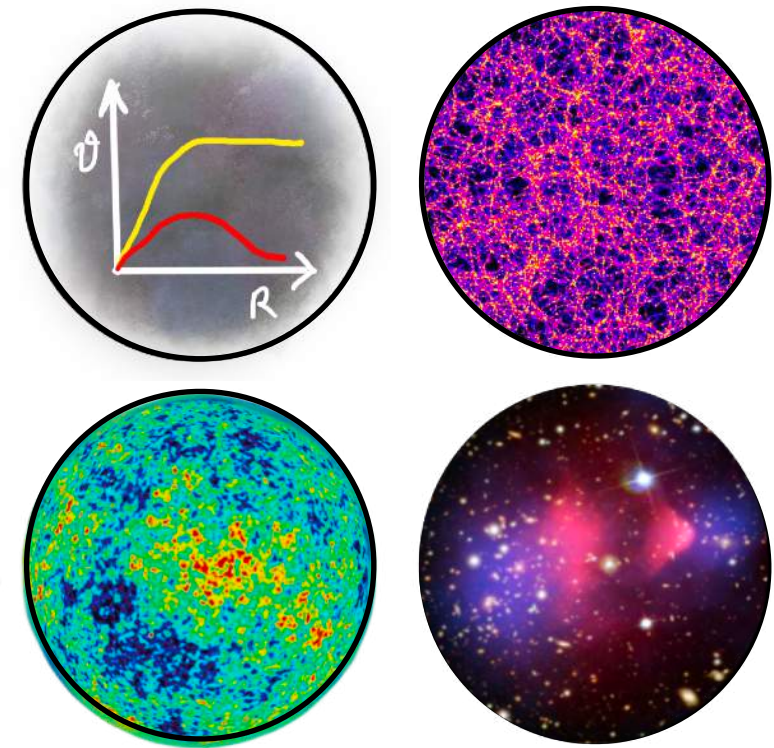
~ 5%

~ 25%

# Más “materia” de la que vemos!



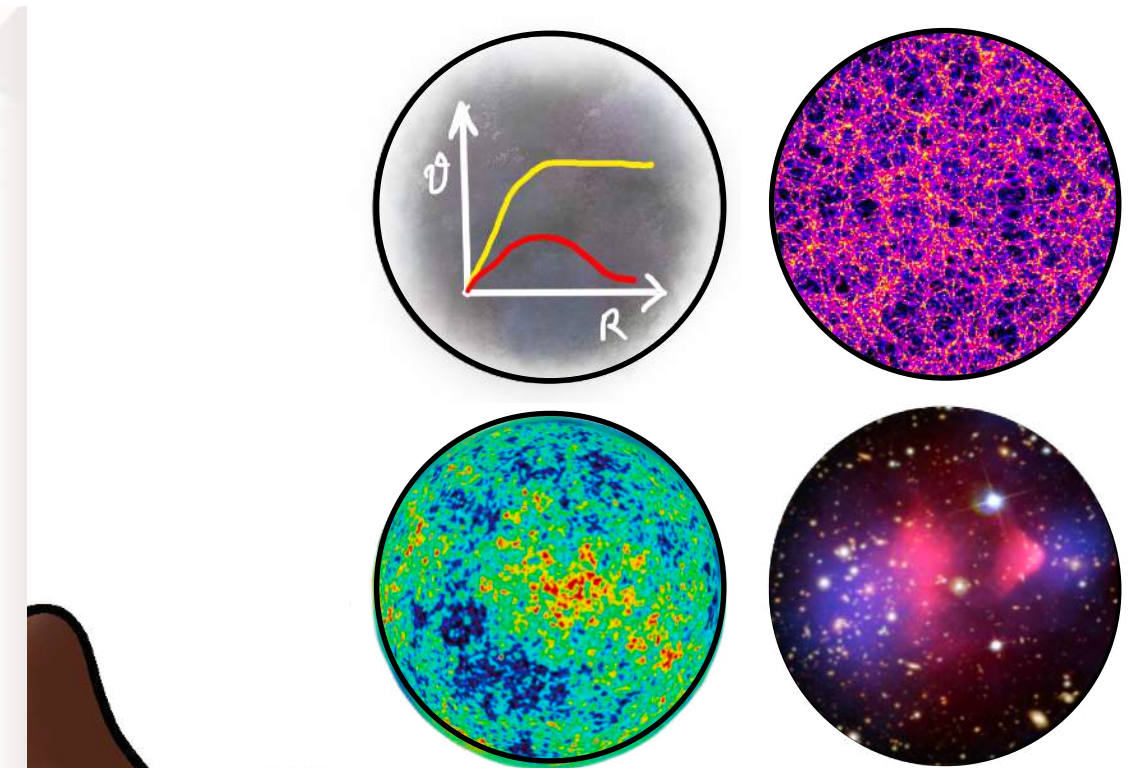
~ 5%



Evidencia gravitatoria

~ 25%

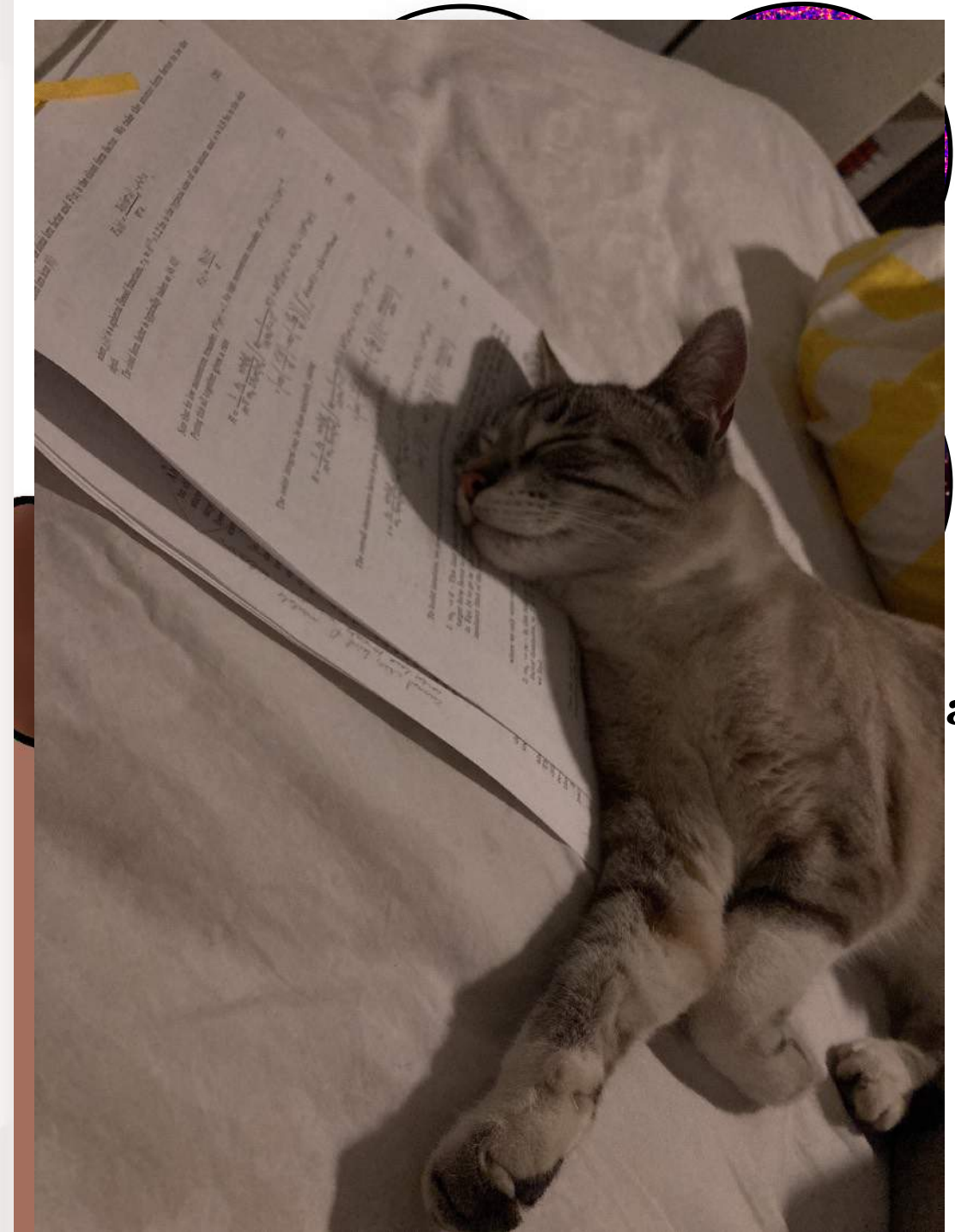
# Más “materia” de la que vemos!



Evidencia gravitatoria

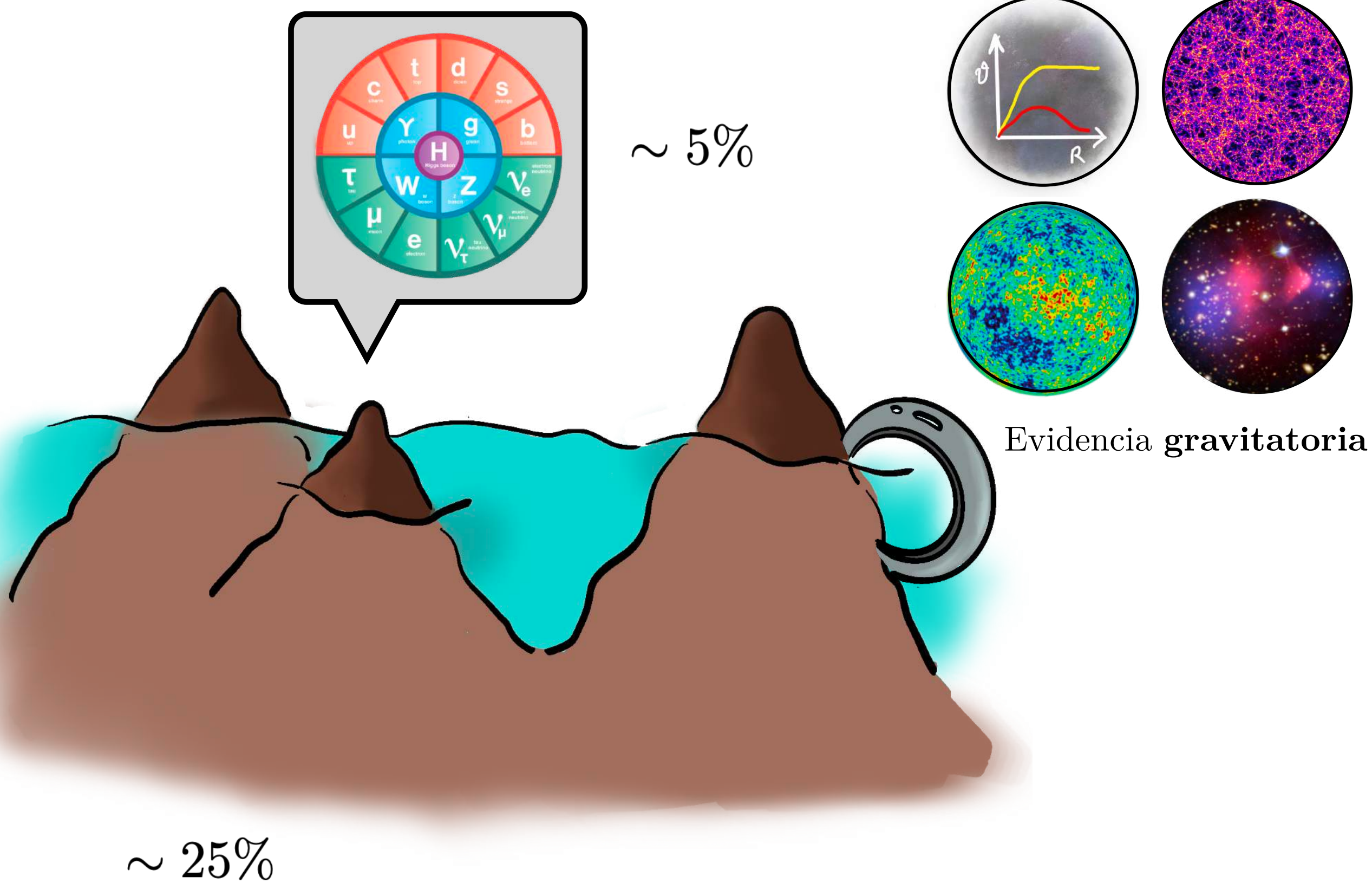
~ 25%

# Más “materia” de la que vemos!

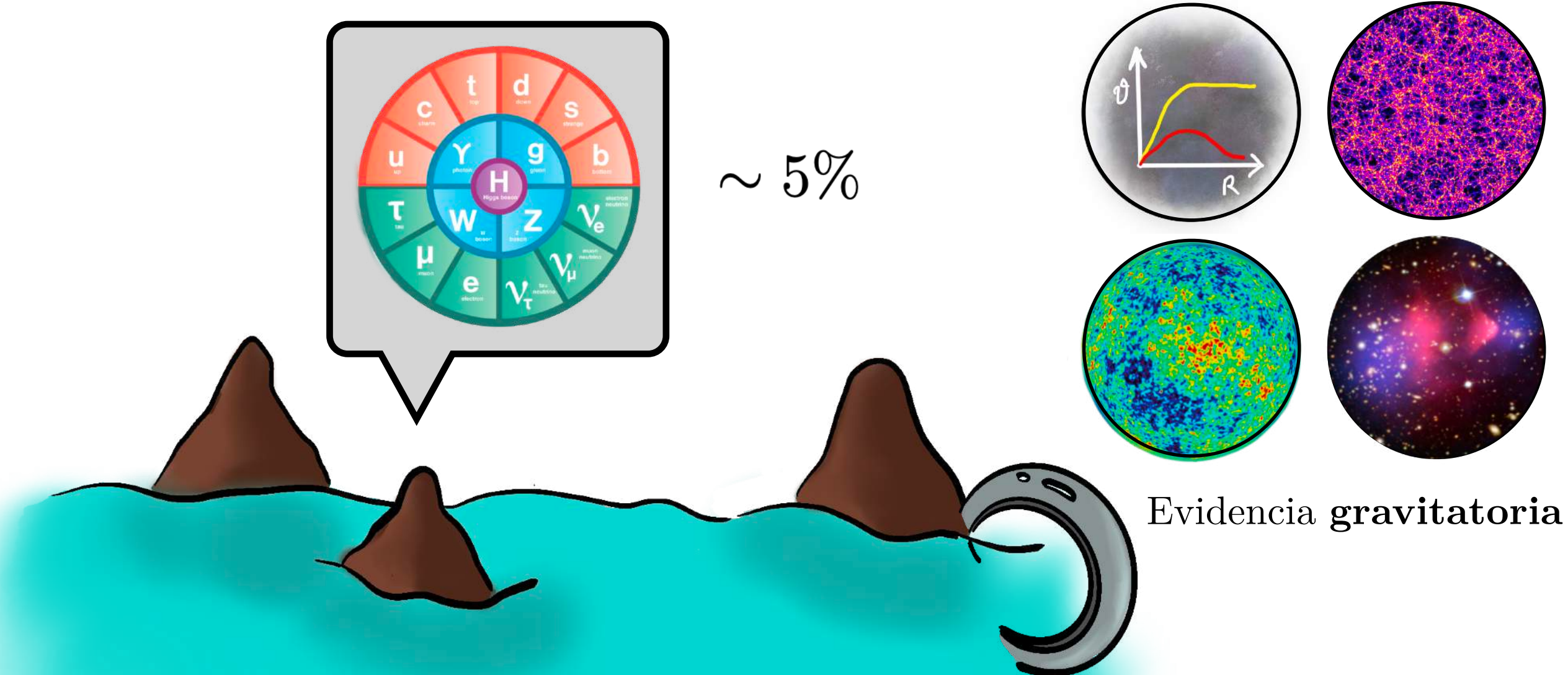


~ 25%

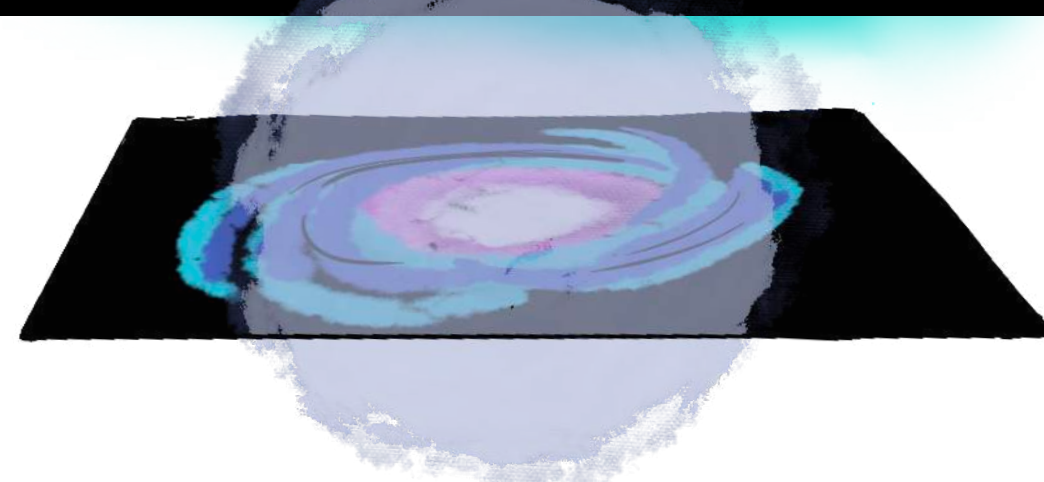
# Más “materia” de la que vemos!



# Más “materia” de la que vemos!

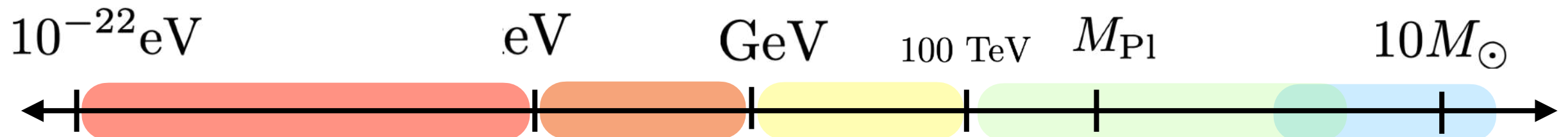
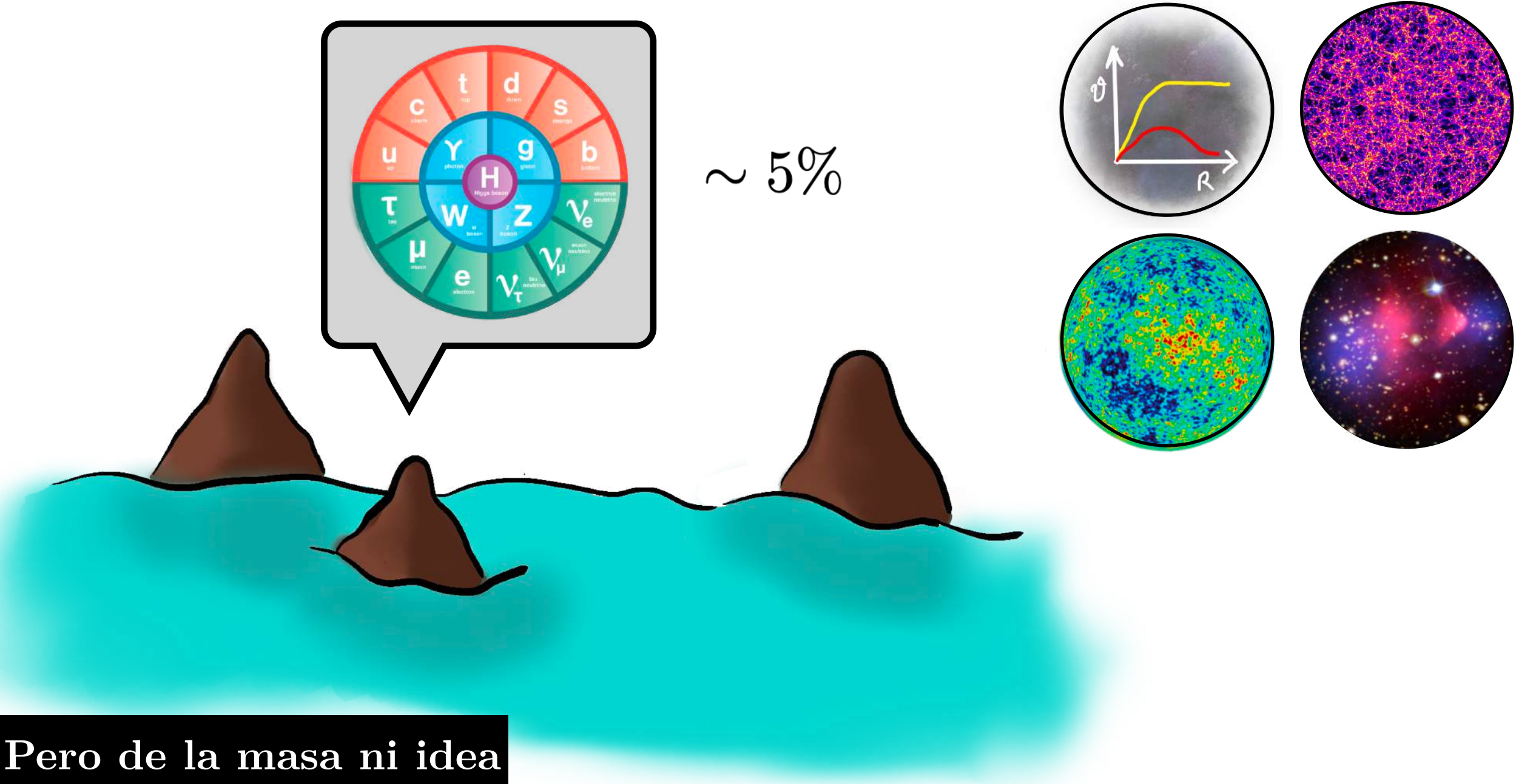


Sabemos muy poco... pero para lo poco sabemos, sabemos bastante

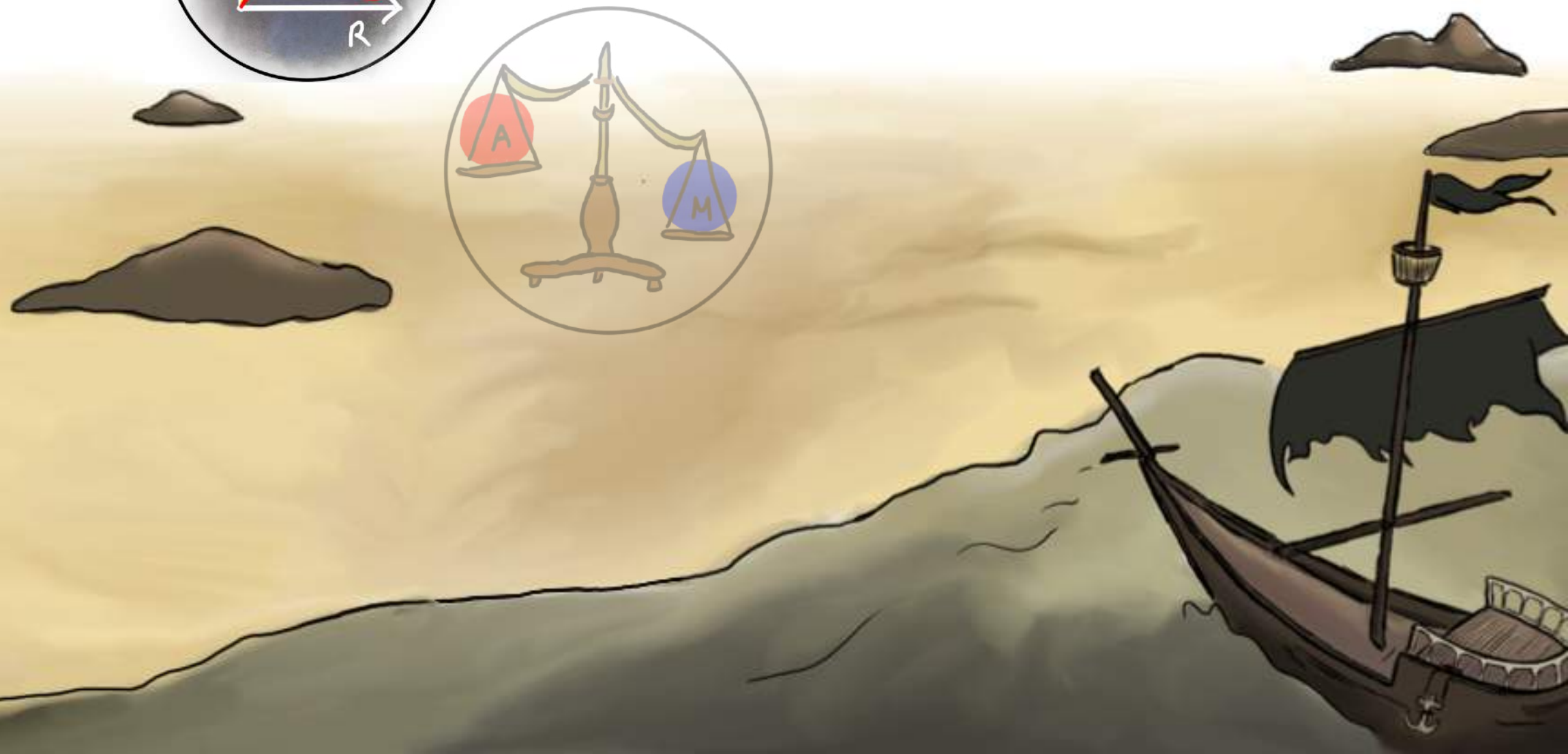
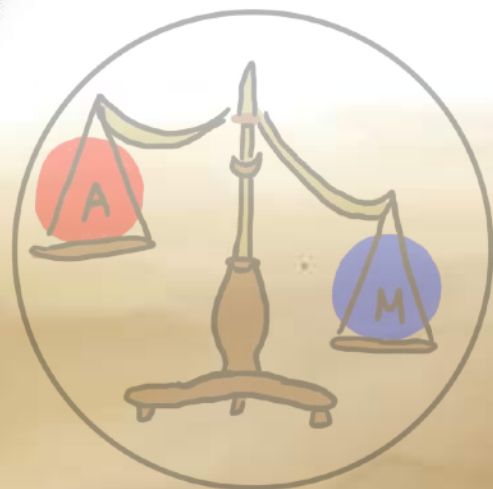
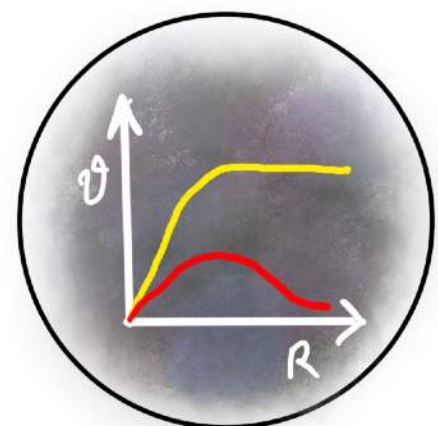


$$\Omega_{\text{DM}} h^2 = 0.12$$

# Más “materia” de la que vemos!

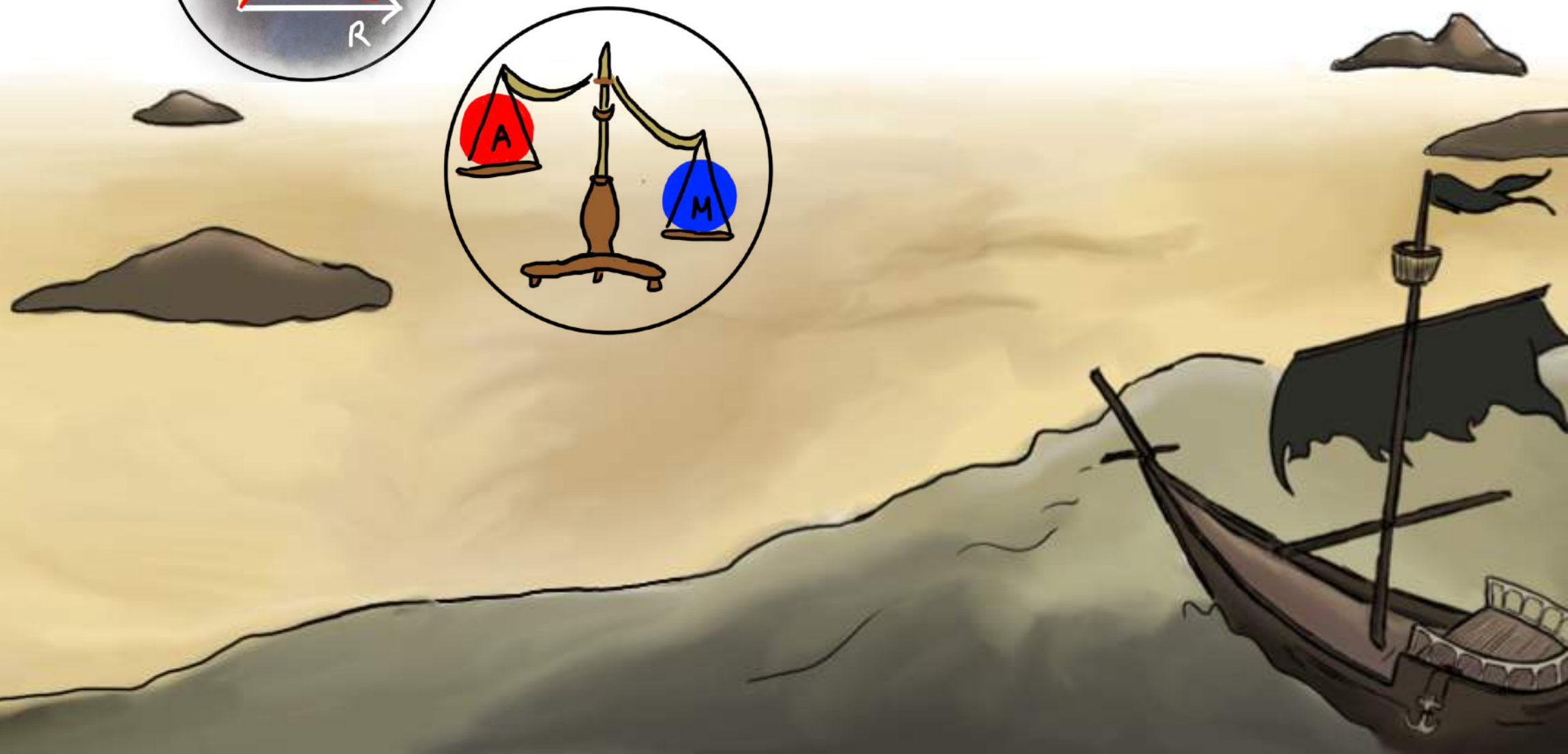
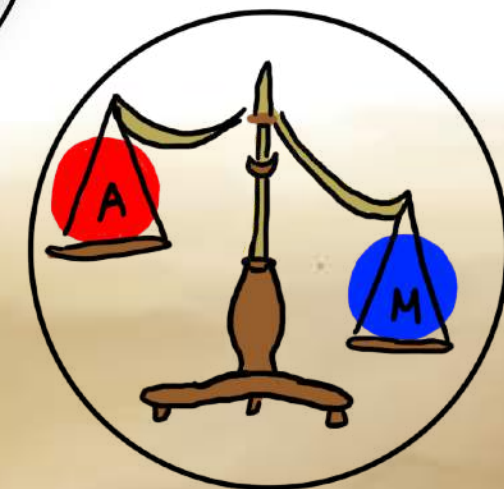
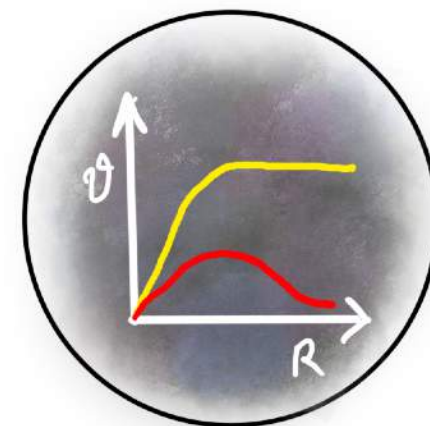
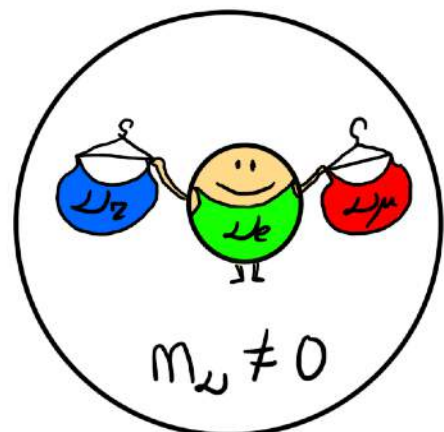


# La materia oscura



# Más allá del modelo estandar

## EVIDENCIAS



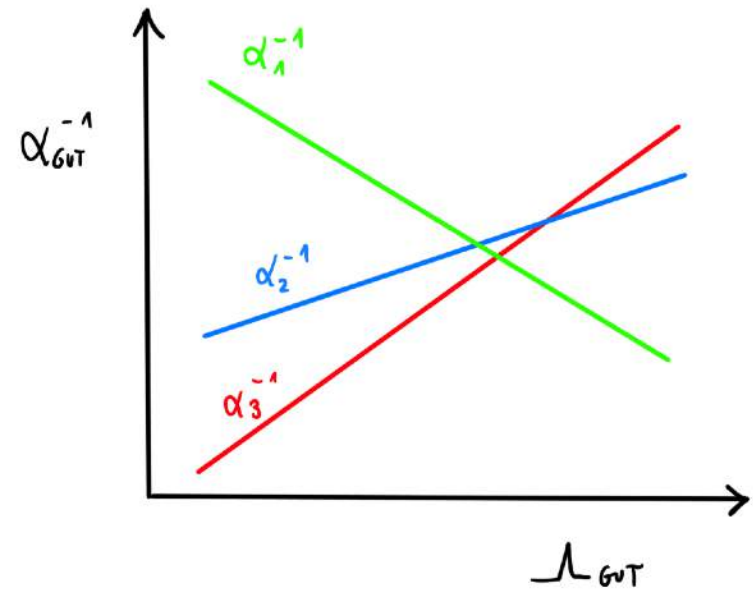
# Más allá del modelo estandar

PISTAS



# Gran Unificación (GUT)

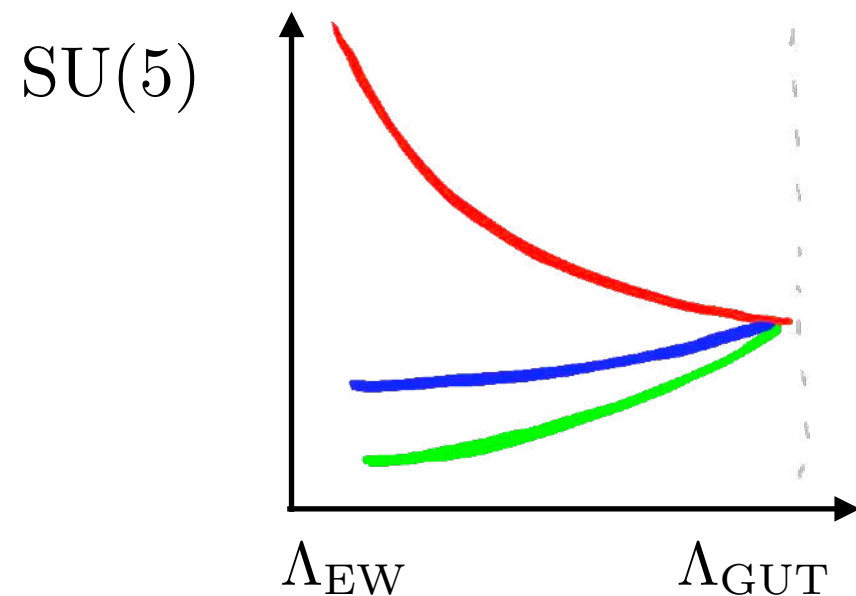
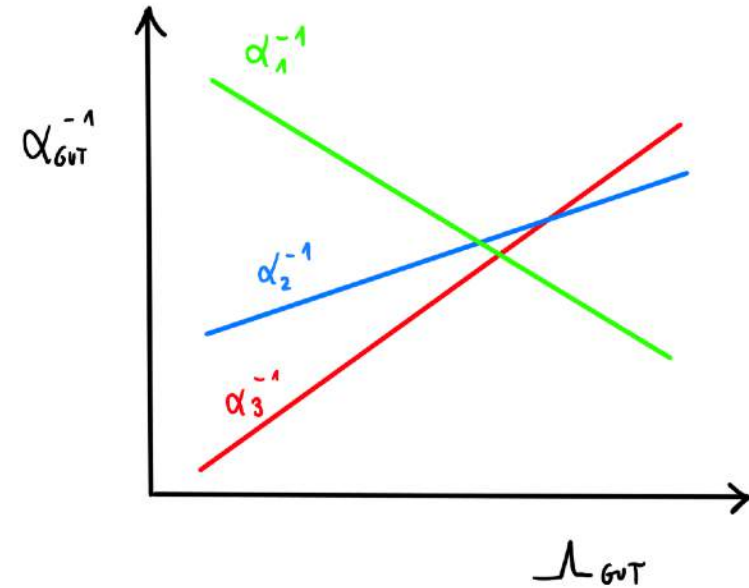
$$\text{SU}(3) \otimes \text{SU}(2) \otimes \text{U}(1)_Y$$



# Gran Unificación (GUT)

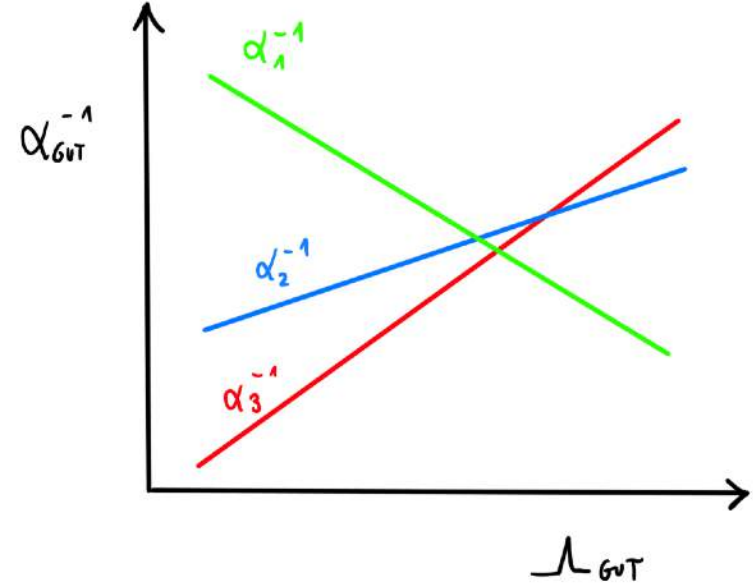
$$\text{SU}(3) \otimes \text{SU}(2) \otimes \text{U}(1)_Y$$

$$\text{SU}(5)$$

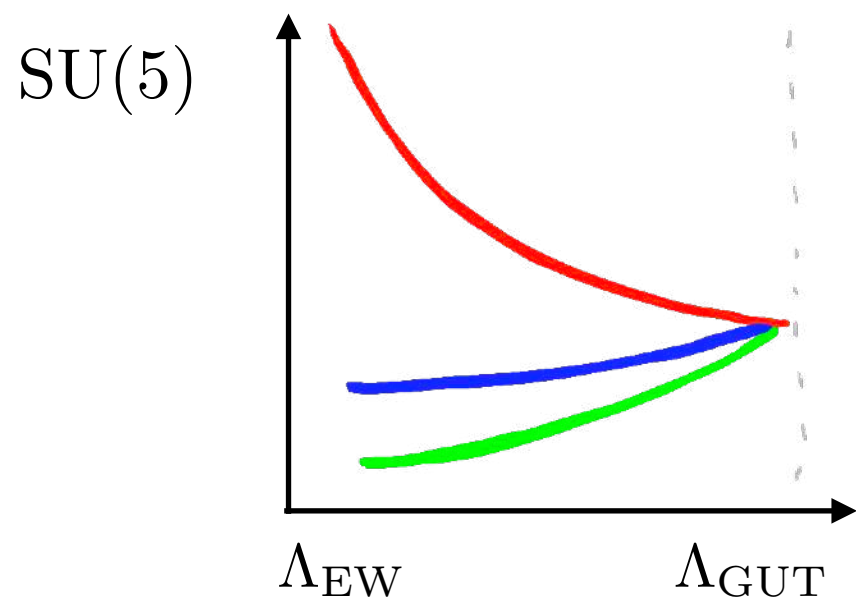


# Gran Unificación (GUT)

$$\boxed{\text{SU}(3) \otimes \text{SU}(2) \otimes \text{U}(1)_Y}$$
$$\boxed{\text{SU}(5)}$$

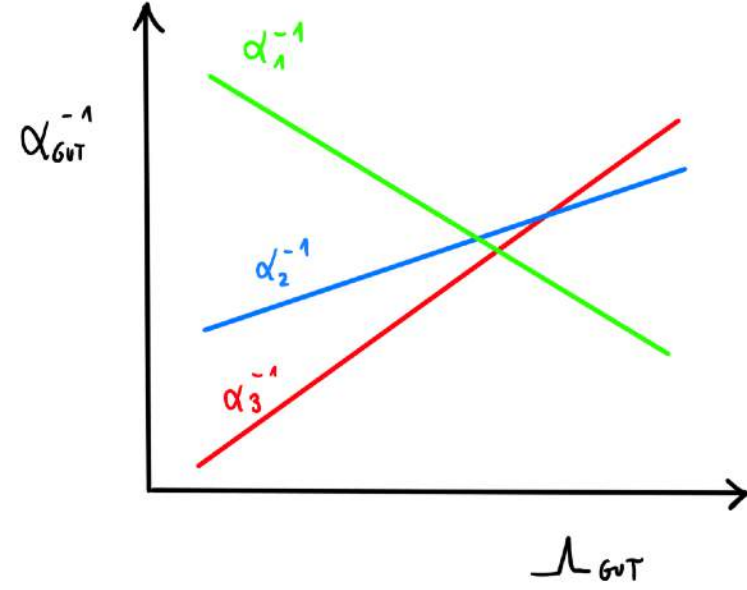


$$5 = \begin{pmatrix} (d_R)^c \\ L_L \end{pmatrix}, \quad 10 = \begin{pmatrix} (u_R)^c & Q_L \\ -Q_L^T & (e_R)^c \end{pmatrix}$$



# Gran Unificación (GUT)

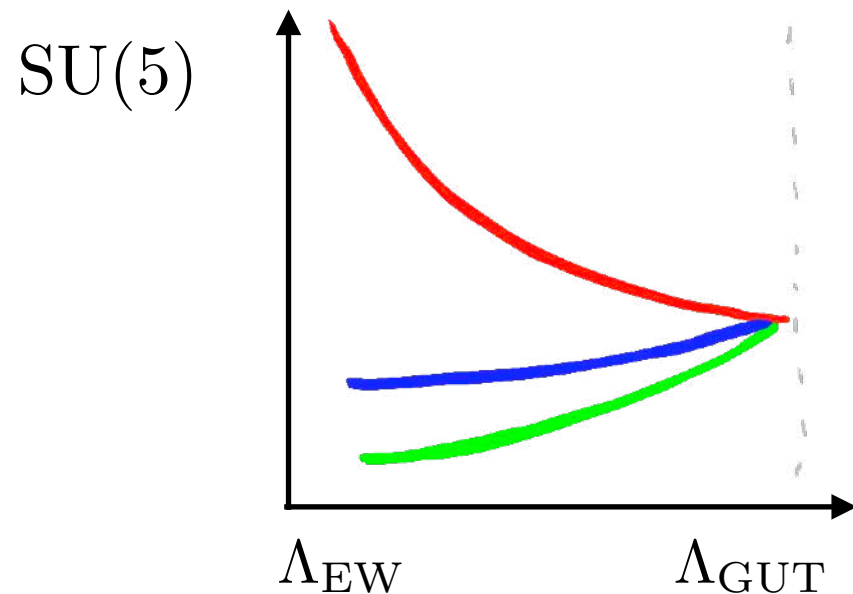
$$\boxed{\text{SU}(3) \otimes \text{SU}(2) \otimes \text{U}(1)_Y} \\ \boxed{\text{SU}(5)}$$



$$5 = \begin{pmatrix} (d_R)^c \\ L_L \end{pmatrix}, \quad 10 = \begin{pmatrix} (u_R)^c & Q_L \\ -Q_L^T & (e_R)^c \end{pmatrix}$$

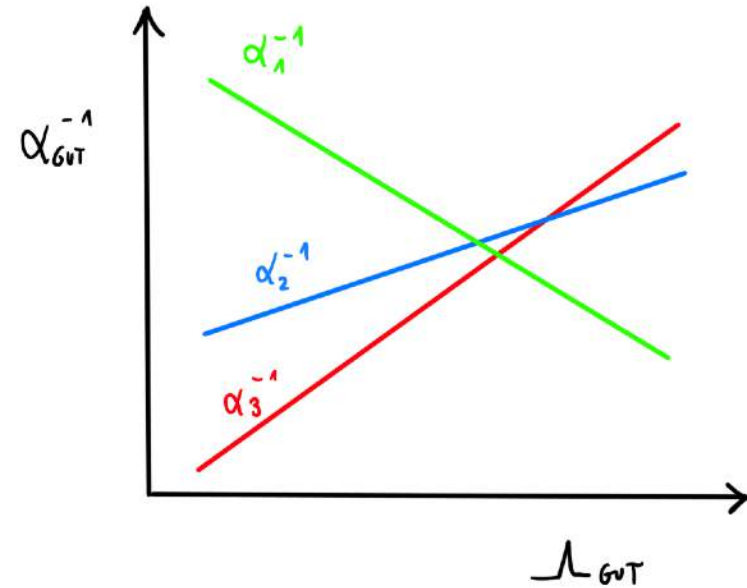


$$Q(p) + Q(e) = 0$$



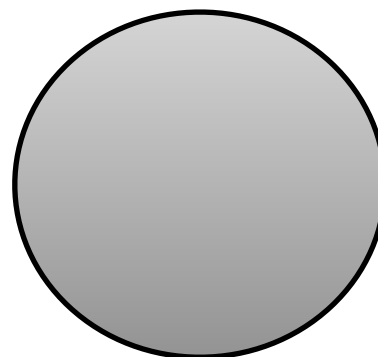
# Gran Unificación (GUT)

$$\boxed{\text{SU}(3) \otimes \text{SU}(2) \otimes \text{U}(1)_Y} \\ \boxed{\text{SU}(5)}$$

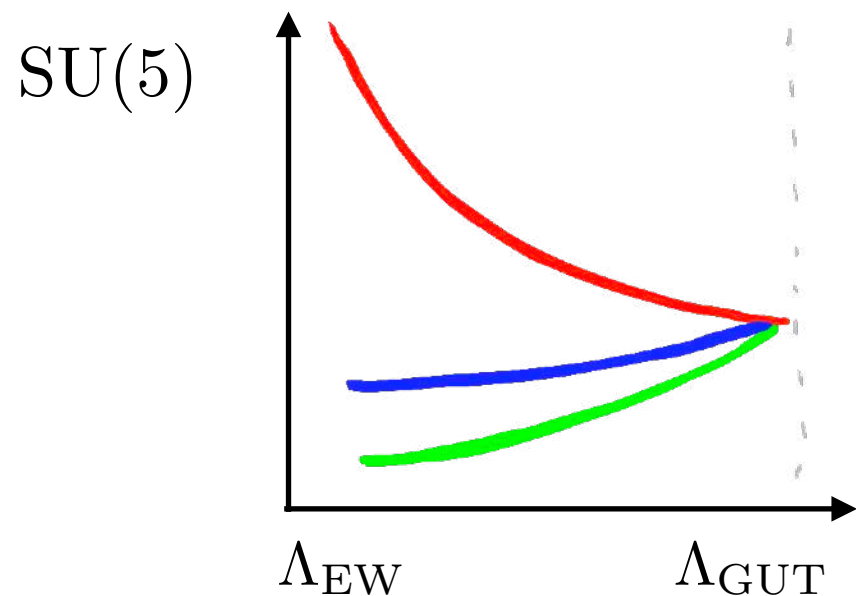


$$5 = \begin{pmatrix} (d_R)^c \\ L_L \end{pmatrix}, \quad 10 = \begin{pmatrix} (u_R)^c & Q_L \\ -Q_L^T & (e_R)^c \end{pmatrix}$$

El átomo de hidrógeno es neutro!

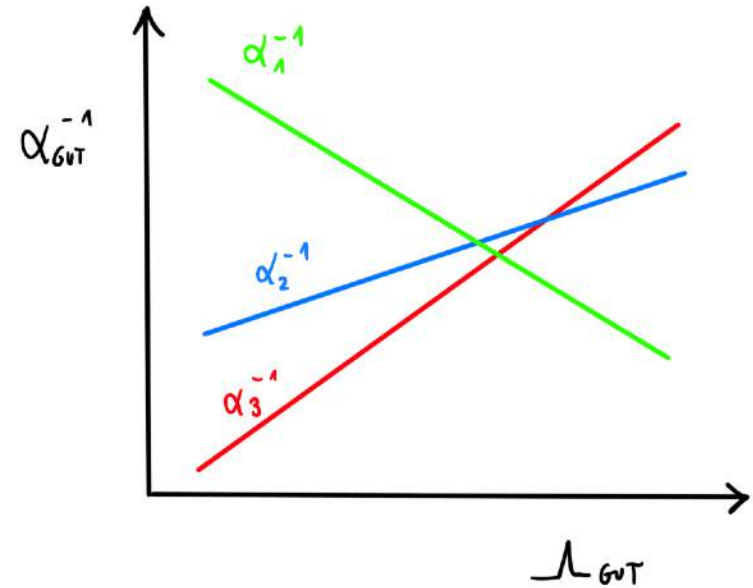


$$Q(p) + Q(e) = 0$$



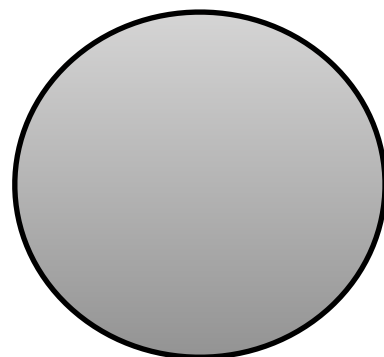
# Gran Unificación (GUT)

$$\boxed{\text{SU}(3) \otimes \text{SU}(2) \otimes \text{U}(1)_Y} \\ \boxed{\text{SU}(5)}$$

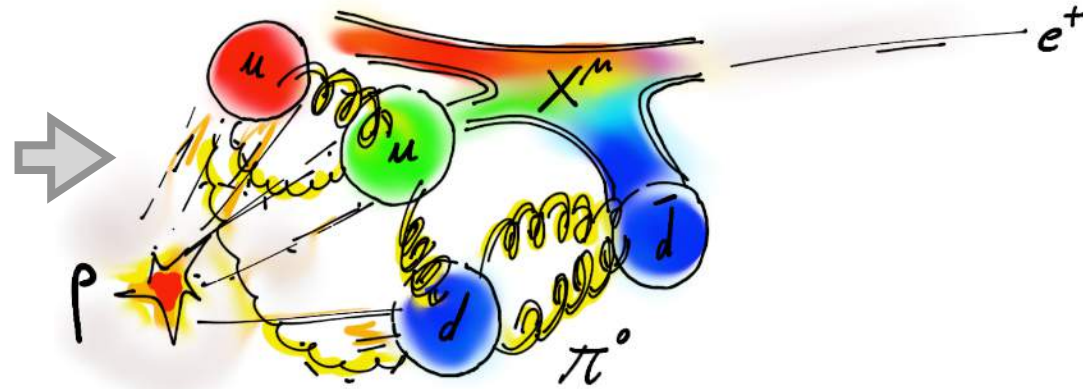
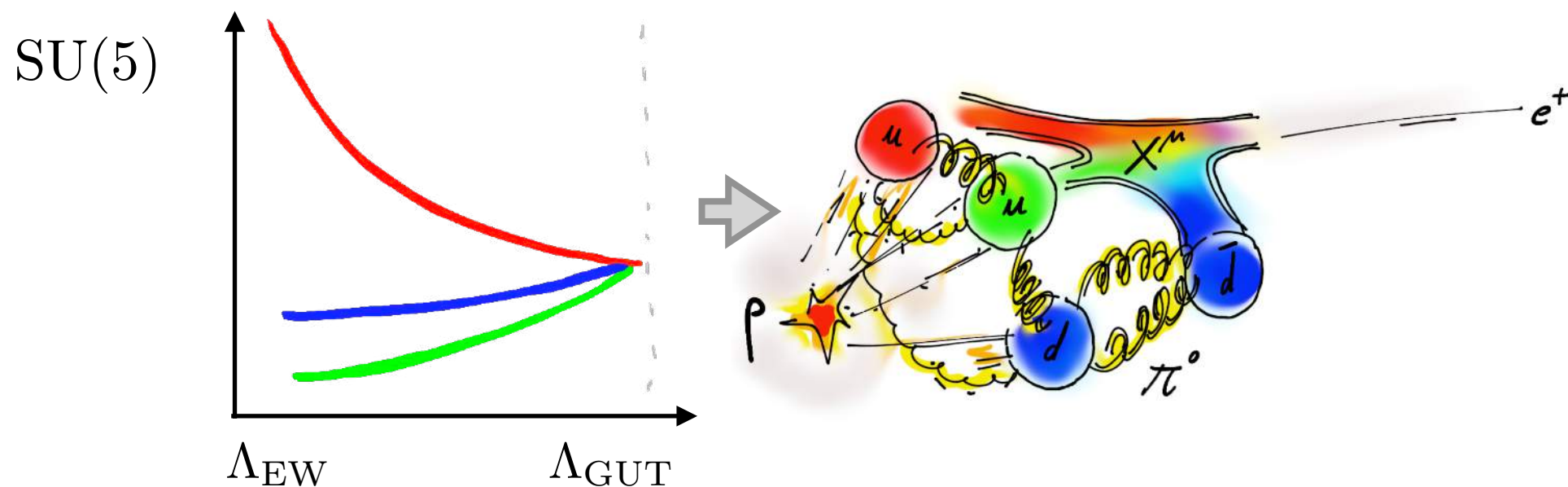


$$5 = \begin{pmatrix} (d_R)^c \\ L_L \end{pmatrix}, \quad 10 = \begin{pmatrix} (u_R)^c & Q_L \\ -Q_L^T & (e_R)^c \end{pmatrix}$$

El átomo de hidrógeno es neutro!

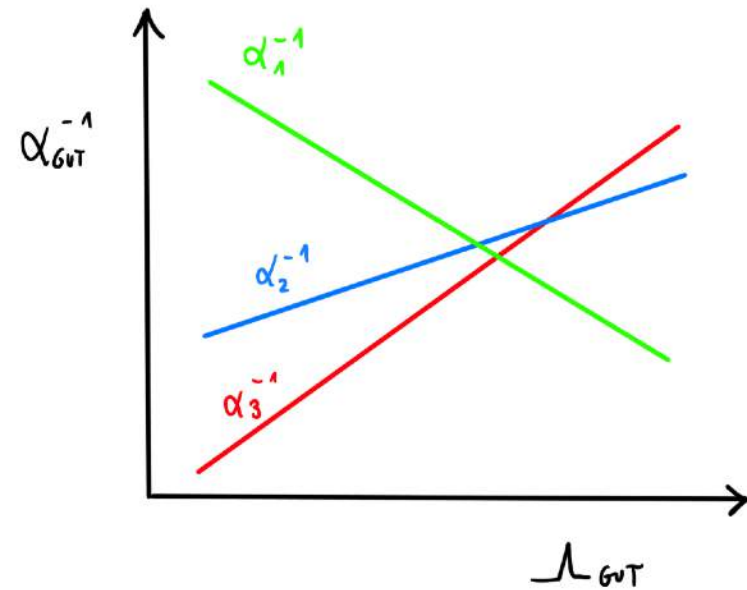


$$Q(p) + Q(e) = 0$$



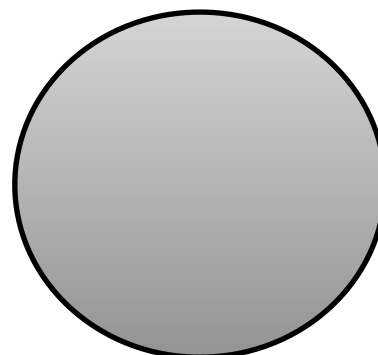
# Gran Unificación (GUT)

$$\begin{array}{c} \text{SU}(3) \otimes \text{SU}(2) \otimes \text{U}(1)_Y \\ \hline \text{SU}(5) \end{array}$$

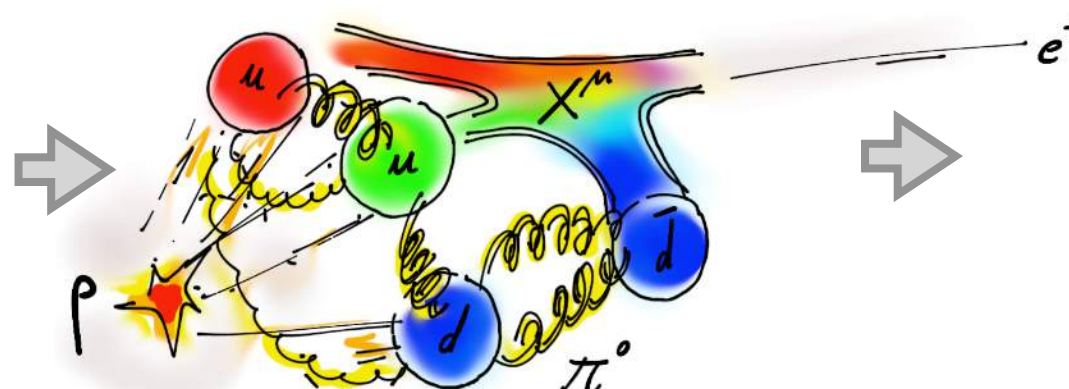
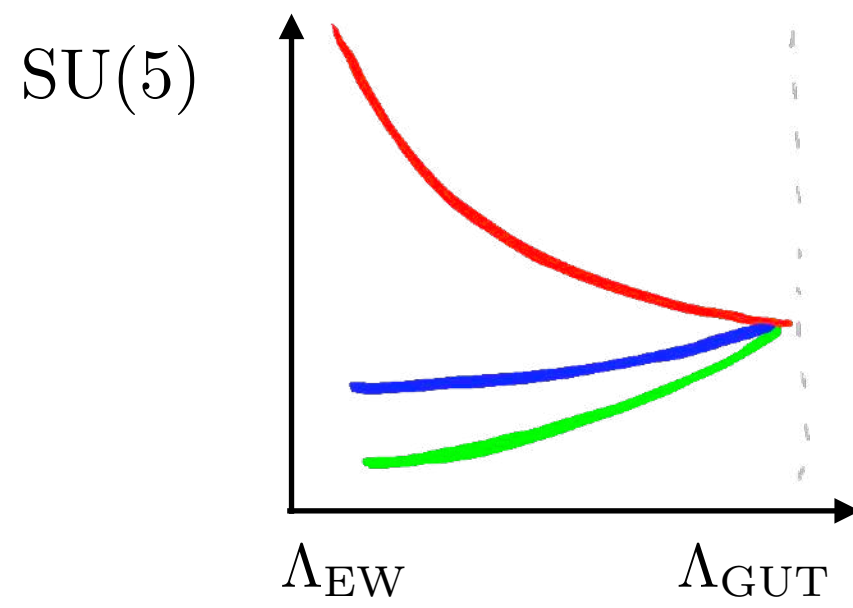


$$5 = \begin{pmatrix} (d_R)^c \\ L_L \end{pmatrix}, \quad 10 = \begin{pmatrix} (u_R)^c & Q_L \\ -Q_L^T & (e_R)^c \end{pmatrix}$$

El átomo de hidrógeno es neutro!



$$Q(p) + Q(e) = 0$$

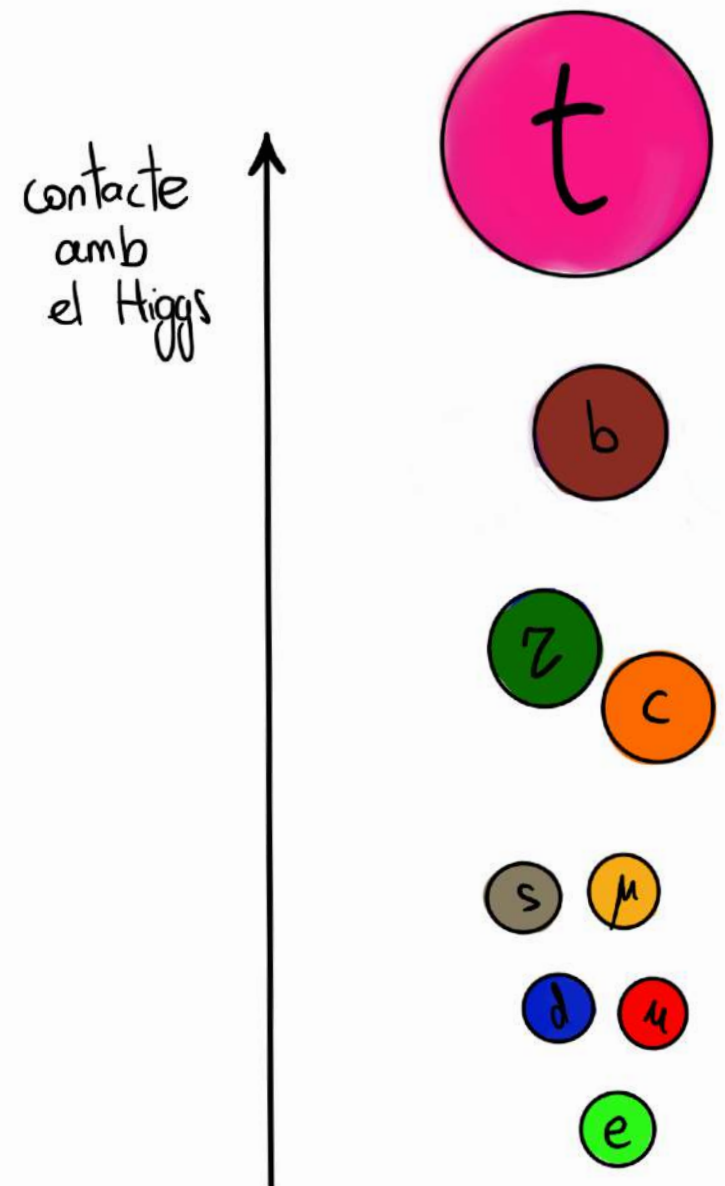


$$\tau_p > 10^{34} \text{ años!!}$$

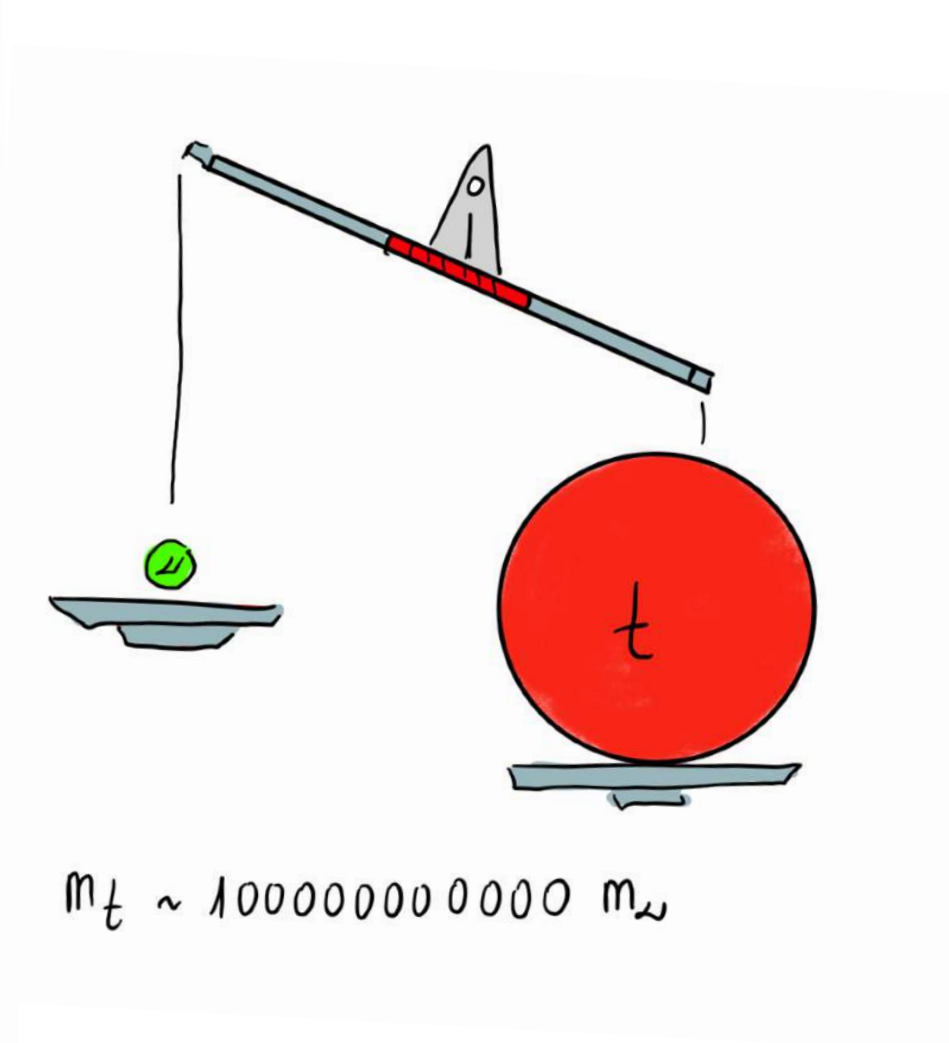
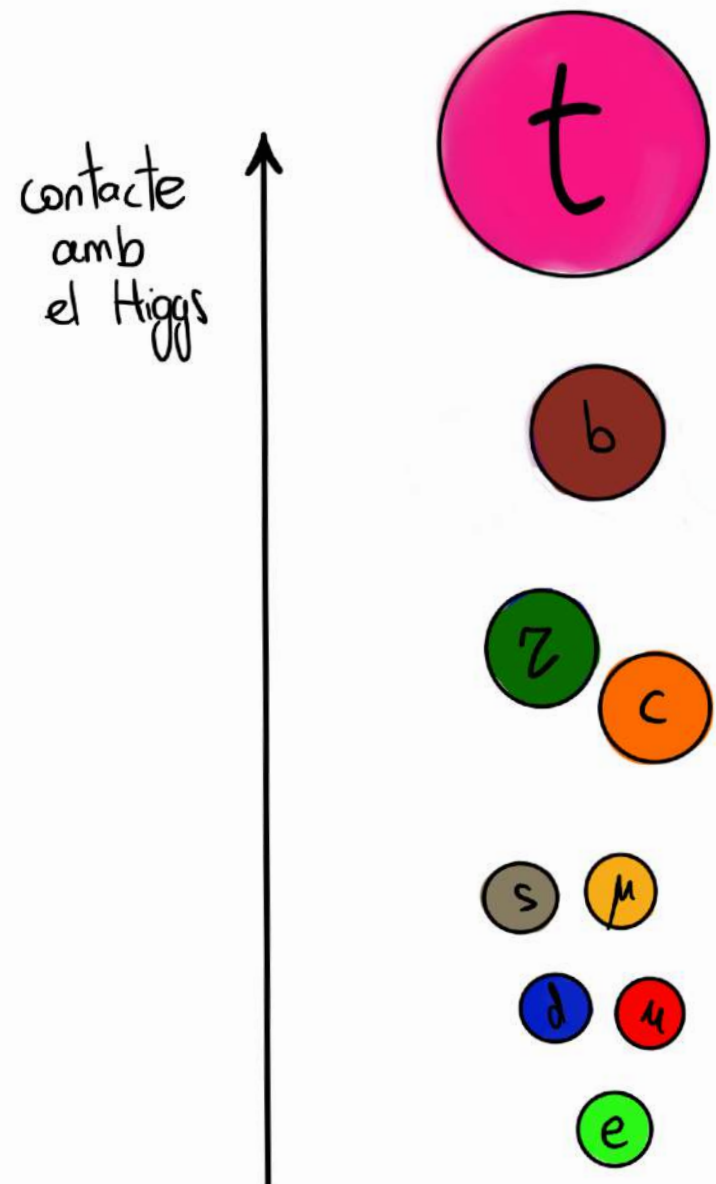


$$\Lambda_{\text{GUT}} \gtrsim 10^{15} \text{ GeV}$$

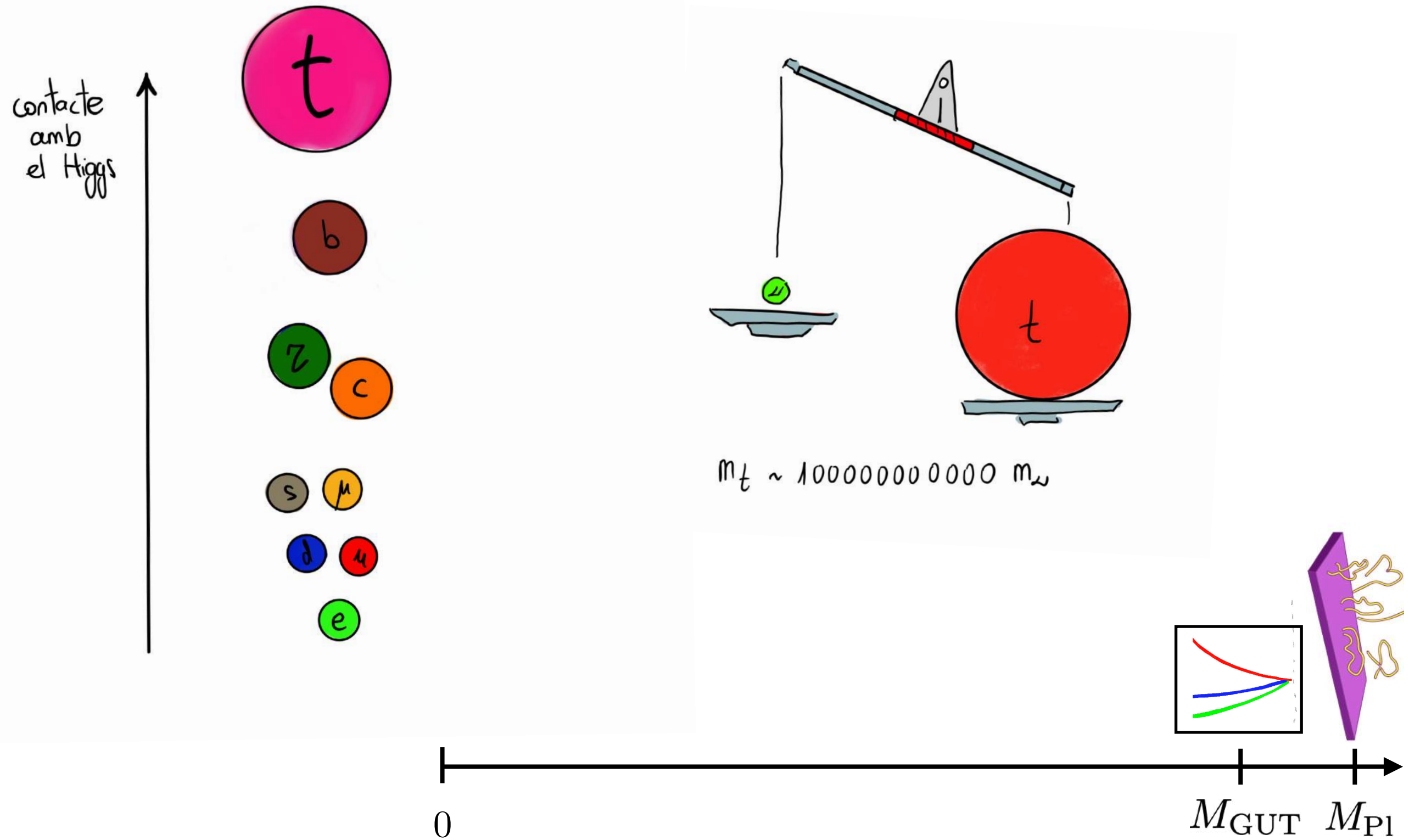
# Herarquías



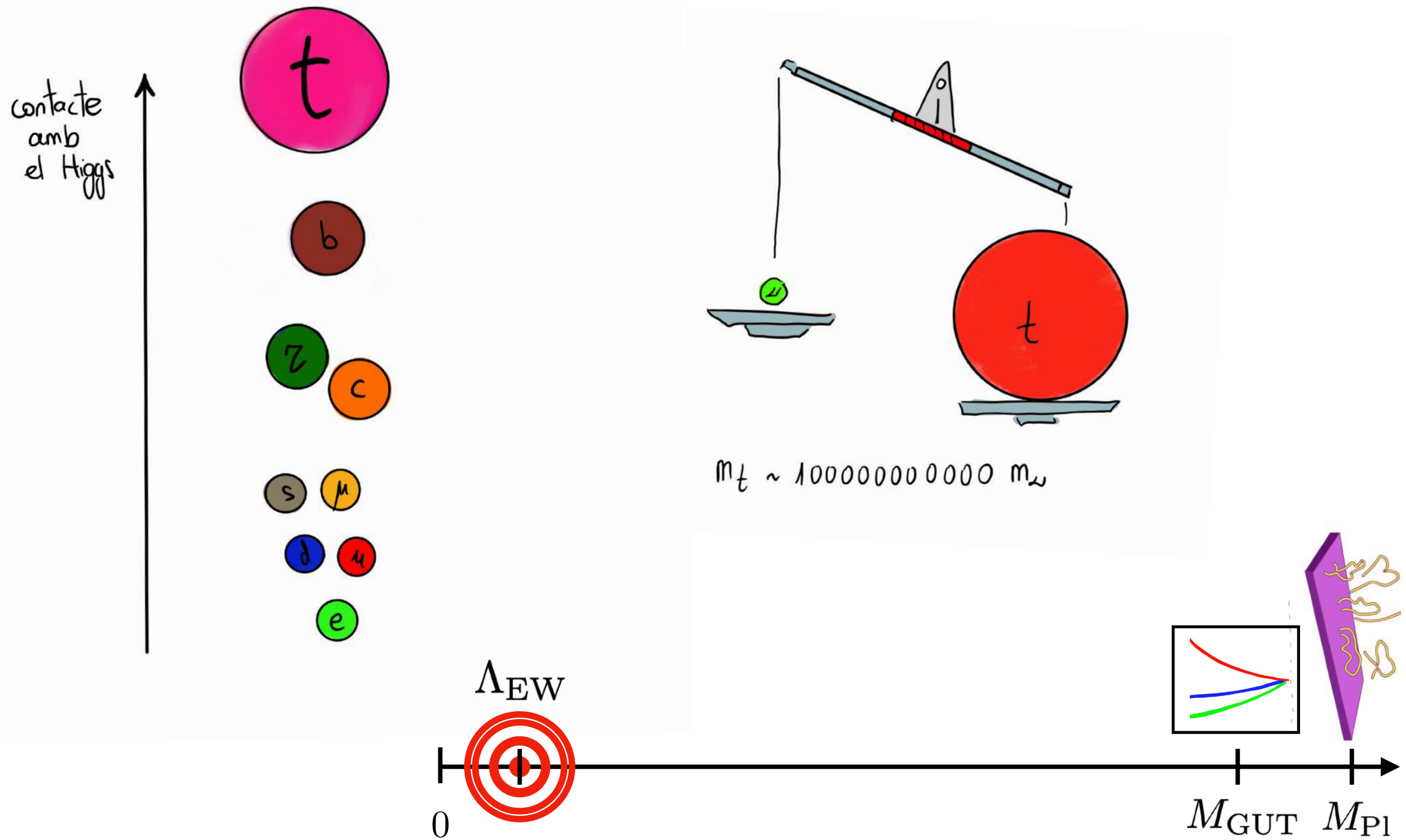
# Herarquías



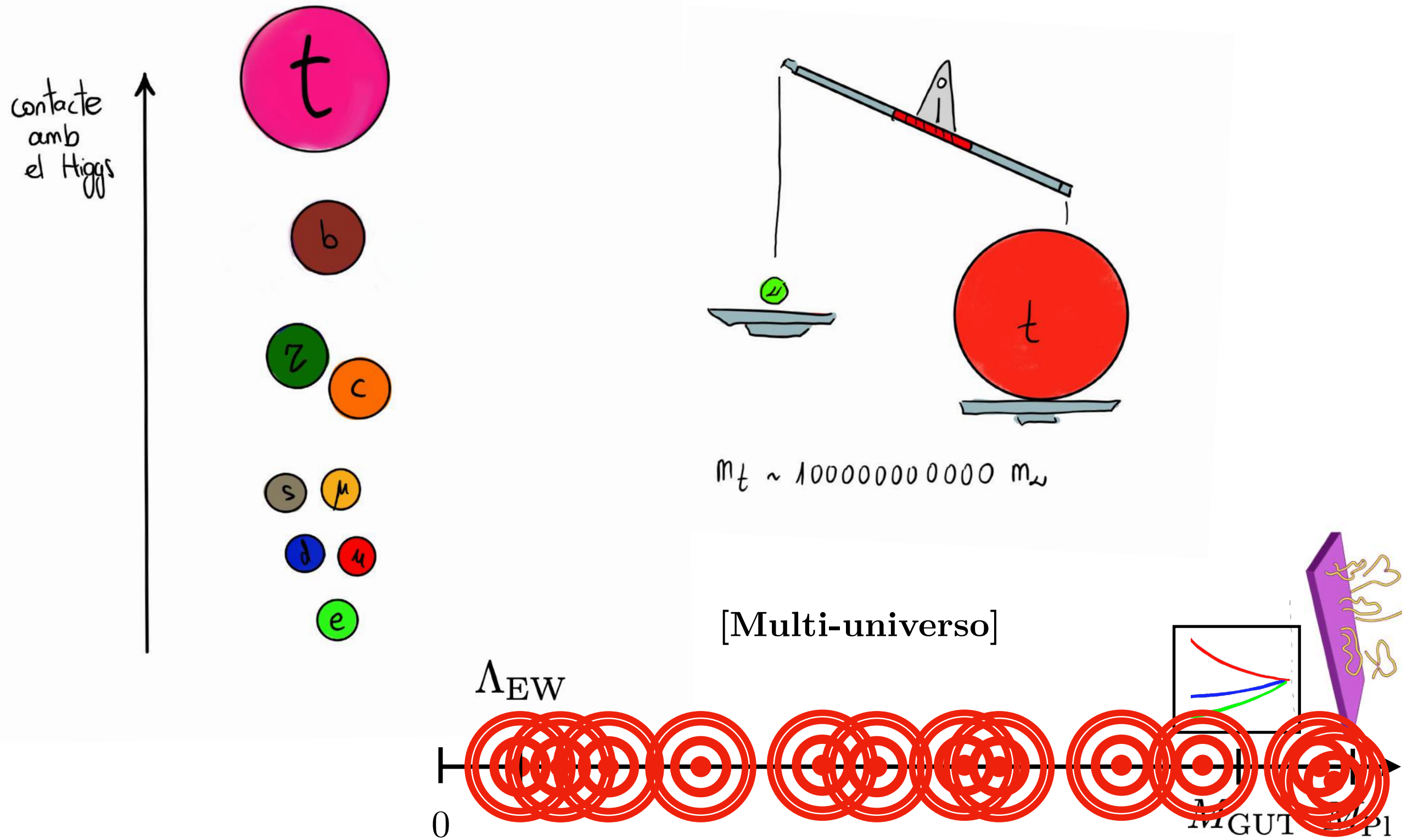
# Herarquías



# Herarquías



# Herarquías



# El puzzle de sabor

$$\text{SU}(3) \otimes \text{SU}(2) \otimes \text{U}(1)_Y$$

u	d	e	$\omega_e$
c	s	$\mu$	$\omega_\mu$
t	b	$\tau$	$\omega_\tau$

Por qué 3? Y no 5? O sólo 1? O 40000?



# El puzzle de sabor

$$\text{SU}(3) \otimes \text{SU}(2) \otimes \text{U}(1)_Y$$

u	d	e	$\omega_e$
c	s	$\mu$	$\omega_\mu$
t	b	$\tau$	$\omega_\tau$

Por qué 3? Y no 5? O sólo 1? O 40000?



1st GEN



2nd GEN

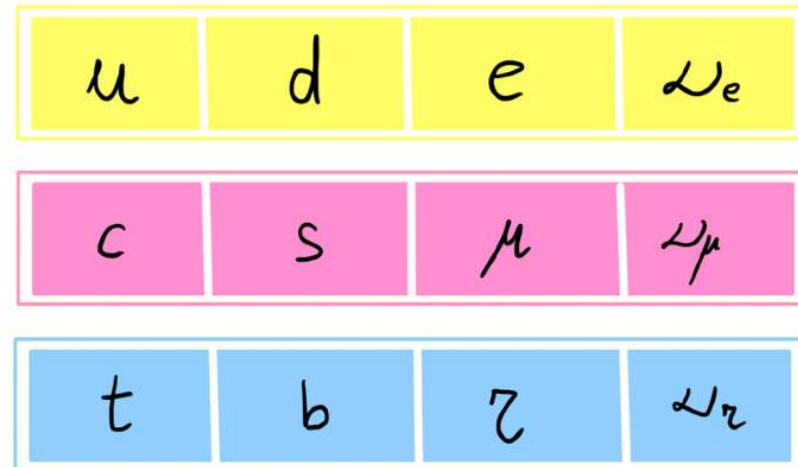


3rd GEN



# El puzzle de sabor

$$\text{SU}(3) \otimes \text{SU}(2) \otimes \text{U}(1)_Y$$



Por qué 3? Y no 5? O sólo 1? O 40000?



1st GEN



2nd GEN

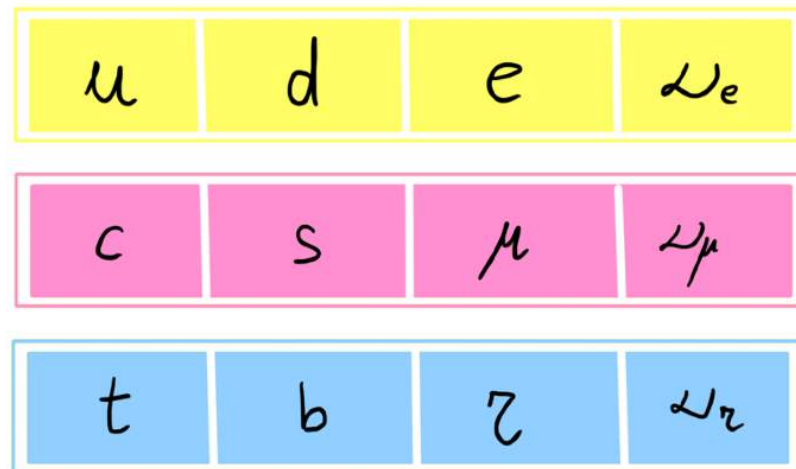


3rd GEN



# El puzzle de sabor

$$\text{SU}(3) \otimes \text{SU}(2) \otimes \text{U}(1)_Y$$



e.g.  $\text{SO}(18)$

1st GEN



2nd GEN

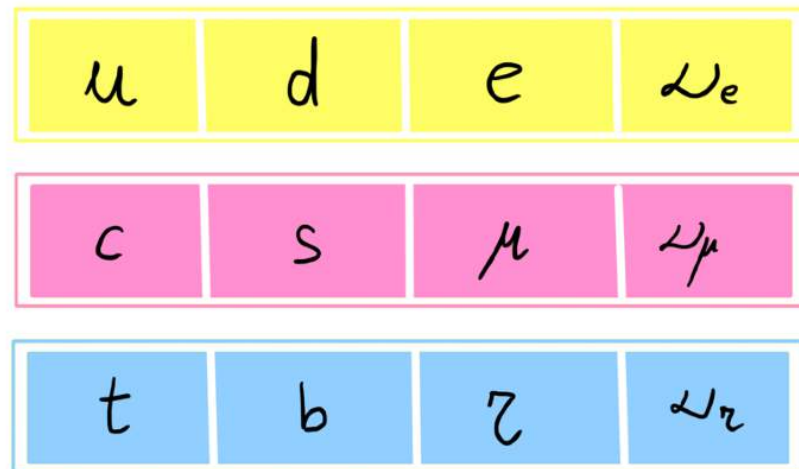


3rd GEN

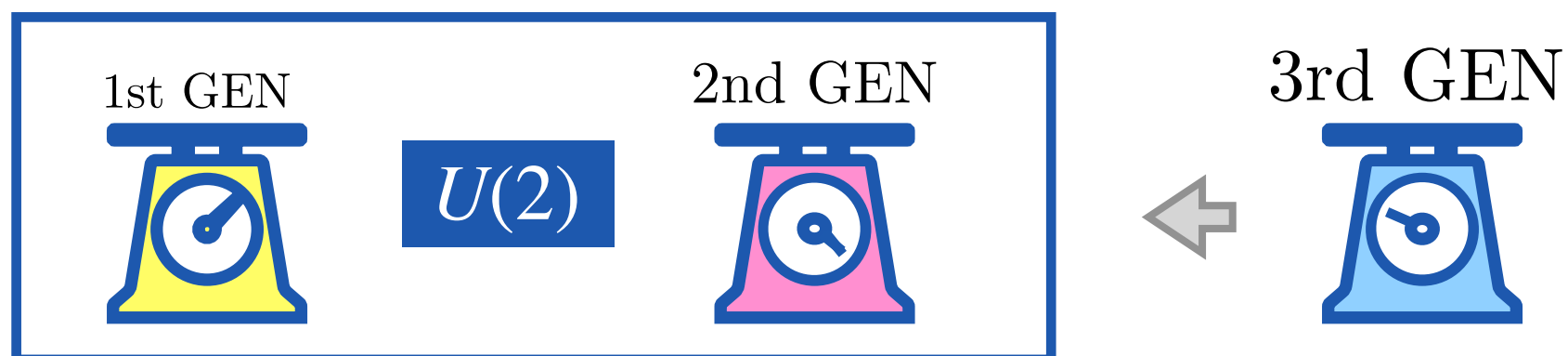


# El puzzle de sabor

$$\text{SU}(3) \otimes \text{SU}(2) \otimes \text{U}(1)_Y$$



e.g.  $\text{SO}(18)$



# El puzzle de sabor

$$\text{SU}(3) \otimes \text{SU}(2) \otimes \text{U}(1)_Y$$

u	d	e	$\omega_e$
---	---	---	------------

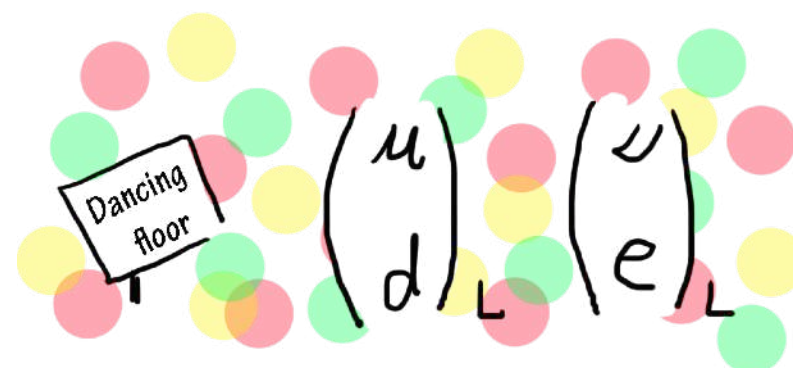
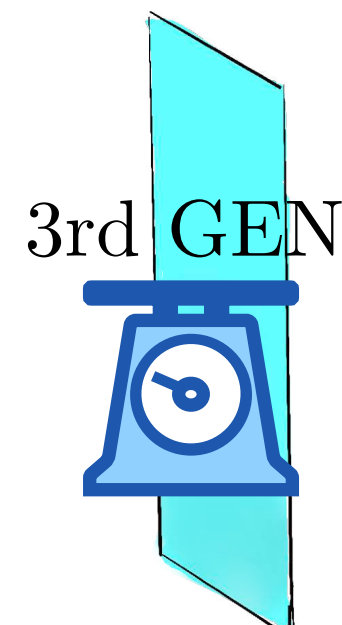
c	s	$\mu$	$\omega_\mu$
---	---	-------	--------------

t	b	$\gamma$	$\omega_\gamma$
---	---	----------	-----------------



e.g. SO(18)

dimensiones extra



Unfair... We do also want a partner!

$e_R^c \quad u_R^c \quad d_R^c$

# El puzzle de sabor

$$SU(3) \otimes SU(2) \otimes U(1)_Y$$

u	d	e	$\omega_e$
c	s	$\mu$	$\omega_\mu$
t	b	$\tau$	$\omega_\tau$

$$F_L = \begin{bmatrix} (u) \\ (d) \\ (\nu) \\ (e) \end{bmatrix}_L$$

$$F_R = \begin{bmatrix} (u) \\ (d) \\ (\nu) \\ (e) \end{bmatrix}_R$$

Unificación de quarks y leptones

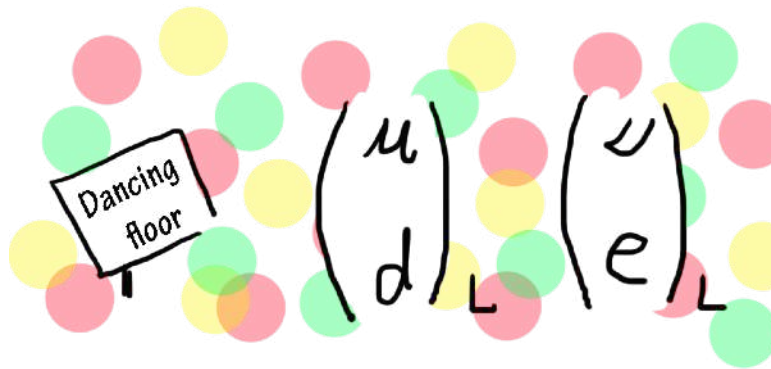
1st GEN



2nd GEN

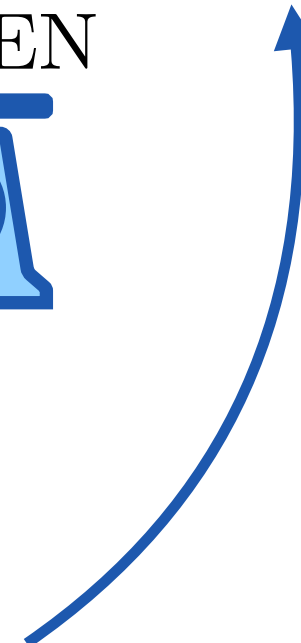


3rd GEN



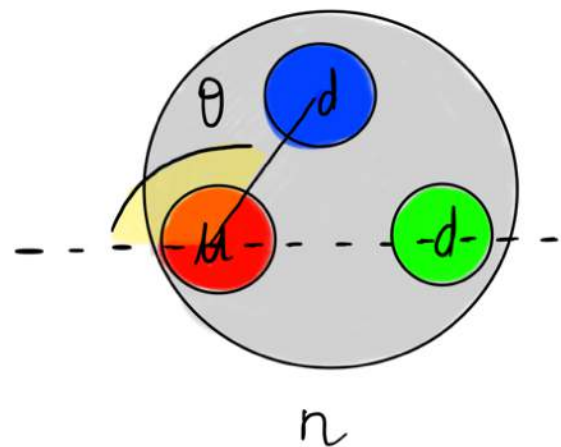
Unfair... We do also want a partner!

$e_R$   $u_R$   $d_R$



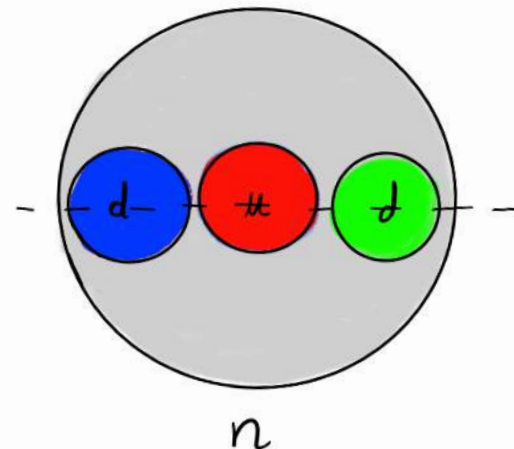
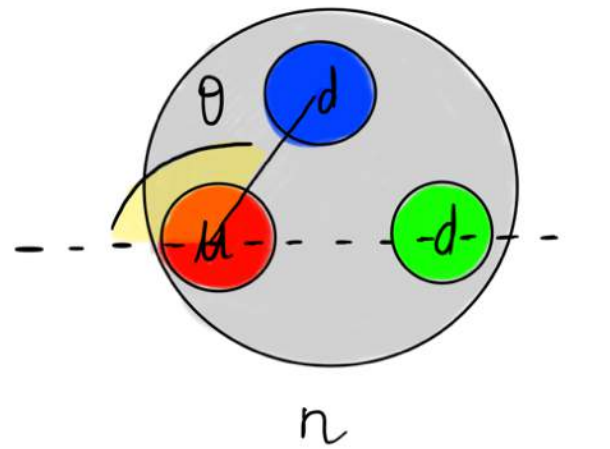
# El problema fuerte de CP

$$\text{SU}(3) \otimes \text{SU}(2) \otimes \text{U}(1)_Y$$



# El problema fuerte de CP

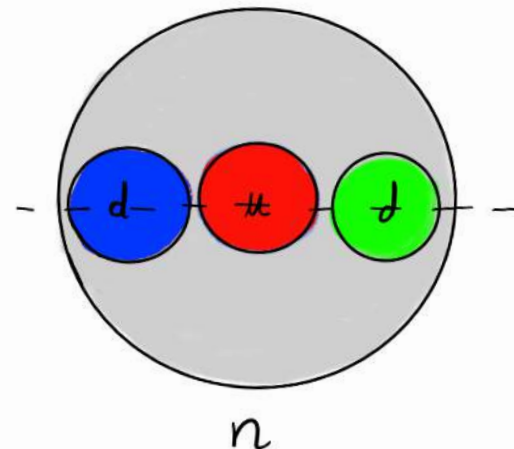
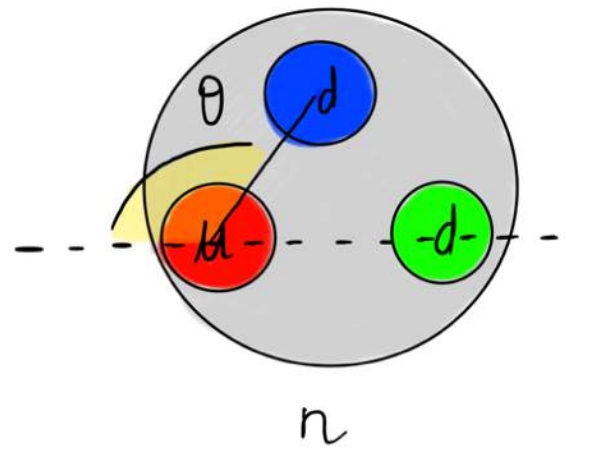
$$\text{SU}(3) \otimes \text{SU}(2) \otimes \text{U}(1)_Y$$



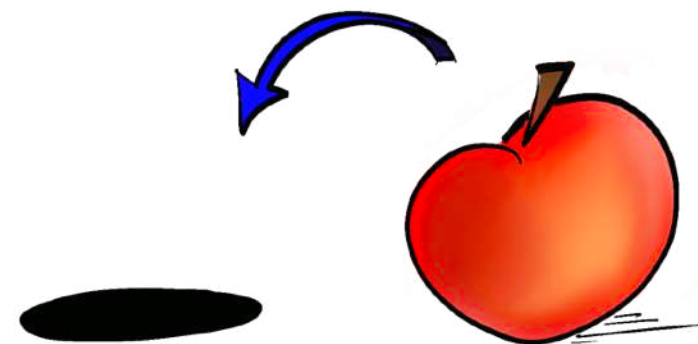
$$\theta_{\text{QCD}} < 10^{-10}$$

# El problema fuerte de CP

$$\text{SU}(3) \otimes \text{SU}(2) \otimes \text{U}(1)_Y$$

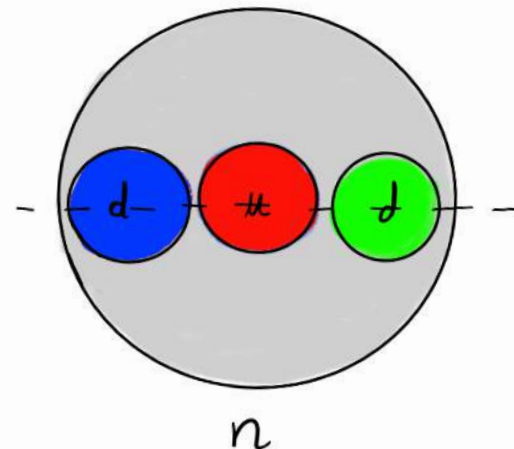
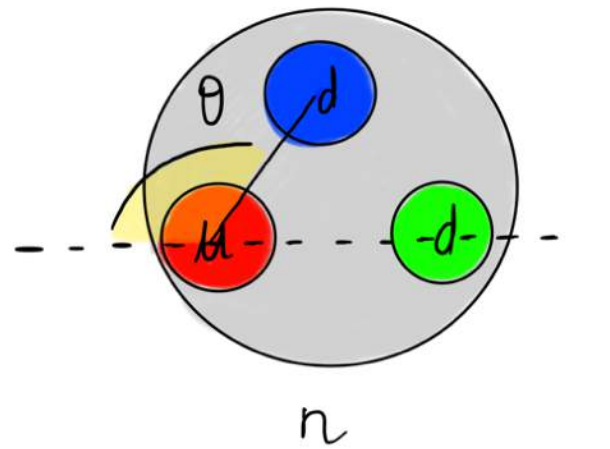


$$\theta_{\text{QCD}} < 10^{-10}$$

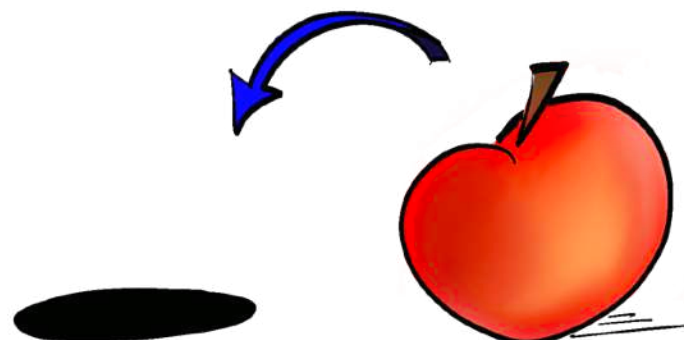


# El problema fuerte de CP

$$\text{SU}(3) \otimes \text{SU}(2) \otimes \text{U}(1)_Y$$

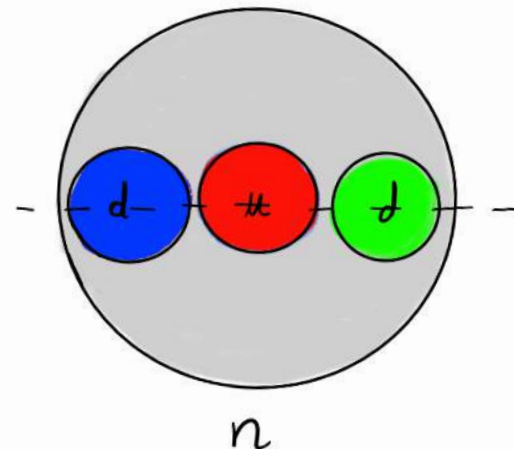
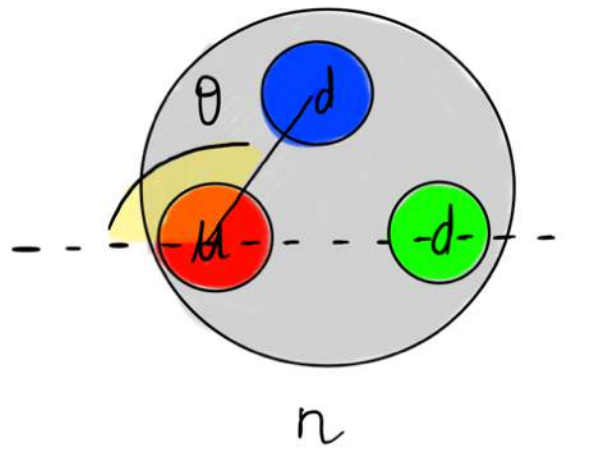


$$\theta_{\text{QCD}} < 10^{-10}$$

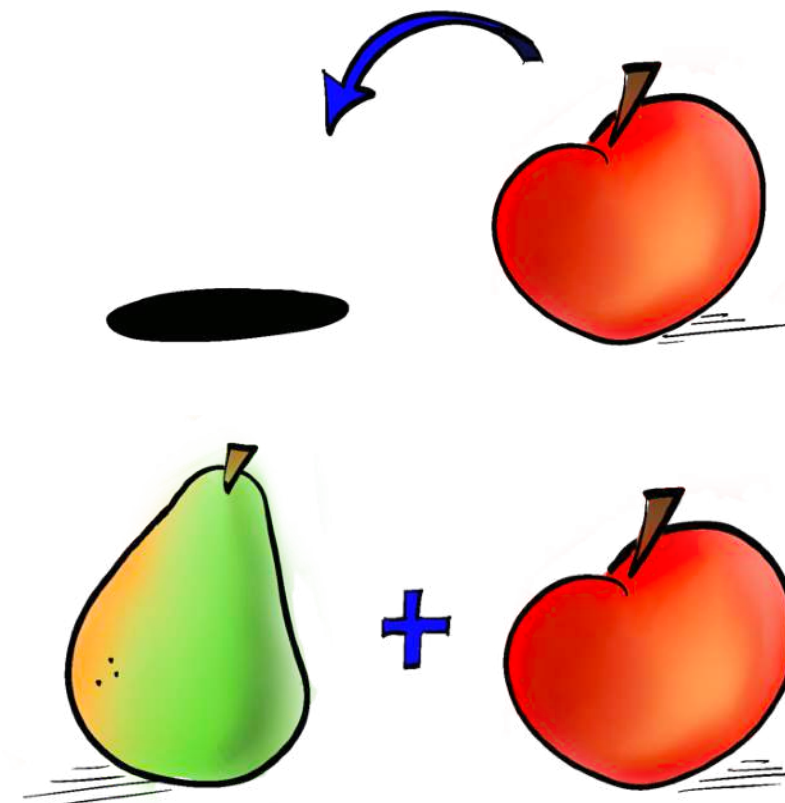


# El problema fuerte de CP

$$\text{SU}(3) \otimes \text{SU}(2) \otimes \text{U}(1)_Y$$

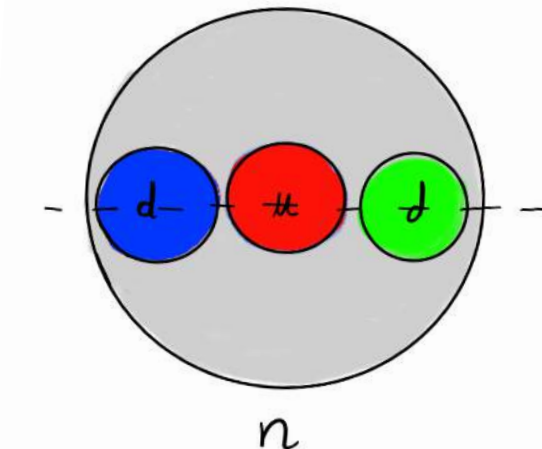
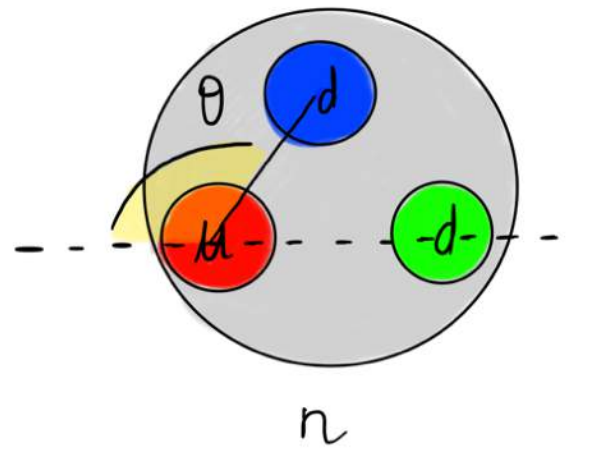


$$\theta_{\text{QCD}} < 10^{-10}$$

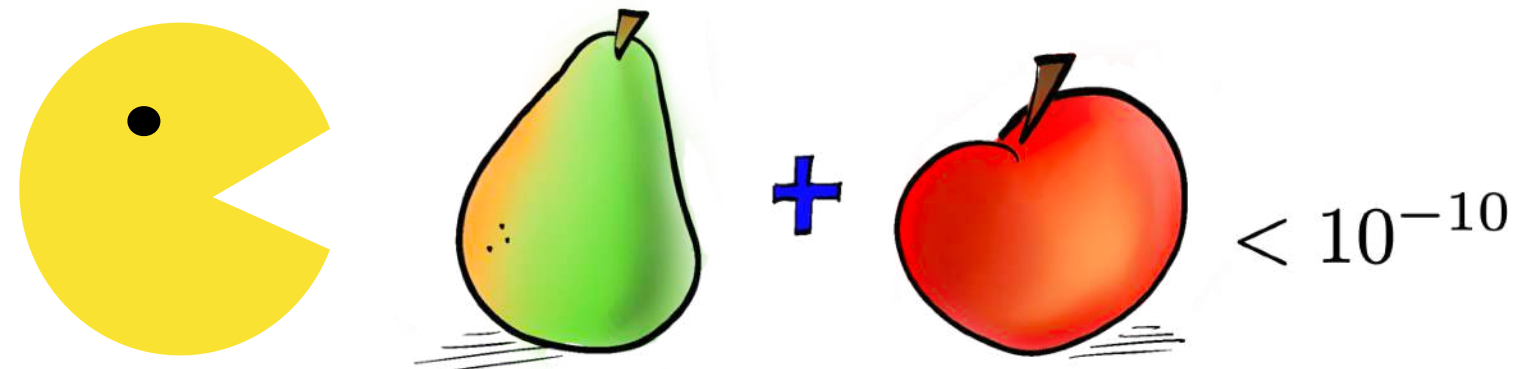


# El problema fuerte de CP

$$\text{SU}(3) \otimes \text{SU}(2) \otimes \text{U}(1)_Y$$

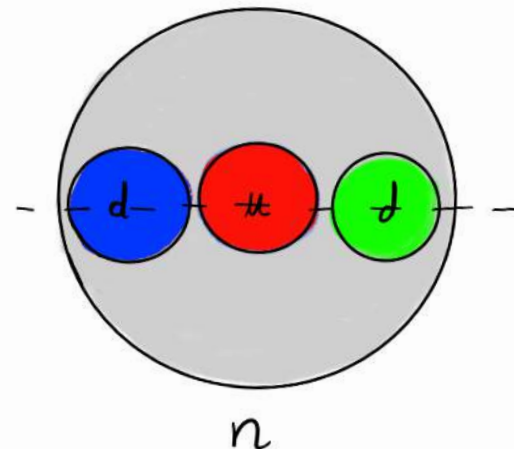
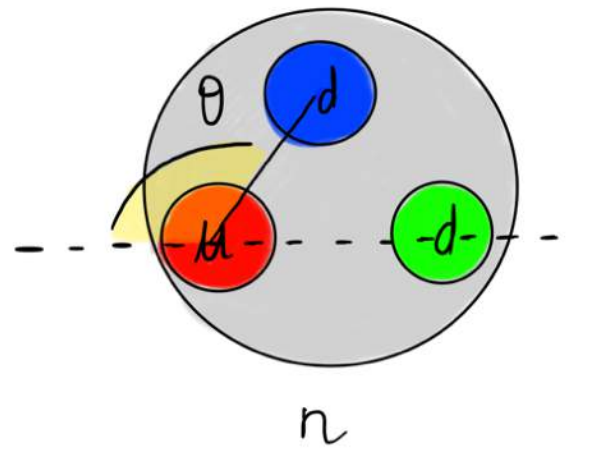


$$\theta_{\text{QCD}} < 10^{-10}$$

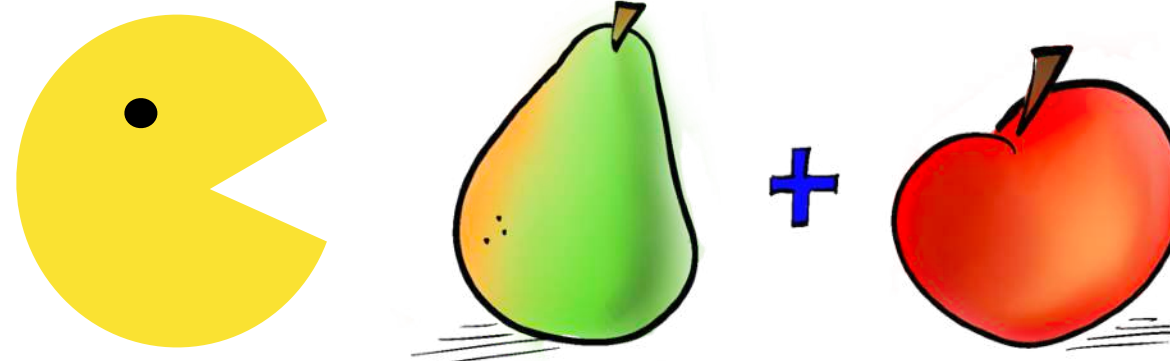


# El problema fuerte de CP

$$\text{SU}(3) \otimes \text{SU}(2) \otimes \text{U}(1)_Y$$



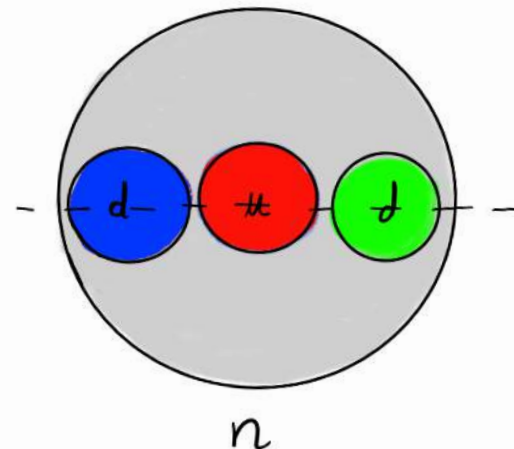
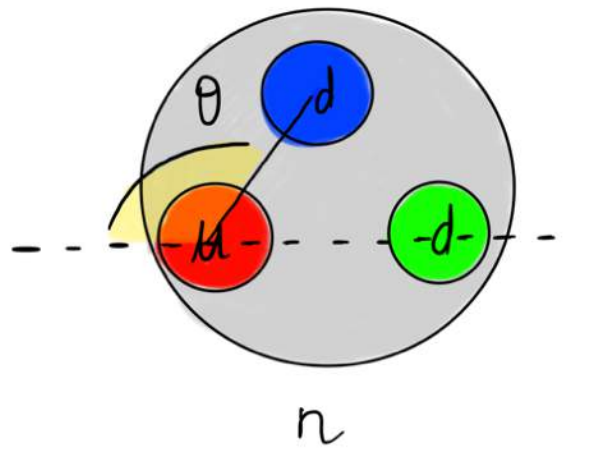
$$\theta_{\text{QCD}} < 10^{-10}$$



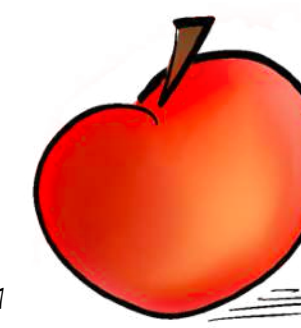
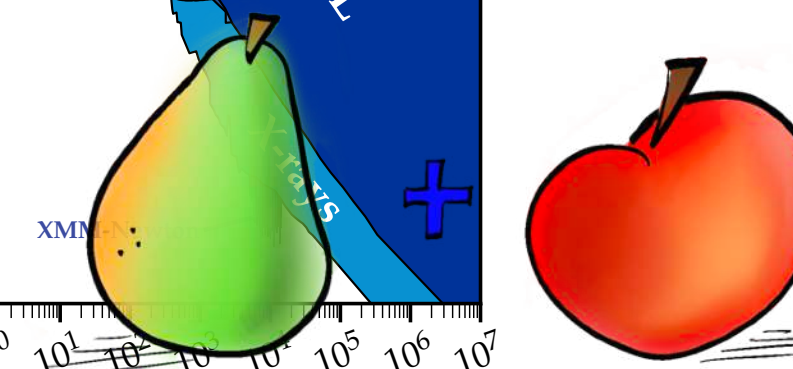
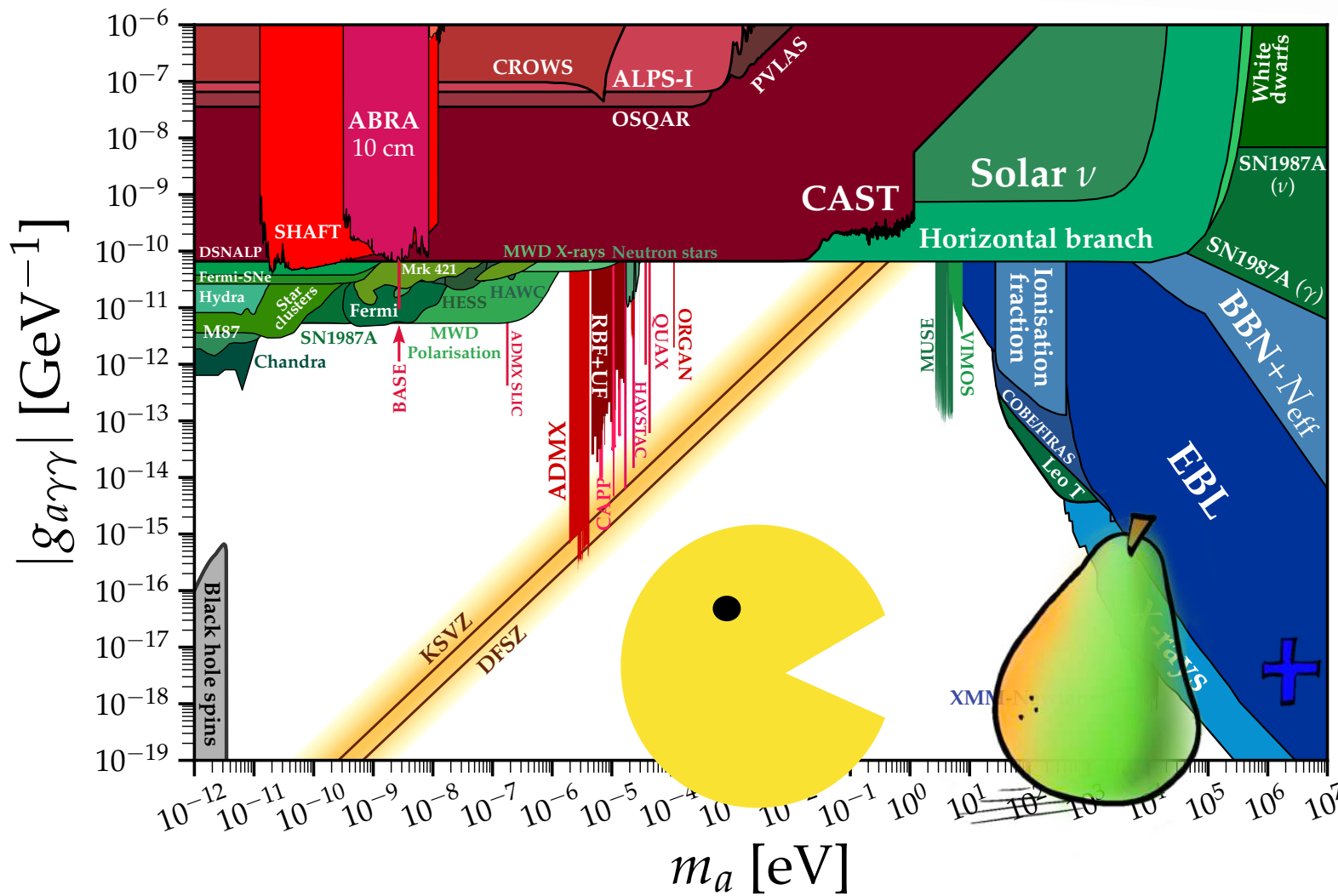
$$< 10^{-10}$$

# El problema fuerte de CP

$$\text{SU}(3) \otimes \text{SU}(2) \otimes \text{U}(1)_Y$$



$$\theta_{\text{QCD}} < 10^{-10}$$

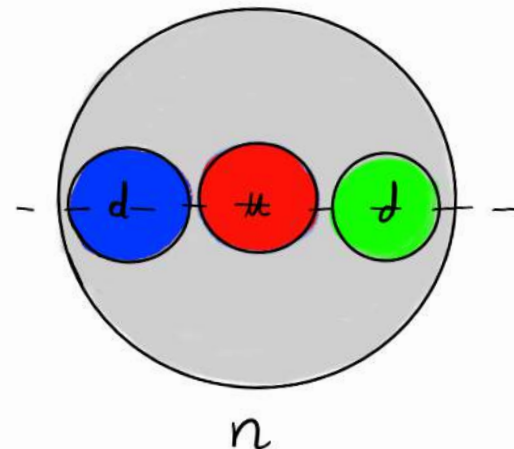
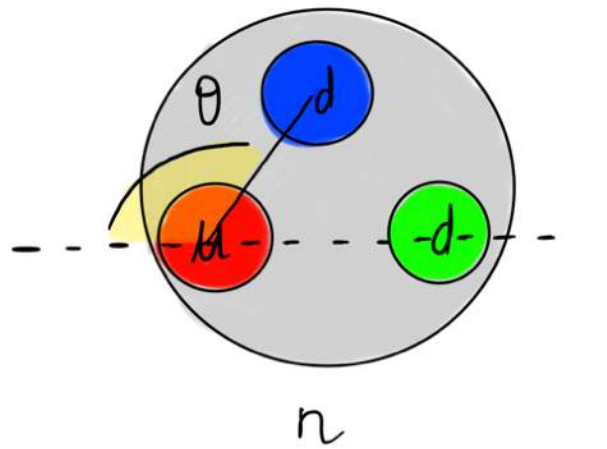


$$< 10^{-10}$$

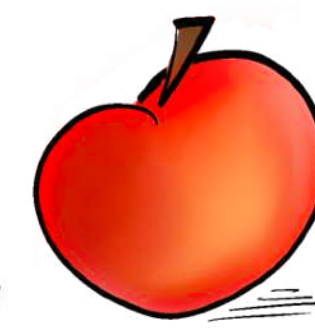
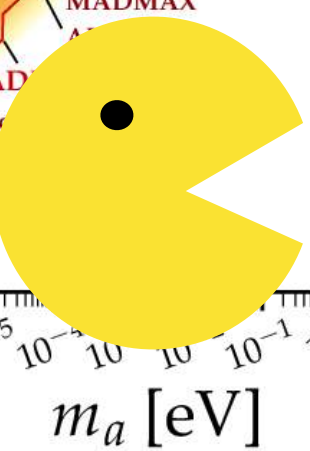
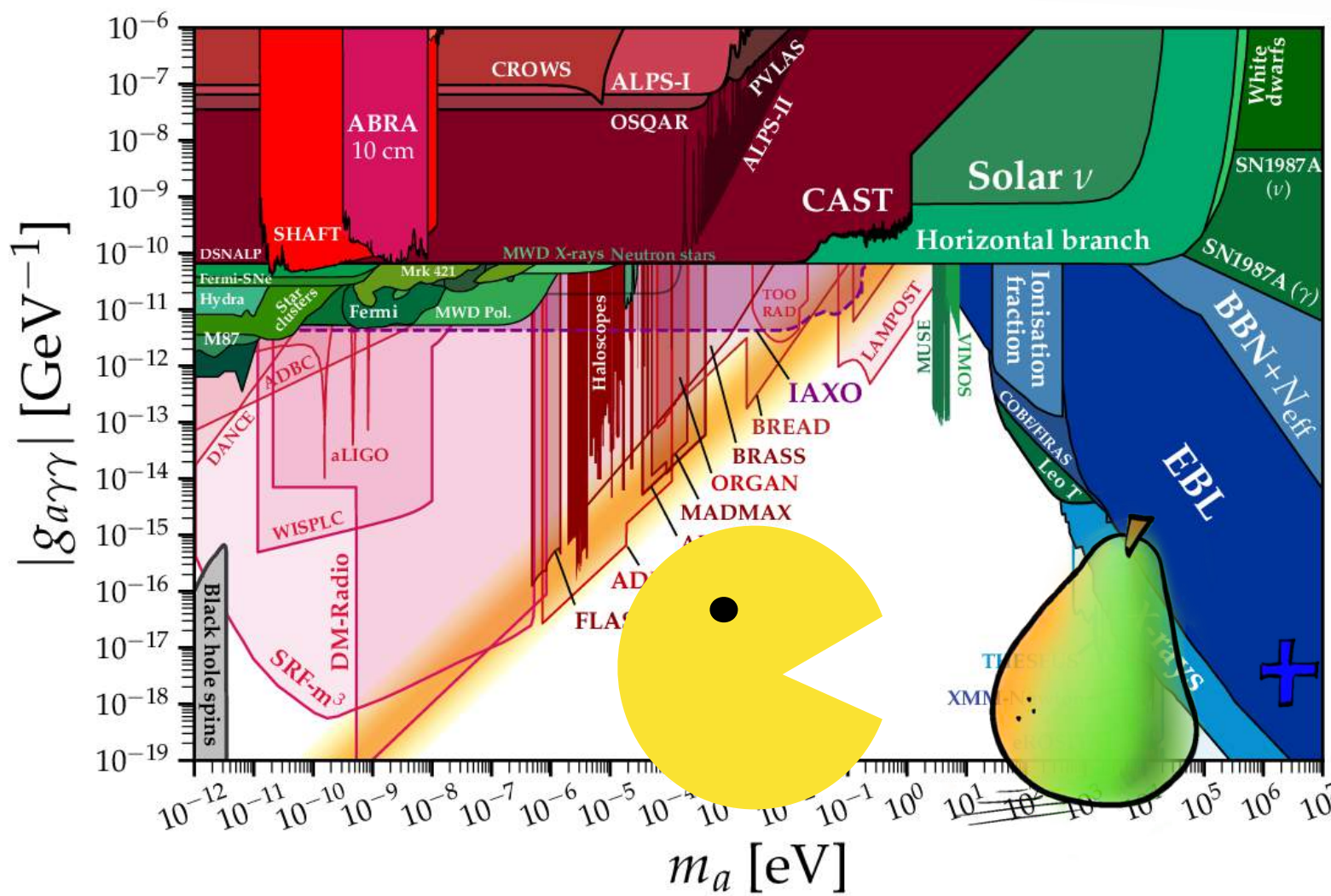


# El problema fuerte de CP

$$SU(3) \otimes SU(2) \otimes U(1)_Y$$



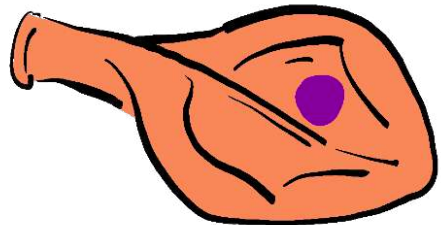
$$\theta_{\text{QCD}} < 10^{-10}$$



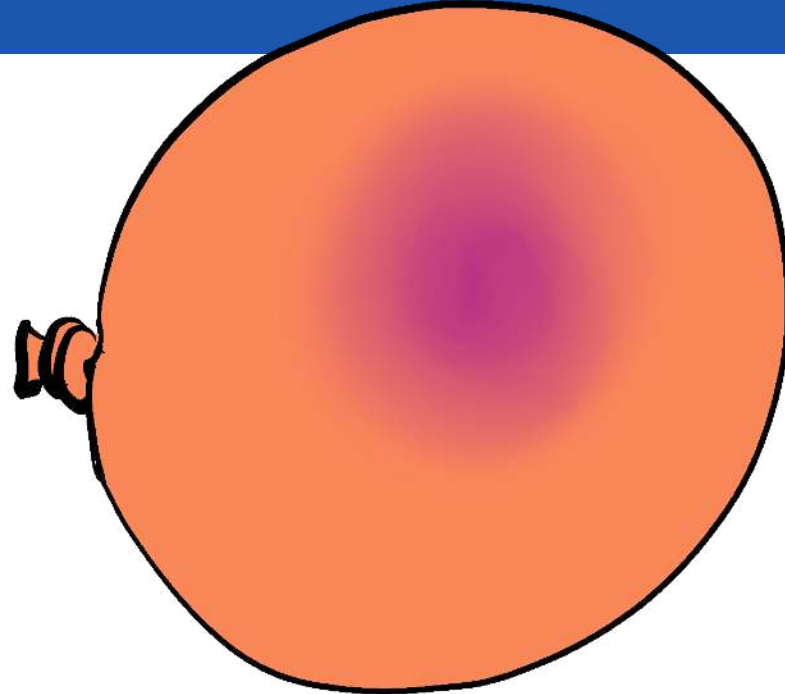
$$< 10^{-10}$$



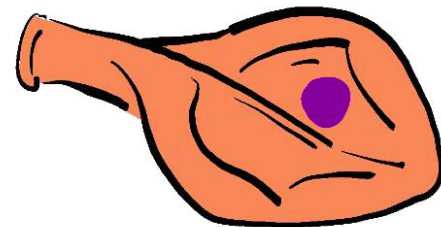
# Parámetros del universo



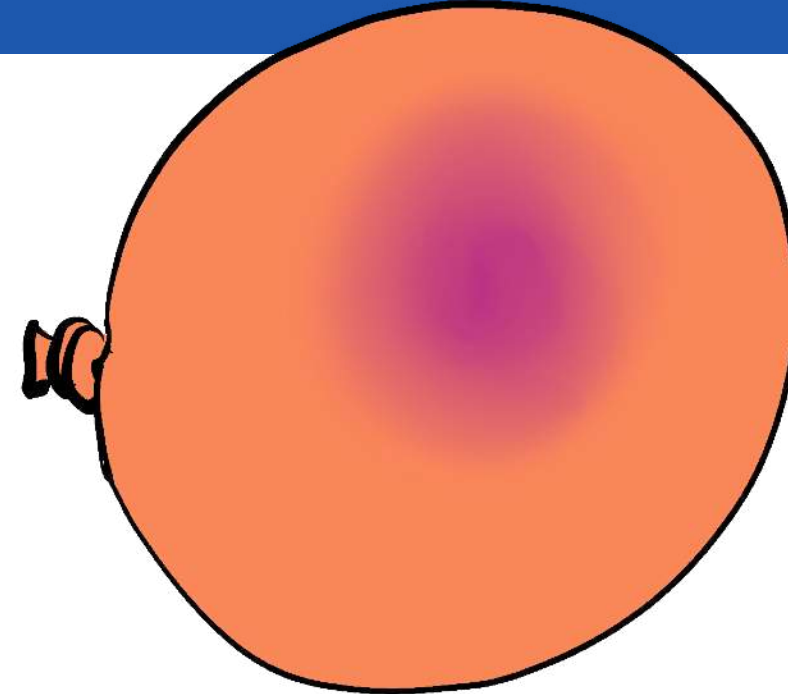
Inflación?



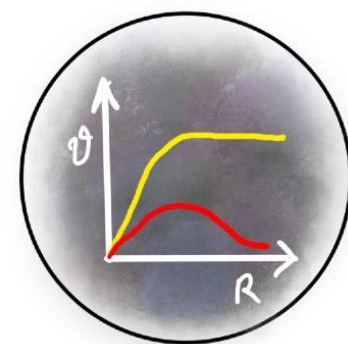
# Parámetros del universo



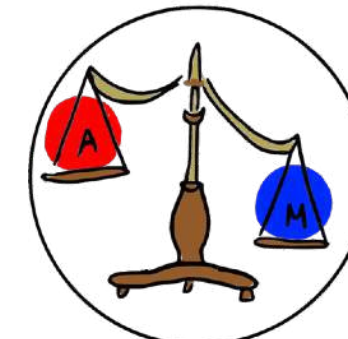
Inflación?



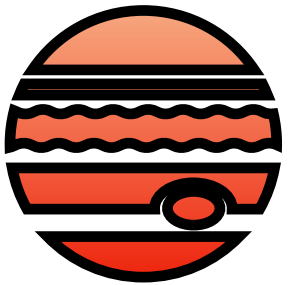
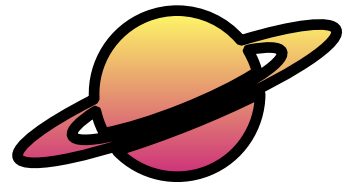
Mecanismo



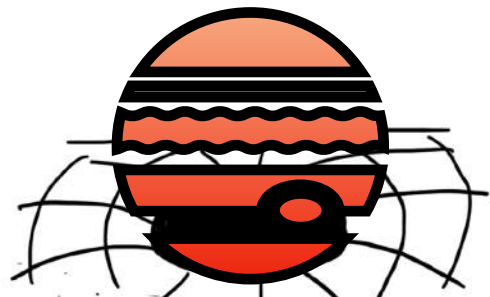
$$\Lambda_{\text{DM}} \sim 5\Lambda_{\text{B}}$$



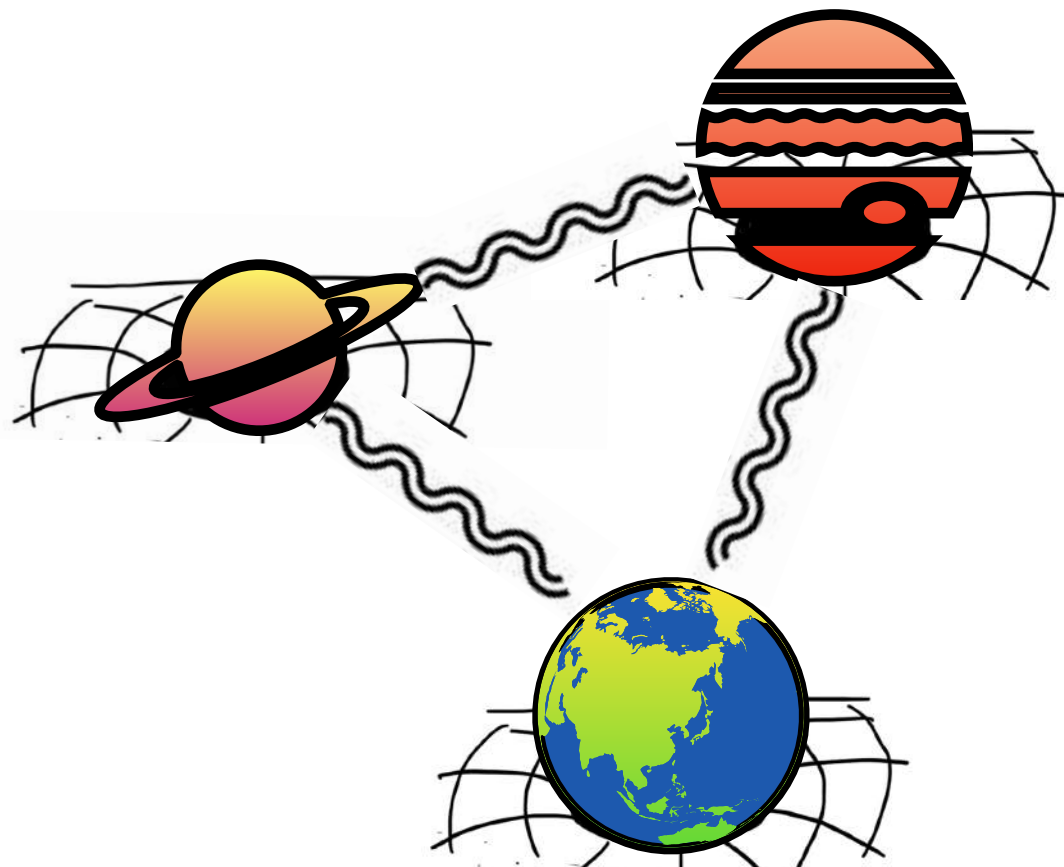
# Y la gravedad?



# Y la gravedad?

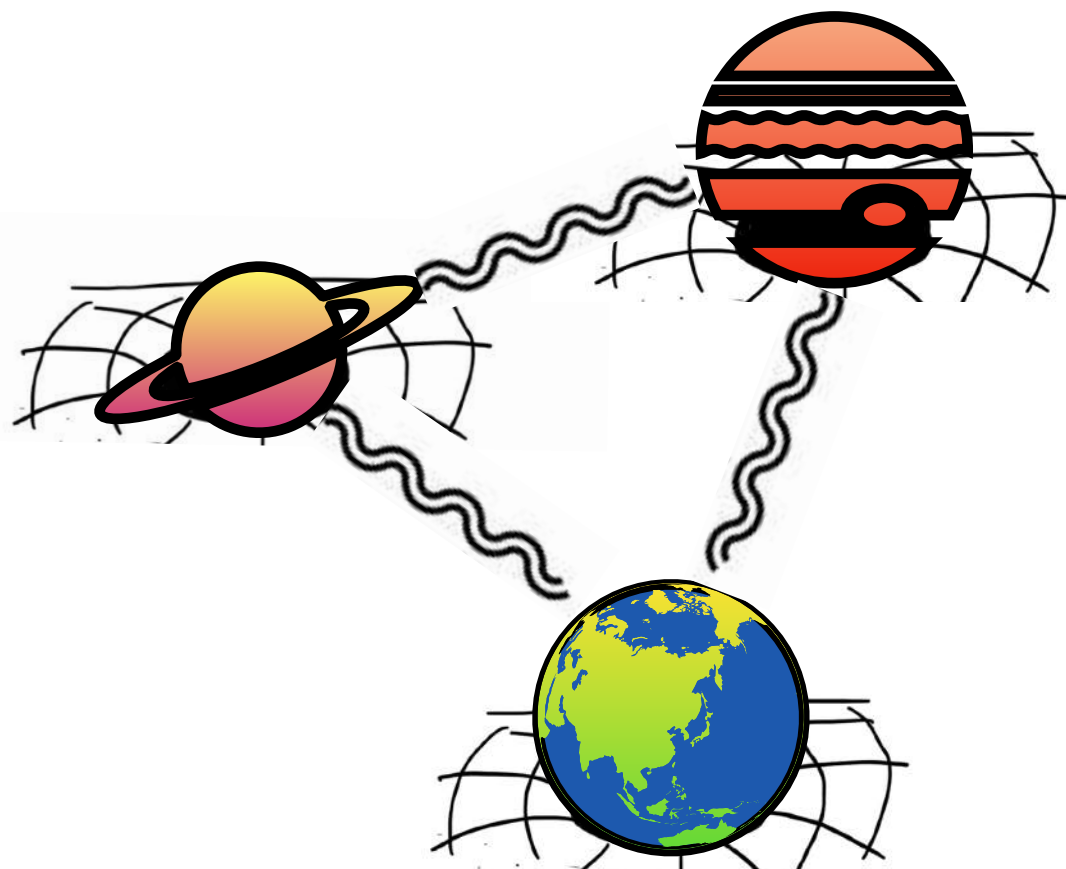


# Y la gravedad?



Interacciones	Intensidad	Mediador	Alcance
F. Fuerte	1000	Gluones	Largo ( $M=0$ )
Electromagnetismo	1	Fotones	Largo ( $M=0$ )
F. Débil	100	$W, Z$	$M$
Gravedad		¿¿Gravitón??	Largo ( $M=0$ )

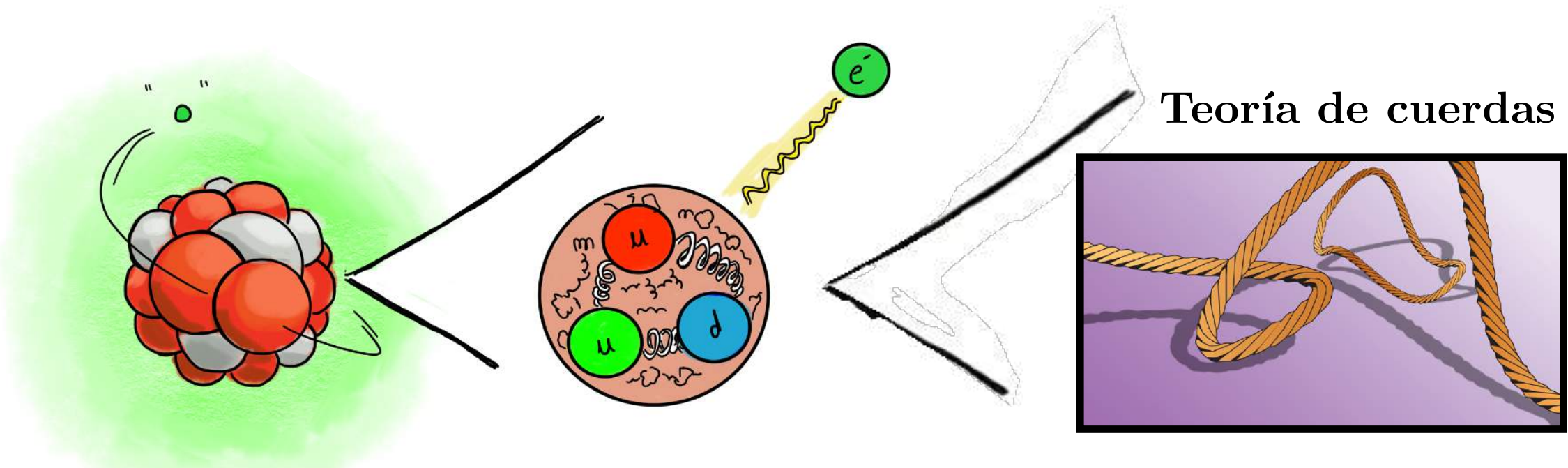
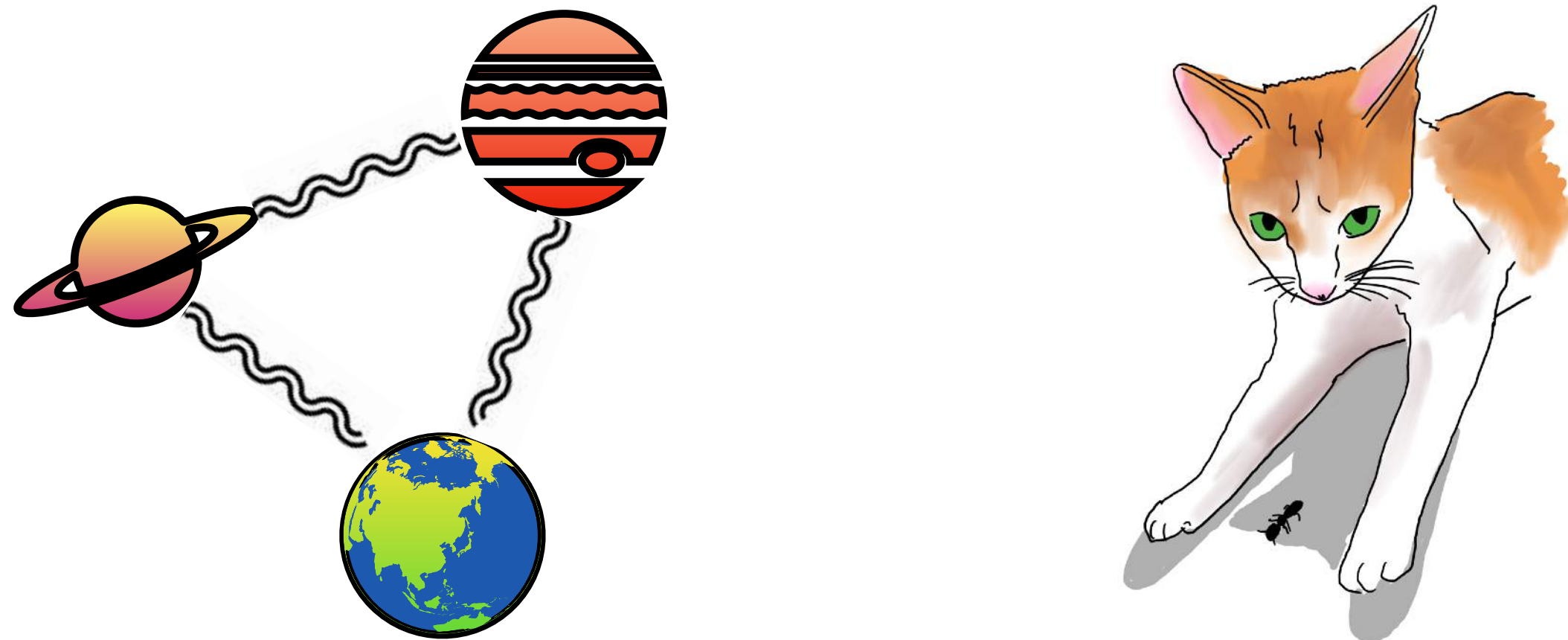
# Y la gravedad?



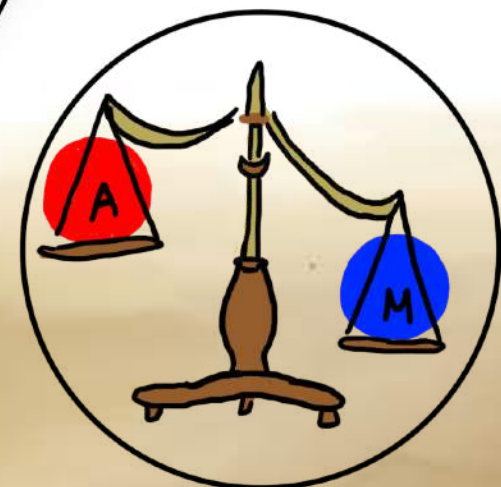
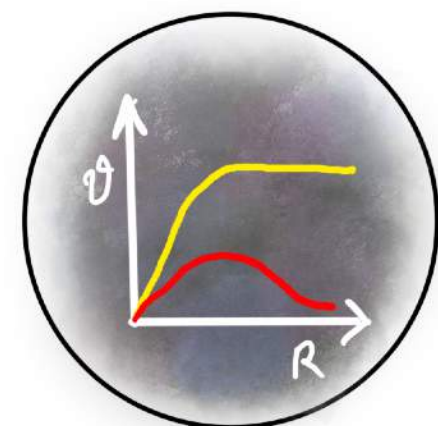
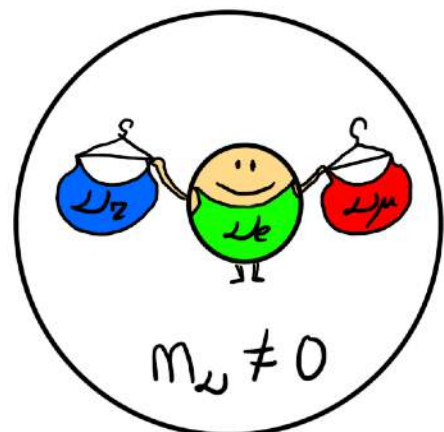
Dimensiones extra?

Interacciones	Intensidad	Mediador	Alcance
F. Fuerte	1000	Gluones	Largo ( $M=0$ )
Electromagnetismo	1	Fotones	Largo ( $M=0$ )
F. Débil	100	$W, Z$	$M$
Gravedad	$10^{-33}$	¿¿Gravitón??	Largo ( $M=0$ )

# Y la gravedad?



# En búsqueda de la nueva física





# Teorías efectivas

Parametrizando la nueva física

e.g. serie de Taylor

$$\sin(x) = x - \frac{x^3}{3!} + \frac{x^5}{5!} + \dots = \sum_{k=0}^{\infty} \frac{x^{2k+1}}{(2k+1)!} (-)^k$$



# Teorías efectivas

Parametrizando la nueva física

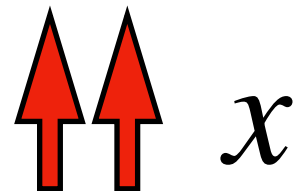
e.g. serie de Taylor

$$?? = x$$



# Teorías efectivas

Parametrizando la nueva física



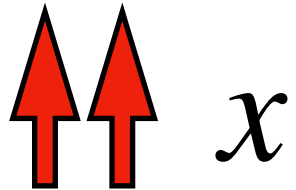
e.g. serie de Taylor

$$\sin(x) = x - \boxed{\frac{x^3}{3!} + \frac{x^5}{5!} + \cdots} = \sum_{k=0}^{\infty} \frac{x^{2k+1}}{(2k+1)!} (-)^k$$



# Teorías efectivas

Parametrizando la nueva física



e.g. serie de Taylor

$$\sin(x) = x - \frac{x^3}{3!} + \frac{x^5}{5!} + \dots = \sum_{k=0}^{\infty} \frac{x^{2k+1}}{(2k+1)!} (-)^k$$

$$x = \frac{E}{M_{??}}$$



# Teorías efectivas

Parametrizando la nueva física

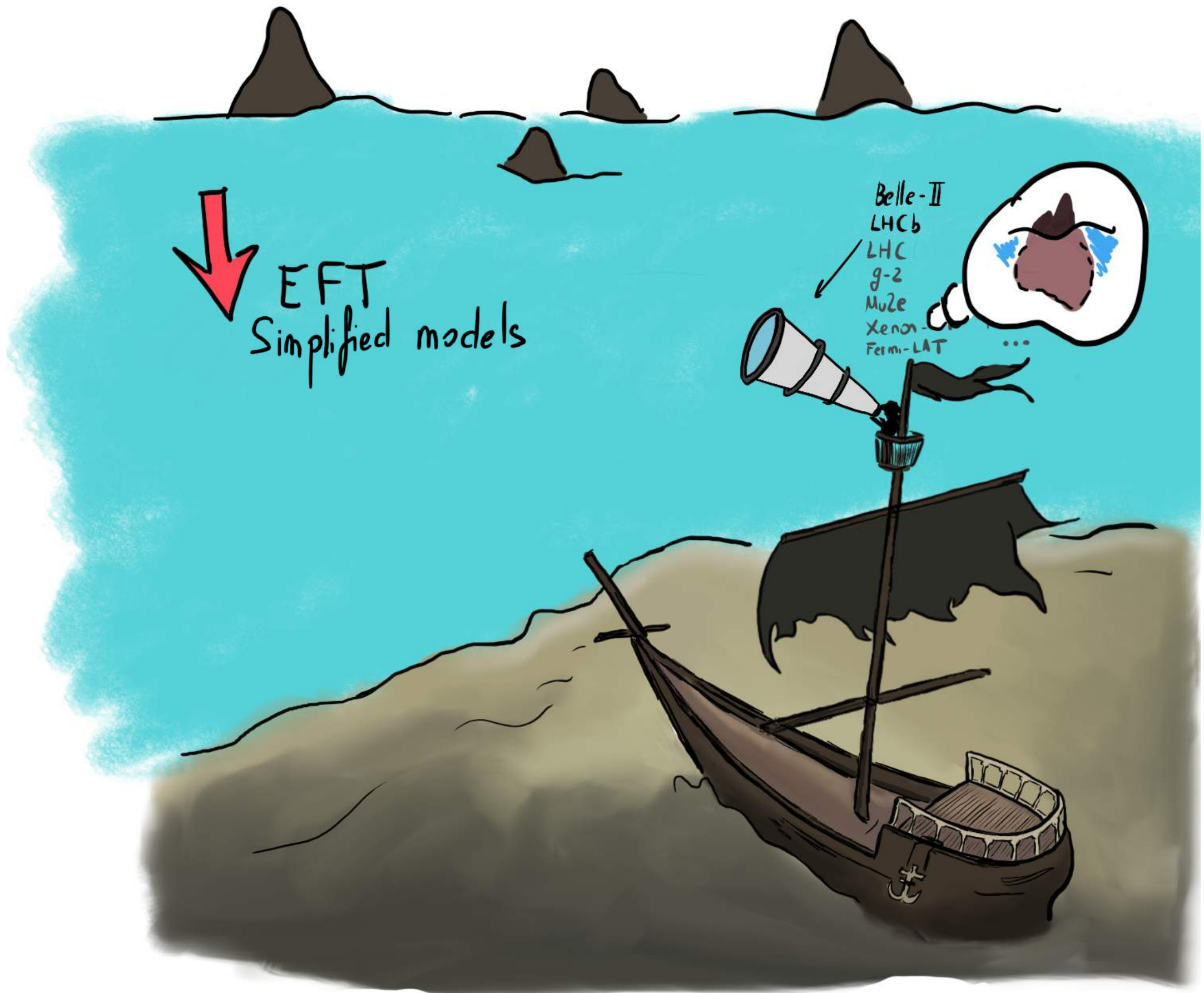
Construcción de  
super-colisionadores



e.g. serie de Taylor

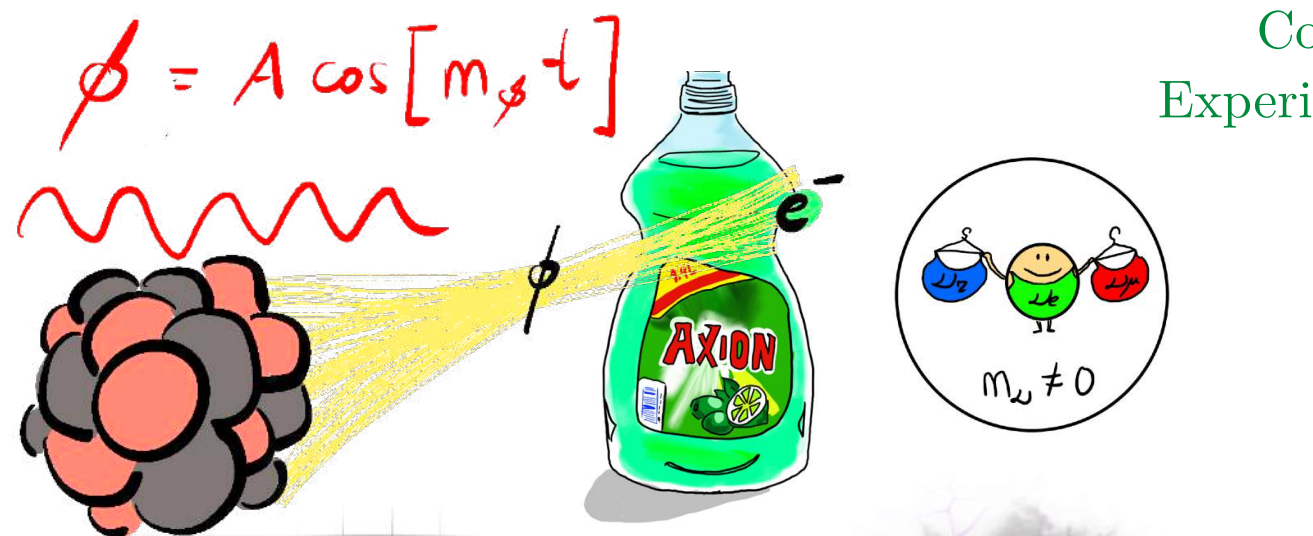
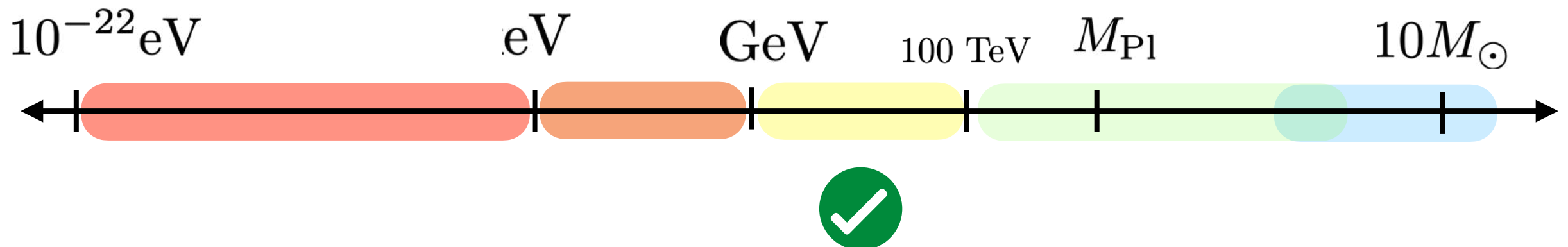
$$\sin(x) = x - \frac{x^3}{3!} + \frac{x^5}{5!} + \dots = \sum_{k=0}^{\infty} \frac{x^{2k+1}}{(2k+1)!} (-)^k$$

$$x = \frac{E}{M_{??}}$$

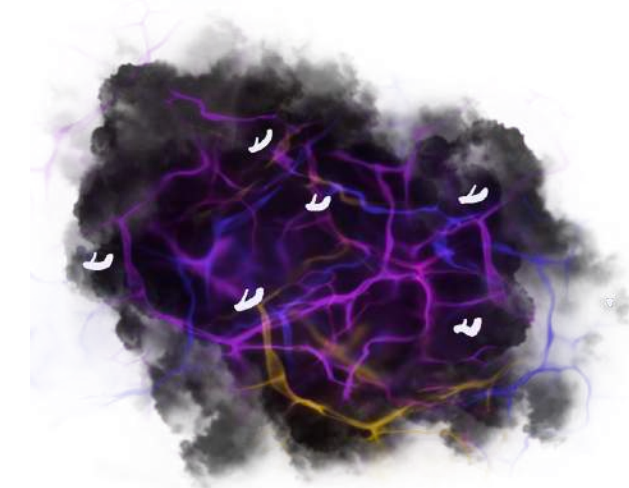
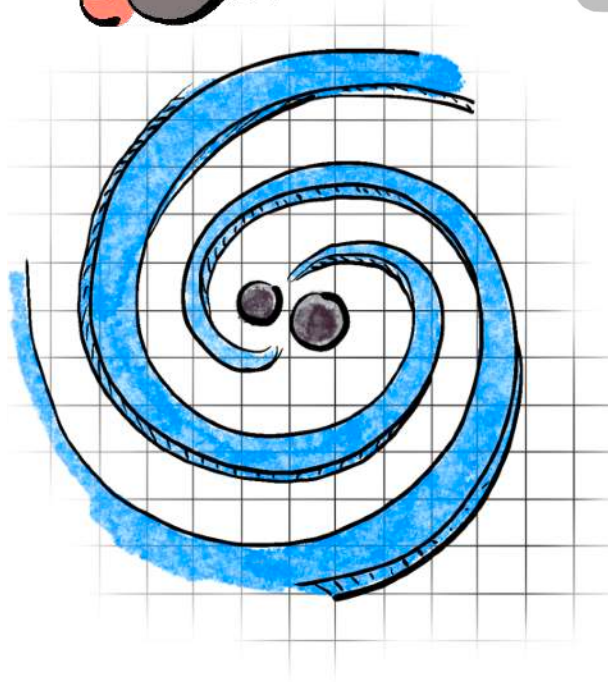




# En búsqueda de “nueva” física (elusiva)



Colisionadores  
Experimentos de sabor



# En búsqueda de “nueva” física (elusiva)

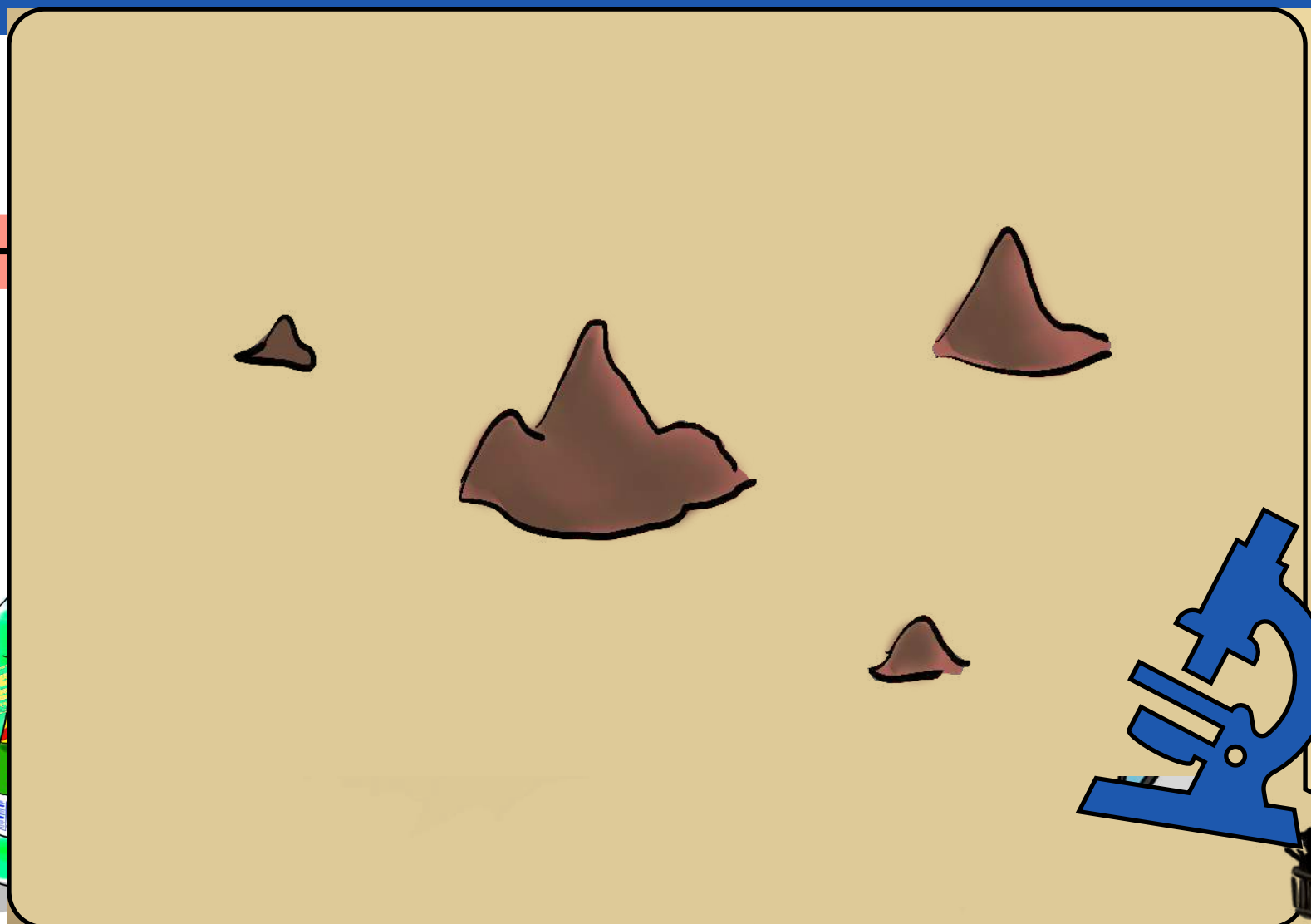
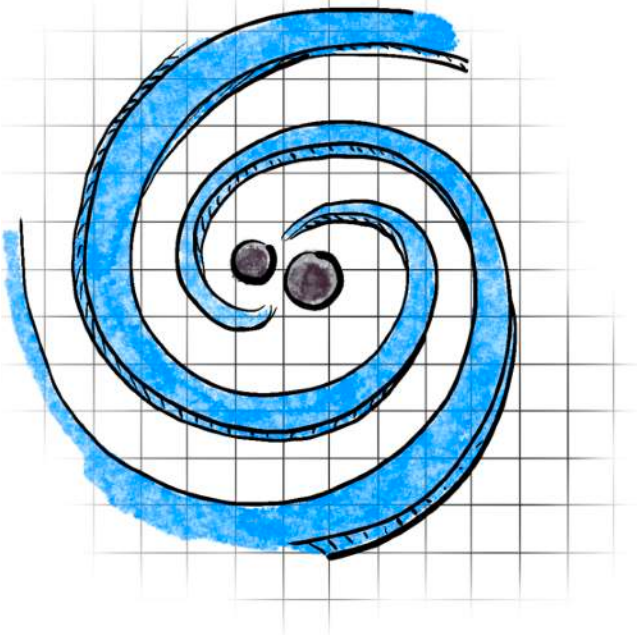
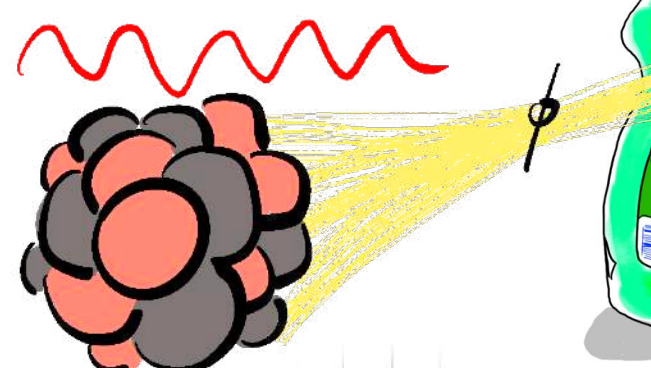
$10^{-22} \text{ eV}$



$[0 M_\odot]$



$$\phi = A \cos[m_\phi t]$$



$10^{-22}\text{eV}$ 

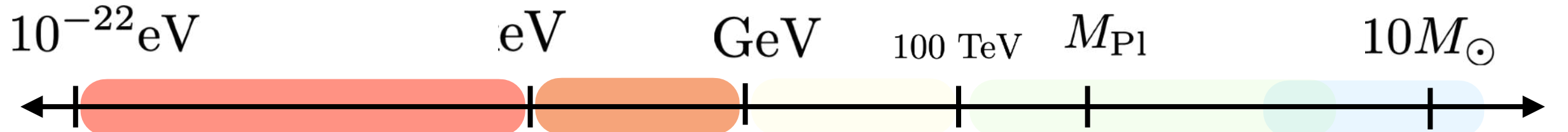
eV

GeV

100 TeV

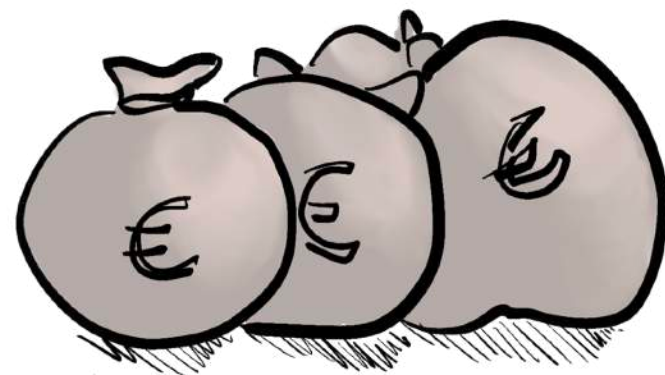
 $M_{\text{Pl}}$  $10M_{\odot}$ 

*¡Hazte con todos!*

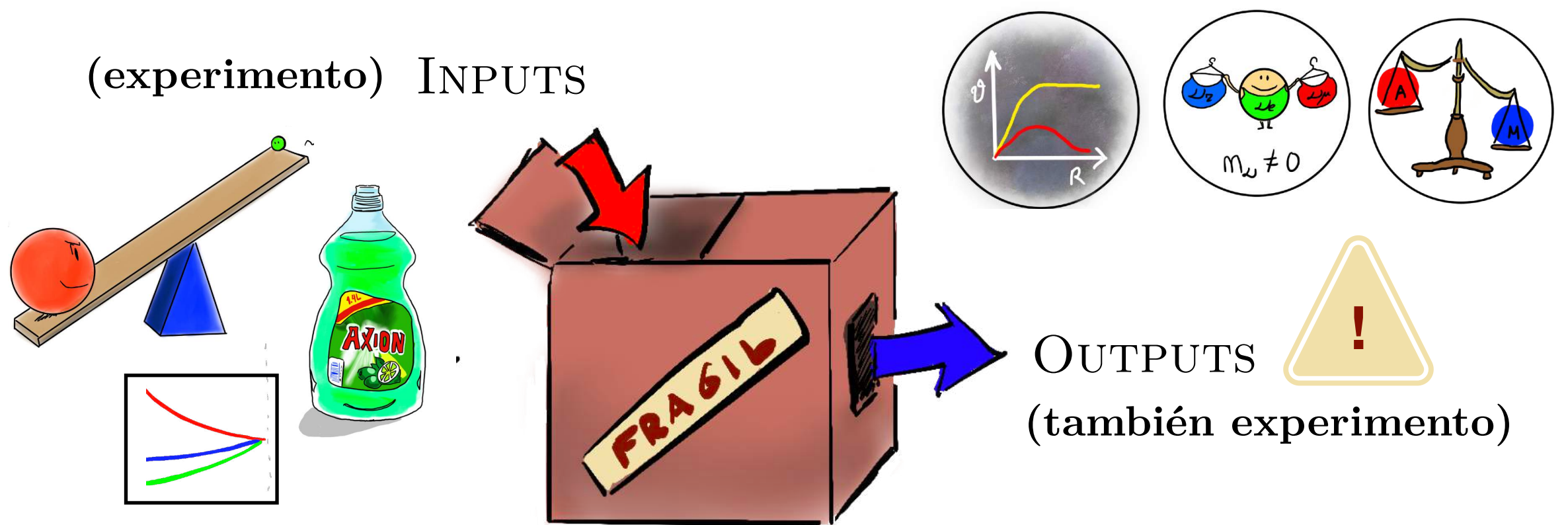


*¡Hazte con todos!*

(los que buenamente puedas)



# El Modelo Estándar (recap)



(teoricos) “BONITA”, “SIMPLE”... ≡ POTENTE

$$\frac{\text{INPUTS}}{\text{OUTPUTS}} \ll 1$$

